

Received 13 November 2023

Accepted 13 January 2024

Edited by M. Weil, Vienna University of Technology, Austria

**Keywords:** alkali aluminoboracite; self-flux method; weak structure ordering; isotopy; crystal structure.**CCDC references:** 2325537; 2325536; 2325535; 2325534**Supporting information:** this article has supporting information at journals.iucr.org/e

# Crystal structures of the alkali aluminoboracites $A_4B_4Al_3O_{12}Cl$ ( $A = Li, Na$ )

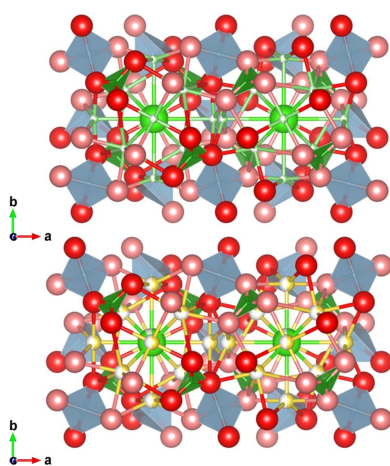
**Sho Yoshino, Hidechika Arima, Masanao Ishijima and Koichi Kajihara\***

Department of Applied Chemistry for Environment, Graduate School of Urban Environmental Sciences, Tokyo Metropolitan University, 1-1 Minami-Osawa, Hachioji, Tokyo 192-0397, Japan. \*Correspondence e-mail: kkaji@tmu.ac.jp

Single crystals of alkali aluminoboracites,  $A_4B_4Al_3O_{12}Cl$  ( $A = Li, Na$ ), were grown using the self-flux method, and their isotopic cubic crystal structures were determined by single-crystal X-ray diffraction.  $Na_4B_4Al_3O_{12}Cl$  is the first reported sodium boracite, and its lattice parameter [13.5904 (1) Å] is the largest among the boracites consisting of a cation–oxygen framework reported so far. For both crystals, structure models refined in the cubic space group  $F\bar{4}3c$ , which assume that all cubic octant subcells in the unit cell are equivalent, converged with  $R1$  factors of  $\sim 0.03$ . However, the presence of weak  $hh\bar{l}$  reflections with odd  $h$  and  $l$  values indicates that refinements in the space group  $F23$ , which presume a checkerboard-like ordering of two types of subcells with slightly different atomic positions, are more appropriate.

## 1. Chemical context

Boracite is originally known as a mineral with the formula  $Mg_3B_7O_{13}Cl$ . The name boracite also refers to borate compounds with the general formula  $M_3B_7O_{13}X$ , consisting of a negatively charged B–O framework, extraframework divalent cations  $M$ , such as  $Mg^{2+}$ ,  $Cr^{2+}$ ,  $Mn^{2+}$ ,  $Fe^{2+}$ ,  $Co^{2+}$ ,  $Ni^{2+}$ ,  $Cu^{2+}$ ,  $Zn^{2+}$  and  $Cd^{2+}$ , and extraframework anions  $X$ , such as  $Cl^-$ ,  $Br^-$ ,  $I^-$  and  $S^{2-}$  (Schmid, 1965; Nelmes, 1974). The extraframework cations can also be an alkali ion, but only lithium variants  $Li_{4-x}B_7O_{12+x/2}X$ ,  $Li_4B_{7-3x}Al_{3x}O_{12}X$  and  $Li_4B_{7-3x}Ga_{3x}O_{12}Cl$  ( $X = Cl, Br$ ;  $x = 0-1$ ) have been reported to date (Levasseur *et al.*, 1971; Réau *et al.*, 1976; Jeitschko *et al.*, 1977; Calès *et al.*, 1977; Sorokin, 2015; Tezuka *et al.*, 2017; Kajihara *et al.*, 2017; Katsumata *et al.*, 2022). The latter two compounds (Kajihara *et al.*, 2017; Katsumata *et al.*, 2022) are the first examples of boracites containing framework cations other than  $B^{3+}$  ions. The lithium boracites are lithium-ion conducting, and their dc  $Li^+$  ion conductivity can be increased to  $\sim 10^{-5}$  S cm<sup>-1</sup> at room temperature in glass-ceramics consisting mainly of  $Li_4B_4M_3O_{12}Cl$  ( $M = Al, Ga$ ; Kajihara *et al.*, 2017). In addition,  $Li_4B_4Al_3O_{12}Cl$  is stable in contact with Li metal and is water-resistant; solid-state cells consisting of an  $Li_4B_4Al_3O_{12}Cl$ -based glass-ceramic solid electrolyte, an  $LiCoO_2$ -based composite cathode containing an ionic liquid and an Li–Au alloy anode worked successfully (Saito *et al.*, 2021). More recently, a thioboracite,  $Li_6B_7S_{13}I$ , a sulfide variant of lithium boracite with room-temperature  $Li^+$  ion conductivity of  $\sim 5 \times 10^{-4}$  S cm<sup>-1</sup> has been reported (Kaup *et al.*, 2021). However, single crystals of  $Li_4B_4Al_3O_{12}Cl$  have not yet been grown, and the preliminary crystal structure analysis of  $Li_4B_4Al_3O_{12}Cl$  (Kajihara *et al.*, 2017; Katsumata *et al.*, 2022) was incomplete. In addition, boracites containing alkali ions other than  $Li^+$  have not been reported. Furthermore, a rhombohedral distortion of the unit cell of single-crystalline



OPEN ACCESS

Published under a CC BY 4.0 licence

**Table 1**Summary of the observed  $hhl$  reflections in  $\text{Li}_4\text{B}_4\text{Al}_3\text{O}_{12}\text{Cl}$  and  $\text{Na}_4\text{B}_4\text{Al}_3\text{O}_{12}\text{Cl}$ .

	$\text{Li}_4\text{B}_4\text{Al}_3\text{O}_{12}\text{Cl}$		$\text{Na}_4\text{B}_4\text{Al}_3\text{O}_{12}\text{Cl}$	
	$\langle I/\sigma(I) \rangle$	Number of reflections	$\langle I/\sigma(I) \rangle$	Number of reflections
No conditions	14.35	325	12.14	340
$h$ even	30.24	153	24.96	165
$h$ odd	0.21	172	0.04	175
$l$ even	30.24	153	24.96	165
$l$ odd	0.21	172	0.04	175
$h + l$ even	14.35	325	12.14	340
$h + l$ odd	0.00	0	0.00	0

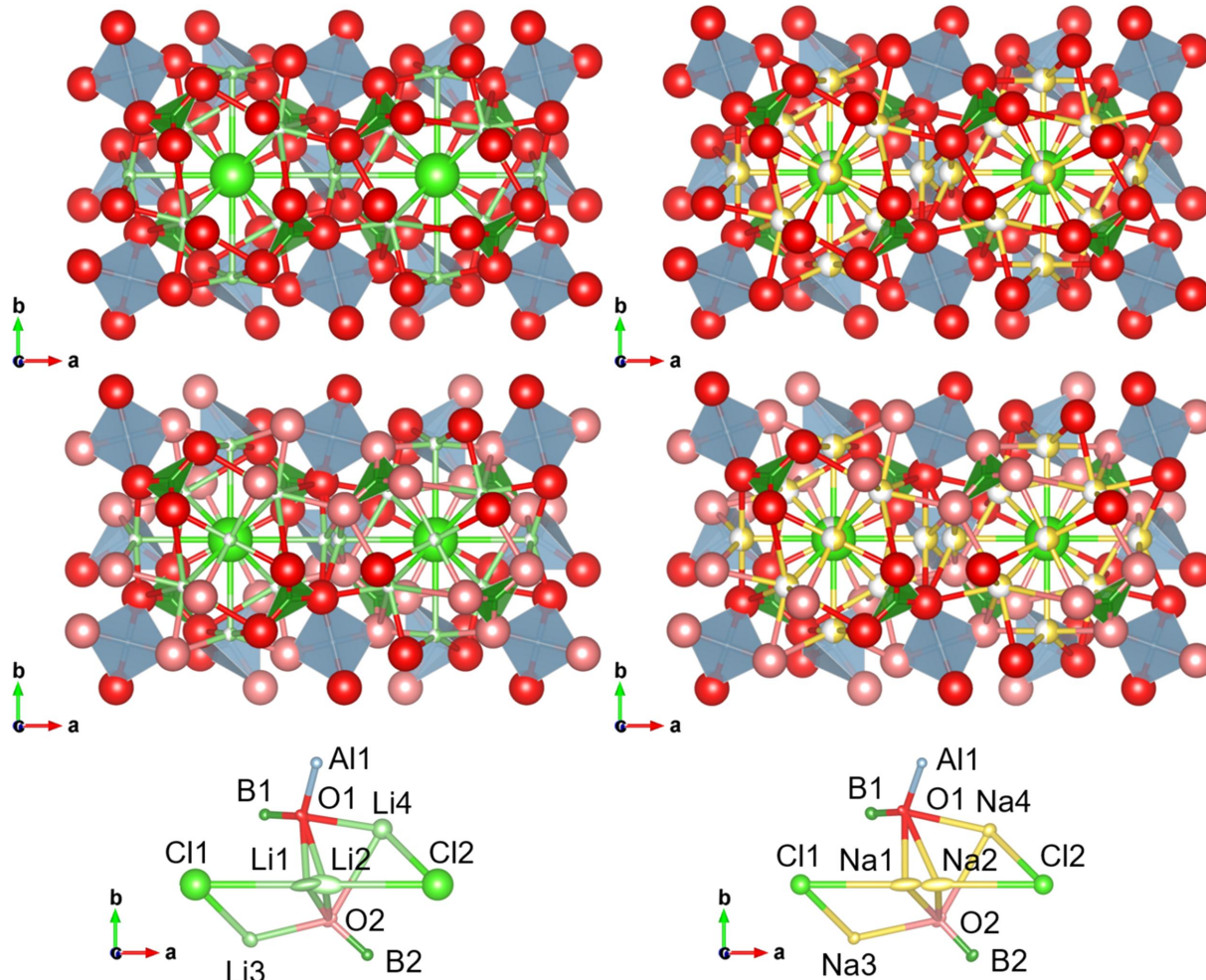
$\text{Li}_4\text{B}_7\text{O}_{12}\text{Cl}$  was experimentally observed at room temperature (Jeitschko *et al.*, 1977) and was recently theoretically confirmed (Li & Holzwarth, 2022), raising the question whether similar unit-cell distortions occur in other alkali boracites.

In the present study, we report the growth of single crystals of  $A_4\text{B}_4\text{Al}_3\text{O}_{12}\text{Cl}$  ( $A = \text{Li}, \text{Na}$ ) using the self-flux method and

their structural characterization by single-crystal X-ray diffraction (XRD).

## 2. Structural commentary

The crystallites of  $\text{Li}_4\text{B}_4\text{Al}_3\text{O}_{12}\text{Cl}$  exhibit complete extinction under cross-polarized light, supporting cubic symmetry. Hence, the unit cell of  $\text{Li}_4\text{B}_4\text{Al}_3\text{O}_{12}\text{Cl}$  is not distorted. At first,

**Figure 1**

Schematic illustrations of two neighbouring cubic octant subcells in the unit cell of  $\text{Li}_4\text{B}_4\text{Al}_3\text{O}_{12}\text{Cl}$  in the space groups  $F\bar{4}3c$  (top left) and  $F23$  (middle left), those of  $\text{Na}_4\text{B}_4\text{Al}_3\text{O}_{12}\text{Cl}$  in the space groups  $F\bar{4}3c$  (top right) and  $F23$  (middle right), and asymmetric units with displacement ellipsoids at the 50% probability level of  $\text{Li}_4\text{B}_4\text{Al}_3\text{O}_{12}\text{Cl}$  (bottom left) and  $\text{Na}_4\text{B}_4\text{Al}_3\text{O}_{12}\text{Cl}$  (bottom right) in the space group  $F23$ . Red, large green, small green and yellow spheres denote O, Cl, Li and Na atoms, respectively. Green triangles and gray tetrahedra denote  $\text{BO}_3$  and  $\text{AlO}_4$  units, respectively. The forefront Al atoms located at  $z = 0.5$  are not shown for clarity. In the middle and bottom figures, red and pale-red spheres denote O1 and O2 atoms, respectively.

**Table 2**Selected bond lengths and angles ( $\text{\AA}$ ,  $^\circ$ ) in  $A_4\text{B}_4\text{Al}_3\text{O}_{12}\text{Cl}$  crystal structures.

	Space group $F\bar{4}3c$		Space group $F23$		
$A1-\text{O}1$	$A = \text{Li}$ 2.0828 (17)	$A = \text{Na}$ 2.2588 (16)	$A1-\text{O}1^{\text{ii}}$ $A1-\text{O}2^{\text{iii}}$ $A2-\text{O}2^{\text{iv}}$ $A2-\text{O}1^{\text{v}}$	$A = \text{Li}$ 2.053 (3)	$A = \text{Na}$ 2.2585 (18)
$A1-\text{O}1^{\text{i}}$	2.0828 (17)	2.446 (2)	$A1-\text{O}2^{\text{vi}}$ $A2-\text{Cl}1$ $A2-\text{Cl}2$ $A3-\text{O}2^{\text{vii}}$ $A3-\text{O}1^{\text{viii}}$ $A4-\text{O}1^{\text{x}}$ $A4-\text{O}2^{\text{ix}}$	2.143 (16) 2.056 (4) 2.132 (16) 2.98 (6) 3.03 (6) 2.23 (3) 2.826 (8)	2.452 (3) 2.2602 (18) 2.442 (3) 2.925 (6) 2.948 (6) 2.488 (6) 2.912 (2) 2.480 (6) 2.914 (2)
$A1-\text{Cl}1$	3.2460 (1)	2.936 (4)	$A3-\text{Cl}1$ $A4-\text{Cl}2$	2.55 (6) 2.55 (5)	2.599 (10) 2.612 (10)
$A2-\text{O}1^{\text{v}}$	2.22 (3)	2.484 (5)	$B1-\text{O}1$ $B2-\text{O}2^{\text{x}}$	1.3693 (17) 1.3702 (17)	1.3684 (16) 1.3684 (16)
$A2-\text{O}1^{\text{vii}}$	2.828 (8)	2.913 (2)	$Al1-\text{O}1^{\text{xi}}$ $Al1-\text{O}2^{\text{xii}}$	1.754 (2) 1.754 (2)	1.7495 (18) 1.7522 (18)
$A2-\text{Cl}1$	2.57 (5)	2.605 (9)			
$B1-\text{O}1$	1.3700 (16)	1.3693 (15)			
$Al1-\text{O}1^{\text{xi}}$	1.7533 (17)	1.7506 (16)			
$B1-\text{O}1-\text{Al}1^{\text{xiii}}$	118.97 (12)	128.59 (12)	$B1-\text{O}1-\text{Al}1^{\text{xiii}}$ $B2^{\text{xiv}}-\text{O}2-\text{Al}1^{\text{vii}}$	119.05 (13) 118.94 (13)	128.62 (14) 128.66 (14)

Symmetry code(s): (i)  $-x, -z, z + \frac{1}{2}, y$ ; (ii)  $-x, y, -z + 1$ ; (iii)  $x + \frac{1}{2}, -y + 1, -z + \frac{3}{2}$ ; (iv)  $-x + \frac{1}{2}, -y + 1, z + \frac{1}{2}$ ; (v)  $-y + \frac{1}{2}, x + \frac{1}{2}, -z + \frac{1}{2}$ ; (vi)  $-z + 1, x + \frac{1}{2}, -y + \frac{1}{2}$ ; (vii)  $z, -x + \frac{1}{2}, -y + \frac{1}{2}$ ; (viii)  $x + 1, -y + 1, -z + 1$ ; (ix)  $-x + 1, y + \frac{1}{2}, -z + \frac{3}{2}$ ; (x)  $z, x + \frac{1}{2}, y + \frac{1}{2}$ ; (xi)  $z, x, y$ ; (xii)  $-y + \frac{1}{2}, z - \frac{1}{2}, -x$ ; (xiii)  $y, z, x$ ; (xiv)  $x - \frac{1}{2}, y - \frac{1}{2}, z$ .

the crystal structure was refined in the noncentrosymmetric cubic space group  $F\bar{4}3c$  following the model from the Rietveld refinement of powder X-ray diffraction data (Kajihara *et al.*, 2017; Katsumata *et al.*, 2022). The occupancy ( $g$ ) of Cl1 converged to the upper bound [ $g(\text{Cl}1) = 1$ ] and was fixed at this value. The reliability factor  $R1$  converged to 0.031, and the refinement results agreed well with those derived from the powder samples (Kajihara *et al.*, 2017; Katsumata *et al.*, 2022). The unit cell of  $\text{Li}_4\text{B}_4\text{Al}_3\text{O}_{12}\text{Cl}$  can be divided into eight equivalent cubic subcells, each containing one Cl1 at the cube centre. The Cl1 site is surrounded by six sites with multiplicity 24 (Wyckoff letter *c*) and four sites with multiplicity 32 (Wyckoff letter *e*) containing four Li atoms in total, and the resulting  $\text{ClLi}_4$  moiety is embedded in a negatively charged framework consisting of alternating corner-shared bridges of planar  $\text{BO}_3$  triangles and  $\text{AlO}_4$  tetrahedra. The occupancy of Li1 is close to 1, whereas that of Li2 is  $\sim \frac{1}{4}$ . The lattice parameter of  $\text{Li}_4\text{B}_4\text{Al}_3\text{O}_{12}\text{Cl}$  [ $a = 12.9839 (1) \text{ \AA}$ ] is similar to that of the polycrystalline sample obtained by solid-state synthesis [ $a = 12.9687 (1) \text{ \AA}$ ; Katsumata *et al.*, 2022] but larger than that crystallized from glass-ceramics [ $a = 12.9149 (5) \text{ \AA}$ ; Kajihara *et al.*, 2017], probably because of an incomplete uptake of Al in crystals obtained from glass-ceramics.

Similar to  $\text{Li}_4\text{B}_4\text{Al}_3\text{O}_{12}\text{Cl}$ , the crystallites of  $\text{Na}_4\text{B}_4\text{Al}_3\text{O}_{12}\text{Cl}$  exhibit complete cross-polarized extinction. Refinement in the space group  $F\bar{4}3c$  resulted in a reliability factor  $R1$  of 0.022, and the results indicate that  $\text{Na}_4\text{B}_4\text{Al}_3\text{O}_{12}\text{Cl}$  is isostructural with  $\text{Li}_4\text{B}_4\text{Al}_3\text{O}_{12}\text{Cl}$ , except that Na1 is located at the 48 *g* site and displaced from the 24 *c* site at the midpoint between neighbouring Cl1 atoms. The lattice parameter of  $\text{Na}_4\text{B}_4\text{Al}_3\text{O}_{12}\text{Cl}$  [ $a = 13.5904 (1) \text{ \AA}$ ] is the largest among known cubic boracites, apart from the sulfide variant  $\text{Li}_6\text{B}_7\text{S}_{13}\text{I}$  [ $a = 15.245 (2) \text{ \AA}$ ; Kaup *et al.*, 2021]. The occupancy of Cl1 is less than 1 ( $\sim 0.92$ ), possibly because of its higher growth temperature compared to that of  $\text{Li}_4\text{B}_4\text{Al}_3\text{O}_{12}\text{Cl}$ . The equivalent

isotropic displacement parameters ( $U_{\text{eq}}$ ) of extraframework species [Cl1, 0.0350 (9)  $\text{\AA}^2$ ; Na1, 0.0422 (14)  $\text{\AA}^2$ ; Na2, 0.017 (2)  $\text{\AA}^2$ ] of  $\text{Na}_4\text{B}_4\text{Al}_3\text{O}_{12}\text{Cl}$  are notably smaller than those of  $\text{Li}_4\text{B}_4\text{Al}_3\text{O}_{12}\text{Cl}$  [Cl1, 0.0787 (15)  $\text{\AA}^2$ ; Li1, 0.066 (6)  $\text{\AA}^2$ ; Li2, 0.028 (11)  $\text{\AA}^2$ ], despite that the species in the framework (B1, Al1 and O1) are similar or even larger in  $\text{Na}_4\text{B}_4\text{Al}_3\text{O}_{12}\text{Cl}$ . These observations suggest that replacing Li with Na increases the packing density at the extraframework sites and suppresses the thermal motion of the atoms located therein.

The convergence of the structure refinements of  $\text{Li}_4\text{B}_4\text{Al}_3\text{O}_{12}\text{Cl}$  and  $\text{Na}_4\text{B}_4\text{Al}_3\text{O}_{12}\text{Cl}$  in the space group  $F\bar{4}3c$  was satisfactory ( $R1 \simeq 0.03$ ). However, these crystals both exhibit weak  $hh\ell$  reflections with odd  $h$  and  $l$ , which violate the extinction conditions in space group  $F\bar{4}3c$ , as listed in Table 1. The noncentrosymmetric cubic space groups compatible with the observed reflection condition ( $hh\ell$ :  $h + l = 2n$ ) are  $F23$ ,  $F432$  and  $F\bar{4}3m$ . Among them, only the structure analyses in the space group  $F23$  were successful. The conversion of the space group from  $F\bar{4}3c$  to  $F23$  is accompanied by the splitting of atoms except for Al1. This conversion also splits Li1 at the 24 *c* site of  $F\bar{4}3c$  into Li1 and Li2 at the 24 *g* site of  $F23$ . The occupancies of A1 and A2 ( $A = \text{Li}, \text{Na}$ ) converged to the upper bound [ $g(A1) = g(A2) = 0.5$ ] both in  $\text{Li}_4\text{B}_4\text{Al}_3\text{O}_{12}\text{Cl}$  and  $\text{Na}_4\text{B}_4\text{Al}_3\text{O}_{12}\text{Cl}$ , and were fixed at this value. The slightly larger  $R1$  factors in  $F23$  compared to  $F\bar{4}3c$  are due to an increased number of measured reflections partially with low intensities.

Fig. 1 summarizes the schematic illustrations of two adjacent cubic octant subcells of the unit cells of  $\text{Li}_4\text{B}_4\text{Al}_3\text{O}_{12}\text{Cl}$  and  $\text{Na}_4\text{B}_4\text{Al}_3\text{O}_{12}\text{Cl}$ , along with their asymmetric units derived from the analyses in the space group  $F23$ . In the space group  $F\bar{4}3c$ , the eight subcells in a unit cell are equivalent. In contrast, in the space group  $F23$ , they are classified into two types of subcells stacked alternately in three dimensions. Nevertheless, the atomic displacements associated with the

**Table 3**  
Experimental details.

	$\text{Li}_4\text{B}_4\text{Al}_3\text{O}_{12}\text{Cl}$ in $F\bar{4}3c$	$\text{Li}_4\text{B}_4\text{Al}_3\text{O}_{12}\text{Cl}$ in $F23$	$\text{Na}_{3.92}\text{B}_4\text{Al}_3\text{O}_{12}\text{Cl}_{0.92}$ in $F\bar{4}3c$	$\text{Na}_{3.92}\text{B}_4\text{Al}_3\text{O}_{12}\text{Cl}_{0.92}$ in $F23$
Crystal data				
Chemical formula	$\text{Li}_4\text{B}_4\text{Al}_3\text{O}_{12}\text{Cl}$	$\text{Li}_4\text{B}_4\text{Al}_3\text{O}_{12}\text{Cl}$	$\text{Na}_{3.92}\text{B}_4\text{Al}_3\text{O}_{12}\text{Cl}_{0.92}$	$\text{Na}_{3.92}\text{B}_4\text{Al}_3\text{O}_{12}\text{Cl}_{0.92}$
$M_r$	379.39	379.39	438.91	438.91
Crystal system, space group	Cubic, $F\bar{4}3c$	Cubic, $F23$	Cubic, $F\bar{4}3c$	Cubic, $F23$
Temperature (K)	297	297	294	294
$a$ (Å)	12.9839 (1)	12.9839 (1)	13.5904 (1)	13.5904 (1)
$V$ (Å <sup>3</sup> )	2188.85 (5)	2188.85 (5)	2510.13 (6)	2510.13 (6)
$Z$	8	8	8	8
Radiation type	$\text{Cu K}\alpha$	$\text{Cu K}\alpha$	$\text{Cu K}\alpha$	$\text{Cu K}\alpha$
$\mu$ (mm <sup>-1</sup> )	6.12	6.12	6.78	6.78
Crystal size (mm)	0.11 × 0.10 × 0.06	0.11 × 0.10 × 0.06	0.08 × 0.06 × 0.04	0.08 × 0.06 × 0.04
Data collection				
Diffractometer	Bruker D8 goniometer	Bruker D8 goniometer	Bruker D8 goniometer	Bruker D8 goniometer
Absorption correction	Multi-scan ( <i>SADABS</i> ; Krause <i>et al.</i> , 2015)	Multi-scan ( <i>SADABS</i> ; Krause <i>et al.</i> , 2015)	Multi-scan ( <i>SADABS</i> ; Krause <i>et al.</i> , 2015)	Multi-scan ( <i>SADABS</i> ; Krause <i>et al.</i> , 2015)
$T_{\min}$ , $T_{\max}$	0.62, 0.75	0.62, 0.75	0.66, 0.75	0.66, 0.75
No. of measured, independent and observed [ $I > 2\sigma(I)$ ] reflections	3843, 193, 191	4728, 389, 317	4504, 218, 216	5514, 437, 355
$R_{\text{int}}$	0.023	0.024	0.027	0.028
(sin $\theta/\lambda$ ) <sub>max</sub> (Å <sup>-1</sup> )	0.621	0.621	0.624	0.624
Refinement				
$R[F^2 > 2\sigma(F^2)]$ , $wR(F^2)$ , $S$	0.031, 0.075, 1.16	0.032, 0.081, 1.17	0.022, 0.055, 1.20	0.024, 0.066, 1.12
No. of reflections	193	389	218	437
No. of parameters	23	50	27	52
No. of restraints	1	1	1	1
$\Delta\rho_{\max}$ , $\Delta\rho_{\min}$ (e Å <sup>-3</sup> )	0.20, -0.63	0.20, -0.91	0.15, -0.45	0.17, -0.58
Absolute structure	Flack $x$ determined using 80 quotients $[(I^+) - (I^-)][(I^+) + (I^-)]$ (Parsons <i>et al.</i> , 2013)	Flack $x$ determined using 132 quotients $[(I^+) - (I^-)][(I^+) + (I^-)]$ (Parsons <i>et al.</i> , 2013)	Flack $x$ determined using 89 quotients $[(I^+) - (I^-)][(I^+) + (I^-)]$ (Parsons <i>et al.</i> , 2013)	Flack $x$ determined using 142 quotients $[(I^+) - (I^-)][(I^+) + (I^-)]$ (Parsons <i>et al.</i> , 2013)
Absolute structure parameter	-0.03 (3)	-0.03 (2)	0.01 (3)	0.01 (2)

Computer programs: *BIS* (Bruker, 2021), *SAINT* (Bruker, 2019), *SHELXTL* (Sheldrick, 2015a), *SHELXL* (Sheldrick, 2015b), *ShelXle* (Hübschle *et al.*, 2011), *VESTA* (Momma & Izumi, 2011) and *publCIF* (Westrip, 2010).

conversion of the space group from  $F\bar{4}3c$  to  $F23$  are small, and the structures solved in these two space groups are very similar, apart from the splitting of Li1 in space group  $F\bar{4}3c$  into Li1 and Li2 in space group  $F23$ . Such subcell ordering is also observed in the lithium-rich boracite  $\text{Li}_5\text{B}_7\text{O}_{12.5}\text{Cl}$  (space group  $F23$ ) (Vlasse *et al.*, 1981; Tezuka *et al.*, 2017; Li & Holzwarth, 2022); in  $\text{Li}_5\text{B}_7\text{O}_{12.5}\text{Cl}$ , the chemical compositions of adjacent subcells differ notably as a result of the incorporation of excess Li and O and the resulting partial conversion of  $\text{BO}_3$  triangles to  $\text{BO}_4$  tetrahedra, as well as the ordering of Li. In contrast, in the title compounds  $\text{Li}_4\text{B}_4\text{Al}_3\text{O}_{12}\text{Cl}$  and  $\text{Na}_4\text{B}_4\text{Al}_3\text{O}_{12}\text{Cl}$ , such a distinct structural ordering associated with a compositional change is not observed, as the conversion of  $\text{BO}_3$  triangles to  $\text{BO}_4$  tetrahedra is unlikely even under alkali-rich conditions.

Table 2 lists selected atomic distances and angles. The B—O and Al—O distances are similar between  $\text{Li}_4\text{B}_4\text{Al}_3\text{O}_{12}\text{Cl}$  and  $\text{Na}_4\text{B}_4\text{Al}_3\text{O}_{12}\text{Cl}$ . In contrast, the B—O—Al angles in  $\text{Na}_4\text{B}_4\text{Al}_3\text{O}_{12}\text{Cl}$  are larger than those in  $\text{Li}_4\text{B}_4\text{Al}_3\text{O}_{12}\text{Cl}$  by  $\sim 10^\circ$ . This widening in the B—O—Al angles is responsible for the expansion of the unit cell in  $\text{Na}_4\text{B}_4\text{Al}_3\text{O}_{12}\text{Cl}$ . The increase in  $A$ —O ( $A = \text{Li}, \text{Na}$ ) distances from  $\text{Li}_4\text{B}_4\text{Al}_3\text{O}_{12}\text{Cl}$  and  $\text{Na}_4\text{B}_4\text{Al}_3\text{O}_{12}\text{Cl}$  amounts to  $\sim 0.2$ – $0.3$  Å, and is consistent with the difference in the ionic radii between Li and Na with the same coordination numbers (1.13–0.73 Å = 0.40 Å for fourfold

coordination and 1.16–0.90 Å = 0.26 Å for sixfold coordination; Shannon, 1976). In contrast, the increase in  $A$ —Cl distances is notably smaller ( $\sim 0.05$  Å) or even negative, indicating an increase in the packing density of extraframework  $A$  and Cl. This observation is consistent with the smaller atomic displacement parameters of extraframework  $A$  and Cl in  $\text{Na}_4\text{B}_4\text{Al}_3\text{O}_{12}\text{Cl}$  compared to  $\text{Li}_4\text{B}_4\text{Al}_3\text{O}_{12}\text{Cl}$  (see above).

### 3. Synthesis and crystallization

$\text{Li}_2\text{CO}_3$  (Fujifilm Wako Chemicals, 99%),  $\text{Na}_2\text{CO}_3$  (Fujifilm Wako Chemicals, 99%),  $\text{B}_2\text{O}_3$  (Kojundo Chemical Laboratory, 99.9%),  $\gamma\text{-Al}_2\text{O}_3$  (Kojundo Chemical Laboratory, 99.99%),  $\text{LiCl}$  (Kanto Chemical, 99.9%) and  $\text{NaCl}$  (Kojundo Chemical Laboratory, 99.9%) were mixed in an  $\text{A}_2\text{CO}_3\text{:B}_2\text{O}_3\text{:}\gamma\text{-Al}_2\text{O}_3$ :  $\text{ACl}$  ( $A = \text{Li}, \text{Na}$ ) molar ratio of 3:4:3:14, with a  $\text{B}_2\text{O}_3$  content of 10 mmol.  $\text{LiCl}$  (melting point: 878 K) and  $\text{NaCl}$  (melting point: 1074 K), acting as self-fluxes, were added in excess. The mixture of sample 1 ( $A = \text{Li}$ ) or 2 ( $A = \text{Na}$ ) was placed in a platinum crucible covered by an alumina crucible, heated to 1073 K for 3 h (sample 1) or 1123 K for 4 h (sample 2), maintained for 5 h, cooled at a rate of 3 K h<sup>-1</sup> for 50 h, and then cooled to room temperature in the furnace by turning off the power.

The resulting mixtures were washed with water to leach out water-soluble components. The residues were characterized by powder X-ray diffraction (SmartLab diffractometer, Rigaku) using Cu  $K\alpha$  radiation. The main impurity phases in the residues of samples 1 and 2 were Li<sub>2</sub>BAI<sub>4</sub>O<sub>4</sub> (space group  $P2_1/c$ ) and LiAl<sub>5</sub>O<sub>8</sub> (space group  $P4_132$ ), and Na<sub>2</sub>Al<sub>2</sub>B<sub>4</sub>O<sub>7</sub> (space group  $P\bar{3}1c$ ), respectively. Single-crystal particles with cubic symmetry were selected using an optical microscope (BH2, Olympus), showing complete light extinction under crossed polarizers.

#### 4. Refinement

Crystal data, data collection and structure refinement details are summarized in Table 3. The crystal structures of Li<sub>4</sub>B<sub>4</sub>Al<sub>3</sub>O<sub>12</sub>Cl and Na<sub>4</sub>B<sub>4</sub>Al<sub>3</sub>O<sub>12</sub>Cl were solved both in the space groups  $F\bar{4}3c$  and  $F23$  using the same *hkl* file. In the refinements in the space group  $F23$ , all reflections were used. In the refinements in the space group  $F\bar{4}3c$ , reflections that violate the extinction conditions (885 in Li<sub>4</sub>B<sub>4</sub>Al<sub>3</sub>O<sub>12</sub>Cl and 1010 in Na<sub>4</sub>B<sub>4</sub>Al<sub>3</sub>O<sub>12</sub>Cl) were rejected by *SHELXL* (Sheldrick, 2015b), but few rejected reflections had intensities with  $I/\sigma(I) > 3$  (3 in Li<sub>4</sub>B<sub>4</sub>Al<sub>3</sub>O<sub>12</sub>Cl and 4 in Na<sub>4</sub>B<sub>4</sub>Al<sub>3</sub>O<sub>12</sub>Cl). To maintain charge neutrality, the occupancies, *g*, of *A* (*A* = Li, Na) and Cl were refined under the restraint that the total number of *A* in the unit cell was larger by 24 than that of Cl [*e.g.* 24*g*(Li1) + 32*g*(Li2) – 8*g*(Cl1) = 24 for Li<sub>4</sub>B<sub>4</sub>Al<sub>3</sub>O<sub>12</sub>Cl solved in  $F\bar{4}3c$ ], while permitting possible Cl deficiency. The summary of reflections was derived by the program *Space-Group* in *WinGX* (Farrugia, 2012).

#### Funding information

Funding for this research was provided by: Japan Society for the Promotion of Science (grant No. 19H00828).

#### References

- Bruker (2019). *SAINT*. Bruker AXS Inc., Madison, Wisconsin, USA.
- Bruker (2021). *BIS*. Bruker AXS Inc., Madison, Wisconsin, USA.
- Calès, B., Levasseur, A., Fouassier, C., Réau, J. M. & Hagenmuller, P. (1977). *Solid State Commun.* **24**, 323–325.
- Farrugia, L. J. (2012). *J. Appl. Cryst.* **45**, 849–854.
- Hübschle, C. B., Sheldrick, G. M. & Dittrich, B. (2011). *J. Appl. Cryst.* **44**, 1281–1284.
- Jeitschko, W., Bither, T. A. & Bierstedt, P. E. (1977). *Acta Cryst.* **B33**, 2767–2775.
- Kajihara, K., Tezuka, N., Shoji, M., Wakasugi, J., Munakata, H. & Kanamura, K. (2017). *Bull. Chem. Soc. Jpn.* **90**, 1279–1286.
- Katsumata, T., Aoki, Y., Fushimi, K., Otsuka, K., Ueda, K. & Inaguma, Y. (2022). *Solid State Ionics*, **380**, 115921.
- Kaup, K., Bishop, K., Assoud, A., Liu, J. & Nazar, L. F. (2021). *J. Am. Chem. Soc.* **143**, 6952–6961.
- Krause, L., Herbst-Irmer, R., Sheldrick, G. M. & Stalke, D. (2015). *J. Appl. Cryst.* **48**, 3–10.
- Levasseur, A., Fouassier, C. & Hagenmuller, P. (1971). *Mater. Res. Bull.* **6**, 15–22.
- Li, Y. & Holzwarth, N. A. W. (2022). *Phys. Rev. Mater.* **6**, 025401.
- Momma, K. & Izumi, F. (2011). *J. Appl. Cryst.* **44**, 1272–1276.
- Nelmes, R. J. (1974). *J. Phys. C.: Solid State Phys.* **7**, 3840–3854.
- Parsons, S., Flack, H. D. & Wagner, T. (2013). *Acta Cryst.* **B69**, 249–259.
- Réau, J.-M., Levasseur, A., Magniez, G. & Calès, B. (1976). *Mater. Res. Bull.* **11**, 1087–1090.
- Saito, M., Arima, H., Shoji, M., Kizuki, Y., Munakata, H., Kanamura, K. & Kajihara, K. (2021). *J. Electrochem. Soc.* **168**, 040524.
- Schmid, H. (1965). *J. Phys. Chem. Solids*, **26**, 973–976.
- Shannon, R. D. (1976). *Acta Cryst. A32*, 751–767.
- Sheldrick, G. M. (2015a). *Acta Cryst. A71*, 3–8.
- Sheldrick, G. M. (2015b). *Acta Cryst. C71*, 3–8.
- Sorokin, N. I. (2015). *Phys. Solid State*, **57**, 314–315.
- Tezuka, N., Okawa, Y., Kajihara, K. & Kanamura, K. (2017). *J. Ceram. Soc. Japan*, **125**, 348–352.
- Vlasie, M., Levasseur, A. & Hagenmuller, P. (1981). *Solid State Ionics*, **2**, 33–37.
- Westrip, S. P. (2010). *J. Appl. Cryst.* **43**, 920–925.

# supporting information

*Acta Cryst.* (2024). E80, 169-173 [https://doi.org/10.1107/S2056989024000501]

## Crystal structures of the alkali aluminoboracites $A_4B_4Al_3O_{12}Cl$ ( $A = Li, Na$ )

**Sho Yoshino, Hidechika Arima, Masanao Ishijima and Koichi Kajihara**

### Computing details

#### Lithium aluminoboracite (kjh0818yoshinoL14\_0m\_a)

##### Crystal data

$Li_4B_4Al_3O_{12}Cl$   
 $M_r = 379.39$   
Cubic,  $F\bar{4}3c$   
 $a = 12.9839$  (1) Å  
 $V = 2188.85$  (5) Å<sup>3</sup>  
 $Z = 8$   
 $F(000) = 1472$   
 $D_x = 2.303$  Mg m<sup>-3</sup>

Cu  $K\alpha$  radiation,  $\lambda = 1.54178$  Å  
Cell parameters from 2808 reflections  
 $\theta = 6.8\text{--}73.2^\circ$   
 $\mu = 6.12$  mm<sup>-1</sup>  
 $T = 297$  K  
Plate, colorless  
 $0.11 \times 0.10 \times 0.06$  mm

##### Data collection

Bruker D8 goniometer  
diffractometer  
Radiation source: sealed tube  
Detector resolution: 7.3910 pixels mm<sup>-1</sup>  
 $\omega$  scans  
Absorption correction: multi-scan  
(SADABS; Krause *et al.*, 2015)  
 $T_{\min} = 0.62$ ,  $T_{\max} = 0.75$

3843 measured reflections  
193 independent reflections  
191 reflections with  $I > 2\sigma(I)$   
 $R_{\text{int}} = 0.023$   
 $\theta_{\max} = 73.2^\circ$ ,  $\theta_{\min} = 6.8^\circ$   
 $h = -15 \rightarrow 12$   
 $k = -15 \rightarrow 16$   
 $l = -16 \rightarrow 15$

##### Refinement

Refinement on  $F^2$   
Least-squares matrix: full  
 $R[F^2 > 2\sigma(F^2)] = 0.031$   
 $wR(F^2) = 0.075$   
 $S = 1.16$   
193 reflections  
23 parameters  
1 restraint

$w = 1/[\sigma^2(F_o^2) + (0.0536P)^2 + 3.2978P]$   
where  $P = (F_o^2 + 2F_c^2)/3$   
 $(\Delta/\sigma)_{\max} < 0.001$   
 $\Delta\rho_{\max} = 0.20$  e Å<sup>-3</sup>  
 $\Delta\rho_{\min} = -0.63$  e Å<sup>-3</sup>  
Absolute structure: Flack  $x$  determined using 80  
quotients  $[(I^+)-(I^-)]/[(I^+)+(I^-)]$  (Parsons *et al.*,  
2013)  
Absolute structure parameter: -0.03 (3)

##### Special details

**Geometry.** All esds (except the esd in the dihedral angle between two l.s. planes) are estimated using the full covariance matrix. The cell esds are taken into account individually in the estimation of esds in distances, angles and torsion angles; correlations between esds in cell parameters are only used when they are defined by crystal symmetry. An approximate (isotropic) treatment of cell esds is used for estimating esds involving l.s. planes.

Fractional atomic coordinates and isotropic or equivalent isotropic displacement parameters ( $\text{\AA}^2$ )

	<i>x</i>	<i>y</i>	<i>z</i>	$U_{\text{iso}}^*/U_{\text{eq}}$	Occ. (<1)
Li1	0.000000	0.250000	0.250000	0.066 (6)	0.991 (13)
Li2	0.364 (2)	0.364 (2)	0.364 (2)	0.028 (11)	0.256 (10)
B1	0.1057 (3)	0.1057 (3)	0.1057 (3)	0.0114 (10)	
Al1	0.250000	0.000000	0.000000	0.0118 (6)	
O1	0.02786 (13)	0.11000 (13)	0.17680 (15)	0.0166 (6)	
Cl1	0.250000	0.250000	0.250000	0.0787 (15)	

Atomic displacement parameters ( $\text{\AA}^2$ )

	$U^{11}$	$U^{22}$	$U^{33}$	$U^{12}$	$U^{13}$	$U^{23}$
Li1	0.156 (18)	0.021 (4)	0.021 (4)	0.000	0.000	0.000
Li2	0.028 (11)	0.028 (11)	0.028 (11)	0.000 (9)	0.000 (9)	0.000 (9)
B1	0.0114 (10)	0.0114 (10)	0.0114 (10)	-0.0014 (14)	-0.0014 (14)	-0.0014 (14)
Al1	0.0115 (8)	0.0120 (6)	0.0120 (6)	0.000	0.000	0.000
O1	0.0185 (11)	0.0154 (10)	0.0158 (9)	0.0048 (7)	0.0067 (10)	0.0044 (9)
Cl1	0.0787 (15)	0.0787 (15)	0.0787 (15)	0.000	0.000	0.000

Geometric parameters ( $\text{\AA}$ ,  $^\circ$ )

Li1—O1	2.0828 (17)	Li2—O1 <sup>xiii</sup>	2.22 (3)
Li1—O1 <sup>i</sup>	2.0828 (17)	Li2—Cl1	2.57 (5)
Li1—O1 <sup>ii</sup>	2.0828 (17)	Li2—O1 <sup>ix</sup>	2.828 (8)
Li1—O1 <sup>iii</sup>	2.0828 (17)	Li2—O1 <sup>xiv</sup>	2.828 (8)
Li1—Li2 <sup>iv</sup>	2.740 (13)	Li2—O1 <sup>vi</sup>	2.828 (8)
Li1—Li2 <sup>v</sup>	2.740 (13)	Li2—Al1 <sup>xv</sup>	2.90 (2)
Li1—Li2 <sup>vi</sup>	2.740 (13)	Li2—Al1 <sup>xvi</sup>	2.90 (2)
Li1—Li2 <sup>vii</sup>	2.740 (13)	B1—O1 <sup>x</sup>	1.3700 (16)
Li1—Cl1	3.2460 (1)	B1—O1 <sup>xvii</sup>	1.3700 (16)
Li1—Al1 <sup>viii</sup>	3.2460 (1)	B1—O1	1.3700 (16)
Li1—Al1 <sup>ix</sup>	3.2460 (1)	Al1—O1 <sup>xviii</sup>	1.7533 (17)
Li1—Al1 <sup>x</sup>	3.2460 (1)	Al1—O1 <sup>xix</sup>	1.7533 (17)
Li2—O1 <sup>xi</sup>	2.22 (3)	Al1—O1 <sup>xvii</sup>	1.7533 (17)
Li2—O1 <sup>xii</sup>	2.22 (3)	Al1—O1 <sup>xx</sup>	1.7533 (17)
O1—Li1—O1 <sup>i</sup>	160.00 (10)	O1 <sup>ix</sup> —Li2—O1 <sup>vi</sup>	118.0 (5)
O1—Li1—O1 <sup>ii</sup>	91.729 (17)	O1 <sup>xiv</sup> —Li2—O1 <sup>vi</sup>	118.0 (5)
O1 <sup>i</sup> —Li1—O1 <sup>ii</sup>	91.729 (17)	O1 <sup>xi</sup> —Li2—Al1 <sup>xv</sup>	69.0 (7)
O1—Li1—O1 <sup>iii</sup>	91.729 (17)	O1 <sup>xii</sup> —Li2—Al1 <sup>xv</sup>	37.1 (3)
O1 <sup>i</sup> —Li1—O1 <sup>iii</sup>	91.729 (17)	O1 <sup>xiii</sup> —Li2—Al1 <sup>xv</sup>	123 (2)
O1 <sup>ii</sup> —Li1—O1 <sup>iii</sup>	160.00 (10)	Cl1—Li2—Al1 <sup>xv</sup>	114.0 (9)
O1—Li1—Li2 <sup>iv</sup>	52.6 (10)	Li1 <sup>xiv</sup> —Li2—Al1 <sup>xv</sup>	171 (2)
O1 <sup>i</sup> —Li1—Li2 <sup>iv</sup>	146.2 (9)	Li1 <sup>ix</sup> —Li2—Al1 <sup>xv</sup>	70.20 (14)
O1 <sup>ii</sup> —Li1—Li2 <sup>iv</sup>	70.29 (8)	Li1 <sup>vi</sup> —Li2—Al1 <sup>xv</sup>	70.20 (14)
O1 <sup>iii</sup> —Li1—Li2 <sup>iv</sup>	96.5 (4)	O1 <sup>ix</sup> —Li2—Al1 <sup>xv</sup>	106.4 (4)
O1—Li1—Li2 <sup>v</sup>	96.5 (4)	O1 <sup>xiv</sup> —Li2—Al1 <sup>xv</sup>	134.8 (7)

O1 <sup>i</sup> —Li1—Li2 <sup>v</sup>	70.29 (8)	O1 <sup>vi</sup> —Li2—Al1 <sup>xv</sup>	35.62 (12)
O1 <sup>ii</sup> —Li1—Li2 <sup>v</sup>	52.6 (10)	O1 <sup>xi</sup> —Li2—Al1 <sup>xvi</sup>	123 (2)
O1 <sup>iii</sup> —Li1—Li2 <sup>v</sup>	146.2 (9)	O1 <sup>xii</sup> —Li2—Al1 <sup>xvi</sup>	69.0 (7)
Li2 <sup>iv</sup> —Li1—Li2 <sup>v</sup>	114.4 (12)	O1 <sup>xiii</sup> —Li2—Al1 <sup>xvi</sup>	37.1 (3)
O1—Li1—Li2 <sup>vi</sup>	70.29 (8)	Cl1—Li2—Al1 <sup>xvi</sup>	114.0 (9)
O1 <sup>i</sup> —Li1—Li2 <sup>vi</sup>	96.5 (4)	Li1 <sup>xiv</sup> —Li2—Al1 <sup>xvi</sup>	70.20 (14)
O1 <sup>ii</sup> —Li1—Li2 <sup>vi</sup>	146.2 (9)	Li1 <sup>ix</sup> —Li2—Al1 <sup>xvi</sup>	70.20 (14)
O1 <sup>iii</sup> —Li1—Li2 <sup>vi</sup>	52.6 (10)	Li1 <sup>vi</sup> —Li2—Al1 <sup>xvi</sup>	171 (2)
Li2 <sup>iv</sup> —Li1—Li2 <sup>vi</sup>	114.4 (12)	O1 <sup>ix</sup> —Li2—Al1 <sup>xvi</sup>	35.62 (12)
Li2 <sup>v</sup> —Li1—Li2 <sup>vi</sup>	100 (2)	O1 <sup>xiv</sup> —Li2—Al1 <sup>xvi</sup>	106.4 (4)
O1—Li1—Li2 <sup>vii</sup>	146.2 (9)	O1 <sup>vi</sup> —Li2—Al1 <sup>xvi</sup>	134.8 (7)
O1 <sup>i</sup> —Li1—Li2 <sup>vii</sup>	52.6 (10)	Al1 <sup>xv</sup> —Li2—Al1 <sup>xvi</sup>	104.6 (11)
O1 <sup>ii</sup> —Li1—Li2 <sup>vii</sup>	96.5 (4)	O1 <sup>x</sup> —B1—O1 <sup>xvii</sup>	119.981 (12)
O1 <sup>iii</sup> —Li1—Li2 <sup>vii</sup>	70.29 (8)	O1 <sup>x</sup> —B1—O1	119.980 (12)
Li2 <sup>iv</sup> —Li1—Li2 <sup>vii</sup>	100 (2)	O1 <sup>xvii</sup> —B1—O1	119.982 (12)
Li2 <sup>v</sup> —Li1—Li2 <sup>vii</sup>	114.4 (12)	O1 <sup>xviii</sup> —Al1—O1 <sup>xix</sup>	107.09 (6)
Li2 <sup>vi</sup> —Li1—Li2 <sup>vii</sup>	114.4 (12)	O1 <sup>xviii</sup> —Al1—O1 <sup>xvii</sup>	114.35 (13)
O1—Li1—Cl1	80.00 (5)	O1 <sup>xix</sup> —Al1—O1 <sup>xvii</sup>	107.09 (6)
O1 <sup>i</sup> —Li1—Cl1	80.00 (5)	O1 <sup>xviii</sup> —Al1—O1 <sup>xx</sup>	107.09 (6)
O1 <sup>ii</sup> —Li1—Cl1	100.00 (5)	O1 <sup>xix</sup> —Al1—O1 <sup>xx</sup>	114.35 (13)
O1 <sup>iii</sup> —Li1—Cl1	100.00 (5)	O1 <sup>xvii</sup> —Al1—O1 <sup>xx</sup>	107.09 (6)
Li2 <sup>iv</sup> —Li1—Cl1	130.0 (11)	O1 <sup>xviii</sup> —Al1—Li2 <sup>i</sup>	153.8 (2)
Li2 <sup>v</sup> —Li1—Cl1	50.0 (11)	O1 <sup>xix</sup> —Al1—Li2 <sup>i</sup>	49.7 (3)
Li2 <sup>vi</sup> —Li1—Cl1	50.0 (11)	O1 <sup>xvii</sup> —Al1—Li2 <sup>i</sup>	69.9 (9)
Li2 <sup>vii</sup> —Li1—Cl1	130.0 (11)	O1 <sup>xx</sup> —Al1—Li2 <sup>i</sup>	95.3 (7)
O1—Li1—Al1 <sup>viii</sup>	150.78 (5)	O1 <sup>xviii</sup> —Al1—Li2 <sup>xxi</sup>	69.9 (9)
O1 <sup>i</sup> —Li1—Al1 <sup>viii</sup>	29.22 (5)	O1 <sup>xix</sup> —Al1—Li2 <sup>xxi</sup>	95.3 (7)
O1 <sup>ii</sup> —Li1—Al1 <sup>viii</sup>	62.85 (5)	O1 <sup>xvii</sup> —Al1—Li2 <sup>xxi</sup>	153.8 (2)
O1 <sup>iii</sup> —Li1—Al1 <sup>viii</sup>	117.15 (5)	O1 <sup>xx</sup> —Al1—Li2 <sup>xxi</sup>	49.7 (3)
Li2 <sup>iv</sup> —Li1—Al1 <sup>viii</sup>	122.8 (6)	Li2 <sup>i</sup> —Al1—Li2 <sup>xxi</sup>	118.5 (19)
Li2 <sup>v</sup> —Li1—Al1 <sup>viii</sup>	57.2 (6)	O1 <sup>xviii</sup> —Al1—Li2 <sup>xxii</sup>	95.3 (7)
Li2 <sup>vi</sup> —Li1—Al1 <sup>viii</sup>	122.8 (6)	O1 <sup>xix</sup> —Al1—Li2 <sup>xxii</sup>	153.8 (2)
Li2 <sup>vii</sup> —Li1—Al1 <sup>viii</sup>	57.2 (6)	O1 <sup>xvii</sup> —Al1—Li2 <sup>xxii</sup>	49.7 (3)
Cl1—Li1—Al1 <sup>viii</sup>	90.0	O1 <sup>xx</sup> —Al1—Li2 <sup>xxii</sup>	69.9 (9)
O1—Li1—Al1 <sup>ix</sup>	117.15 (5)	Li2 <sup>i</sup> —Al1—Li2 <sup>xxii</sup>	105.2 (9)
O1 <sup>i</sup> —Li1—Al1 <sup>ix</sup>	62.85 (5)	Li2 <sup>xxi</sup> —Al1—Li2 <sup>xxii</sup>	105.2 (9)
O1 <sup>ii</sup> —Li1—Al1 <sup>ix</sup>	150.78 (5)	O1 <sup>xviii</sup> —Al1—Li2 <sup>xxiii</sup>	49.7 (3)
O1 <sup>iii</sup> —Li1—Al1 <sup>ix</sup>	29.22 (5)	O1 <sup>xix</sup> —Al1—Li2 <sup>xxiii</sup>	69.9 (9)
Li2 <sup>iv</sup> —Li1—Al1 <sup>ix</sup>	122.8 (6)	O1 <sup>xvii</sup> —Al1—Li2 <sup>xxiii</sup>	95.3 (7)
Li2 <sup>v</sup> —Li1—Al1 <sup>ix</sup>	122.8 (6)	O1 <sup>xx</sup> —Al1—Li2 <sup>xxiii</sup>	153.8 (2)
Li2 <sup>vi</sup> —Li1—Al1 <sup>ix</sup>	57.2 (6)	Li2 <sup>i</sup> —Al1—Li2 <sup>xxiii</sup>	105.2 (9)
Li2 <sup>vii</sup> —Li1—Al1 <sup>ix</sup>	57.2 (6)	Li2 <sup>xxi</sup> —Al1—Li2 <sup>xxiii</sup>	105.2 (9)
Cl1—Li1—Al1 <sup>ix</sup>	90.0	Li2 <sup>xxii</sup> —Al1—Li2 <sup>xxiii</sup>	118.5 (19)
Al1 <sup>viii</sup> —Li1—Al1 <sup>ix</sup>	90.0	O1 <sup>xviii</sup> —Al1—Li1 <sup>xxiv</sup>	78.09 (5)
O1—Li1—Al1 <sup>x</sup>	29.22 (5)	O1 <sup>xix</sup> —Al1—Li1 <sup>xxiv</sup>	144.55 (6)
O1 <sup>i</sup> —Li1—Al1 <sup>x</sup>	150.78 (5)	O1 <sup>xvii</sup> —Al1—Li1 <sup>xxiv</sup>	101.91 (5)
O1 <sup>ii</sup> —Li1—Al1 <sup>x</sup>	117.15 (5)	O1 <sup>xx</sup> —Al1—Li1 <sup>xxiv</sup>	35.45 (6)
O1 <sup>iii</sup> —Li1—Al1 <sup>x</sup>	62.85 (5)	Li2 <sup>i</sup> —Al1—Li1 <sup>xxiv</sup>	127.4 (4)

Li2 <sup>iv</sup> —Li1—Al1 <sup>x</sup>	57.2 (6)	Li2 <sup>xxi</sup> —Al1—Li1 <sup>xxiv</sup>	52.6 (4)
Li2 <sup>v</sup> —Li1—Al1 <sup>x</sup>	122.8 (6)	Li2 <sup>xxii</sup> —Al1—Li1 <sup>xxiv</sup>	52.6 (4)
Li2 <sup>vi</sup> —Li1—Al1 <sup>x</sup>	57.2 (6)	Li2 <sup>xxiii</sup> —Al1—Li1 <sup>xxiv</sup>	127.4 (4)
Li2 <sup>vii</sup> —Li1—Al1 <sup>x</sup>	122.8 (6)	O1 <sup>xviii</sup> —Al1—Li1 <sup>x</sup>	101.91 (5)
Cl1—Li1—Al1 <sup>x</sup>	90.0	O1 <sup>xix</sup> —Al1—Li1 <sup>x</sup>	35.45 (6)
Al1 <sup>viii</sup> —Li1—Al1 <sup>x</sup>	180.0	O1 <sup>xvii</sup> —Al1—Li1 <sup>x</sup>	78.09 (5)
Al1 <sup>ix</sup> —Li1—Al1 <sup>x</sup>	90.0	O1 <sup>xx</sup> —Al1—Li1 <sup>x</sup>	144.55 (6)
O1 <sup>xi</sup> —Li2—O1 <sup>xii</sup>	97.0 (15)	Li2 <sup>i</sup> —Al1—Li1 <sup>x</sup>	52.6 (4)
O1 <sup>xi</sup> —Li2—O1 <sup>xiii</sup>	97.0 (15)	Li2 <sup>xxi</sup> —Al1—Li1 <sup>x</sup>	127.4 (4)
O1 <sup>xii</sup> —Li2—O1 <sup>xiii</sup>	97.0 (15)	Li2 <sup>xxii</sup> —Al1—Li1 <sup>x</sup>	127.4 (4)
O1 <sup>xi</sup> —Li2—Cl1	120.1 (12)	Li2 <sup>xxiii</sup> —Al1—Li1 <sup>x</sup>	52.6 (4)
O1 <sup>xii</sup> —Li2—Cl1	120.1 (12)	Li1 <sup>xxiv</sup> —Al1—Li1 <sup>x</sup>	180.0
O1 <sup>xiii</sup> —Li2—Cl1	120.1 (12)	O1 <sup>xviii</sup> —Al1—Li1 <sup>xvii</sup>	144.55 (6)
O1 <sup>xi</sup> —Li2—Li1 <sup>xiv</sup>	107.0 (3)	O1 <sup>xix</sup> —Al1—Li1 <sup>xvii</sup>	101.91 (5)
O1 <sup>xii</sup> —Li2—Li1 <sup>xiv</sup>	139.1 (8)	O1 <sup>xvii</sup> —Al1—Li1 <sup>xvii</sup>	35.45 (6)
O1 <sup>xiii</sup> —Li2—Li1 <sup>xiv</sup>	48.29 (9)	O1 <sup>xx</sup> —Al1—Li1 <sup>xvii</sup>	78.09 (5)
Cl1—Li2—Li1 <sup>xiv</sup>	75.3 (11)	Li2 <sup>i</sup> —Al1—Li1 <sup>xvii</sup>	52.6 (4)
O1 <sup>xi</sup> —Li2—Li1 <sup>xv</sup>	139.1 (8)	Li2 <sup>xxi</sup> —Al1—Li1 <sup>xvii</sup>	127.4 (4)
O1 <sup>xii</sup> —Li2—Li1 <sup>xv</sup>	48.29 (9)	Li2 <sup>xxii</sup> —Al1—Li1 <sup>xvii</sup>	52.6 (4)
O1 <sup>xiii</sup> —Li2—Li1 <sup>xv</sup>	107.0 (3)	Li2 <sup>xxiii</sup> —Al1—Li1 <sup>xvii</sup>	127.4 (4)
Cl1—Li2—Li1 <sup>xv</sup>	75.3 (11)	Li1 <sup>xxiv</sup> —Al1—Li1 <sup>xvii</sup>	90.0
Li1 <sup>xiv</sup> —Li2—Li1 <sup>xv</sup>	113.8 (9)	Li1 <sup>x</sup> —Al1—Li1 <sup>xvii</sup>	90.0
O1 <sup>xi</sup> —Li2—Li1 <sup>vi</sup>	48.29 (9)	O1 <sup>xviii</sup> —Al1—Li1 <sup>xviii</sup>	35.45 (6)
O1 <sup>xii</sup> —Li2—Li1 <sup>vi</sup>	107.0 (3)	O1 <sup>xix</sup> —Al1—Li1 <sup>xviii</sup>	78.09 (5)
O1 <sup>xiii</sup> —Li2—Li1 <sup>vi</sup>	139.1 (8)	O1 <sup>xvii</sup> —Al1—Li1 <sup>xviii</sup>	144.55 (6)
Cl1—Li2—Li1 <sup>vi</sup>	75.3 (11)	O1 <sup>xx</sup> —Al1—Li1 <sup>xviii</sup>	101.91 (5)
Li1 <sup>xiv</sup> —Li2—Li1 <sup>vi</sup>	113.8 (9)	Li2 <sup>i</sup> —Al1—Li1 <sup>xviii</sup>	127.4 (4)
Li1 <sup>ix</sup> —Li2—Li1 <sup>vi</sup>	113.8 (9)	Li2 <sup>xxi</sup> —Al1—Li1 <sup>xviii</sup>	52.6 (4)
O1 <sup>xi</sup> —Li2—O1 <sup>ix</sup>	158 (2)	Li2 <sup>xxii</sup> —Al1—Li1 <sup>xviii</sup>	127.4 (4)
O1 <sup>xii</sup> —Li2—O1 <sup>ix</sup>	71.54 (19)	Li2 <sup>xxiii</sup> —Al1—Li1 <sup>xviii</sup>	52.6 (4)
O1 <sup>xiii</sup> —Li2—O1 <sup>ix</sup>	66.73 (16)	Li1 <sup>xxiv</sup> —Al1—Li1 <sup>xviii</sup>	90.0
Cl1—Li2—O1 <sup>ix</sup>	81.8 (11)	Li1 <sup>x</sup> —Al1—Li1 <sup>xviii</sup>	90.0
Li1 <sup>xiv</sup> —Li2—O1 <sup>ix</sup>	74.1 (3)	Li1 <sup>xvii</sup> —Al1—Li1 <sup>xviii</sup>	180.0
Li1 <sup>ix</sup> —Li2—O1 <sup>ix</sup>	43.90 (17)	B1—O1—Al1 <sup>x</sup>	118.97 (12)
Li1 <sup>vi</sup> —Li2—O1 <sup>ix</sup>	152.3 (17)	B1—O1—Li1	118.1 (2)
O1 <sup>xi</sup> —Li2—O1 <sup>xiv</sup>	66.73 (16)	Al1 <sup>x</sup> —O1—Li1	115.33 (9)
O1 <sup>xii</sup> —Li2—O1 <sup>xiv</sup>	158 (2)	B1—O1—Li2 <sup>iv</sup>	123.5 (10)
O1 <sup>xiii</sup> —Li2—O1 <sup>xiv</sup>	71.54 (19)	Al1 <sup>x</sup> —O1—Li2 <sup>iv</sup>	93.18 (8)
Cl1—Li2—O1 <sup>xiv</sup>	81.8 (11)	Li1—O1—Li2 <sup>iv</sup>	79.2 (11)
Li1 <sup>xiv</sup> —Li2—O1 <sup>xiv</sup>	43.90 (17)	Li2—Cl1—Li2 <sup>i</sup>	109.471 (6)
Li1 <sup>ix</sup> —Li2—O1 <sup>xiv</sup>	152.3 (17)	Li2—Cl1—Li2 <sup>vi</sup>	109.471 (1)
Li1 <sup>vi</sup> —Li2—O1 <sup>xiv</sup>	74.1 (3)	Li2 <sup>i</sup> —Cl1—Li2 <sup>vi</sup>	109.5
O1 <sup>ix</sup> —Li2—O1 <sup>xiv</sup>	118.0 (5)	Li2—Cl1—Li2 <sup>v</sup>	109.471 (3)
O1 <sup>xi</sup> —Li2—O1 <sup>vi</sup>	71.54 (19)	Li2 <sup>i</sup> —Cl1—Li2 <sup>v</sup>	109.471 (1)
O1 <sup>xii</sup> —Li2—O1 <sup>vi</sup>	66.73 (16)	Li2 <sup>vi</sup> —Cl1—Li2 <sup>v</sup>	109.471 (1)
O1 <sup>xiii</sup> —Li2—O1 <sup>vi</sup>	158 (2)	Li2—Cl1—Li1	125.264 (1)
Cl1—Li2—O1 <sup>vi</sup>	81.8 (11)	Li2 <sup>i</sup> —Cl1—Li1	125.264 (1)
Li1 <sup>xiv</sup> —Li2—O1 <sup>vi</sup>	152.3 (17)	Li2 <sup>vi</sup> —Cl1—Li1	54.736 (1)

Li1 <sup>ix</sup> —Li2—O1 <sup>vi</sup>	74.1 (3)	Li2 <sup>v</sup> —Cl1—Li1	54.736 (1)
Li1 <sup>vi</sup> —Li2—O1 <sup>vi</sup>	43.90 (17)		

Symmetry codes: (i)  $x, -y+1/2, -z+1/2$ ; (ii)  $-x, -z+1/2, y$ ; (iii)  $-x, z, -y+1/2$ ; (iv)  $y-1/2, -x+1/2, -z+1/2$ ; (v)  $-x+1/2, y, -z+1/2$ ; (vi)  $-x+1/2, -y+1/2, z$ ; (vii)  $y-1/2, x, z$ ; (viii)  $-y, z+1/2, -x+1/2$ ; (ix)  $z, -x+1/2, -y+1/2$ ; (x)  $y, z, x$ ; (xi)  $x+1/2, -z+1/2, -y+1/2$ ; (xii)  $-y+1/2, x+1/2, -z+1/2$ ; (xiii)  $-z+1/2, -y+1/2, x+1/2$ ; (xiv)  $-y+1/2, z, -x+1/2$ ; (xv)  $y+1/2, z+1/2, x$ ; (xvi)  $x, y+1/2, z+1/2$ ; (xvii)  $z, x, y$ ; (xviii)  $z, -x, -y$ ; (xix)  $-z+1/2, y, -x$ ; (xx)  $-z+1/2, -y, x$ ; (xxi)  $x, y-1/2, z-1/2$ ; (xxii)  $-y+1/2, x-1/2, -z+1/2$ ; (xxiii)  $-y+1/2, -x+1/2, z-1/2$ ; (xxiv)  $-y+1/2, z-1/2, -x$ .

### Lithium aluminoboracite (kjh0818yoshinoL14\_0m\_a\_1)

#### Crystal data

$\text{Li}_4\text{B}_4\text{Al}_3\text{O}_{12}\text{Cl}$	Cu $K\alpha$ radiation, $\lambda = 1.54178 \text{ \AA}$
$M_r = 379.39$	Cell parameters from 2808 reflections
Cubic, $F\bar{2}3$	$\theta = 6.8\text{--}73.2^\circ$
$a = 12.9839 (1) \text{ \AA}$	$\mu = 6.12 \text{ mm}^{-1}$
$V = 2188.85 (5) \text{ \AA}^3$	$T = 297 \text{ K}$
$Z = 8$	Plate, colorless
$F(000) = 1472$	$0.11 \times 0.10 \times 0.06 \text{ mm}$
$D_x = 2.303 \text{ Mg m}^{-3}$	

#### Data collection

Bruker D8 goniometer diffractometer	4728 measured reflections
Radiation source: sealed tube	389 independent reflections
Detector resolution: 7.3910 pixels $\text{mm}^{-1}$	317 reflections with $I > 2\sigma(I)$
$\omega$ scans	$R_{\text{int}} = 0.024$
Absorption correction: multi-scan (SADABS; Krause <i>et al.</i> , 2015)	$\theta_{\text{max}} = 73.2^\circ, \theta_{\text{min}} = 5.9^\circ$
$T_{\text{min}} = 0.62, T_{\text{max}} = 0.75$	$h = -15 \rightarrow 12$
	$k = -15 \rightarrow 16$
	$l = -16 \rightarrow 15$

#### Refinement

Refinement on $F^2$	$w = 1/[\sigma^2(F_o^2) + (0.0537P)^2 + 1.5774P]$
Least-squares matrix: full	where $P = (F_o^2 + 2F_c^2)/3$
$R[F^2 > 2\sigma(F^2)] = 0.032$	$(\Delta/\sigma)_{\text{max}} = 0.003$
$wR(F^2) = 0.081$	$\Delta\rho_{\text{max}} = 0.20 \text{ e \AA}^{-3}$
$S = 1.17$	$\Delta\rho_{\text{min}} = -0.91 \text{ e \AA}^{-3}$
389 reflections	Absolute structure: Flack $x$ determined using
50 parameters	132 quotients $[(I^+)-(I^-)]/[(I^+)+(I^-)]$ (Parsons <i>et al.</i> , 2013).
1 restraint	Absolute structure parameter: $-0.03 (2)$

#### Special details

**Geometry.** All esds (except the esd in the dihedral angle between two l.s. planes) are estimated using the full covariance matrix. The cell esds are taken into account individually in the estimation of esds in distances, angles and torsion angles; correlations between esds in cell parameters are only used when they are defined by crystal symmetry. An approximate (isotropic) treatment of cell esds is used for estimating esds involving l.s. planes.

#### Fractional atomic coordinates and isotropic or equivalent isotropic displacement parameters ( $\text{\AA}^2$ )

	$x$	$y$	$z$	$U_{\text{iso}}^* / U_{\text{eq}}$	Occ. (<1)
Li1	0.020 (4)	0.250000	0.250000	0.047 (13)	0.5
Li2	0.517 (5)	0.750000	0.750000	0.050 (15)	0.5
Li3	0.363 (3)	0.363 (3)	0.363 (3)	0.020 (12)	0.205 (14)
Li4	0.864 (2)	0.864 (2)	0.864 (2)	0.035 (12)	0.295 (14)

B1	0.1060 (3)	0.1060 (3)	0.1060 (3)	0.0112 (10)
B2	0.6057 (3)	0.6057 (3)	0.6057 (3)	0.0119 (10)
Al1	0.24997 (11)	0.000000	0.000000	0.0118 (5)
O1	0.02797 (13)	0.11005 (14)	0.17683 (14)	0.0170 (5)
O2	0.02784 (13)	0.17681 (14)	0.61004 (14)	0.0171 (5)
Cl1	0.250000	0.250000	0.250000	0.0774 (16)
Cl2	0.750000	0.750000	0.750000	0.0786 (16)

Atomic displacement parameters ( $\text{\AA}^2$ )

	$U^{11}$	$U^{22}$	$U^{33}$	$U^{12}$	$U^{13}$	$U^{23}$
Li1	0.08 (3)	0.015 (11)	0.040 (17)	0.000	0.000	-0.012 (14)
Li2	0.11 (5)	0.031 (14)	0.010 (11)	0.000	0.000	-0.008 (13)
Li3	0.020 (12)	0.020 (12)	0.020 (12)	-0.004 (10)	-0.004 (10)	-0.004 (10)
Li4	0.035 (12)	0.035 (12)	0.035 (12)	0.000 (10)	0.000 (10)	0.000 (10)
B1	0.0112 (10)	0.0112 (10)	0.0112 (10)	-0.0005 (15)	-0.0005 (15)	-0.0005 (15)
B2	0.0119 (10)	0.0119 (10)	0.0119 (10)	-0.0001 (15)	-0.0001 (15)	-0.0001 (15)
Al1	0.0115 (6)	0.0119 (6)	0.0120 (6)	0.000	0.000	0.0003 (4)
O1	0.0185 (10)	0.0161 (9)	0.0164 (10)	0.0050 (6)	0.0069 (9)	0.0048 (9)
O2	0.0196 (11)	0.0164 (10)	0.0154 (9)	0.0071 (9)	0.0050 (6)	0.0048 (9)
Cl1	0.0774 (16)	0.0774 (16)	0.0774 (16)	0.000	0.000	0.000
Cl2	0.0786 (16)	0.0786 (16)	0.0786 (16)	0.000	0.000	0.000

Geometric parameters ( $\text{\AA}$ ,  $^\circ$ )

Li1—Li2 <sup>i</sup>	0.48 (10)	Li3—O2 <sup>xxiii</sup>	2.23 (3)
Li1—O1 <sup>ii</sup>	2.053 (3)	Li3—O2 <sup>xxiv</sup>	2.23 (3)
Li1—O1	2.053 (3)	Li3—Cl1	2.55 (6)
Li1—O2 <sup>iii</sup>	2.143 (16)	Li3—O1 <sup>xxv</sup>	2.824 (8)
Li1—O2 <sup>iv</sup>	2.143 (16)	Li3—O1 <sup>xxvi</sup>	2.824 (8)
Li1—Li3 <sup>v</sup>	2.57 (4)	Li3—O1 <sup>vi</sup>	2.824 (8)
Li1—Li3 <sup>vi</sup>	2.57 (4)	Li4—O1 <sup>xxvii</sup>	2.23 (3)
Li1—Li4 <sup>vii</sup>	2.91 (4)	Li4—O1 <sup>xxviii</sup>	2.23 (3)
Li1—Li4 <sup>viii</sup>	2.91 (4)	Li4—O1 <sup>xxix</sup>	2.23 (3)
Li1—Cl1	2.98 (6)	Li4—Cl2	2.55 (5)
Li1—Al1 <sup>ix</sup>	3.256 (5)	Li4—O2 <sup>xxx</sup>	2.826 (8)
Li1—Al1 <sup>x</sup>	3.256 (5)	Li4—O2 <sup>xxxi</sup>	2.826 (8)
Li2—O2 <sup>xi</sup>	2.056 (4)	Li4—O2 <sup>xxxii</sup>	2.826 (8)
Li2—O2 <sup>xii</sup>	2.056 (4)	Li4—Al1 <sup>xxxiii</sup>	2.91 (2)
Li2—O1 <sup>xiii</sup>	2.132 (16)	Li4—Al1 <sup>xxxiv</sup>	2.91 (2)
Li2—O1 <sup>xiv</sup>	2.132 (16)	B1—O1	1.3693 (17)
Li2—Li4 <sup>xv</sup>	2.60 (4)	B1—O1 <sup>ix</sup>	1.3693 (17)
Li2—Li4 <sup>xvi</sup>	2.60 (4)	B1—O1 <sup>x</sup>	1.3693 (17)
Li2—Li3 <sup>xvii</sup>	2.88 (4)	B2—O2 <sup>xxxv</sup>	1.3702 (17)
Li2—Li3 <sup>xviii</sup>	2.88 (4)	B2—O2 <sup>xii</sup>	1.3702 (17)
Li2—Cl2	3.03 (6)	B2—O2 <sup>xxxvi</sup>	1.3702 (17)
Li2—Al1 <sup>xix</sup>	3.253 (4)	Al1—O1 <sup>xxxvii</sup>	1.754 (2)
Li2—Al1 <sup>xx</sup>	3.253 (4)	Al1—O2 <sup>xxxviii</sup>	1.754 (2)

Li2—Al1 <sup>xxi</sup>	3.253 (4)	Al1—O1 <sup>x</sup>	1.754 (2)
Li3—O2 <sup>xxii</sup>	2.23 (3)	Al1—O2 <sup>xxxix</sup>	1.754 (2)
Li2 <sup>i</sup> —Li1—O1 <sup>ii</sup>	92.8 (16)	Li2 <sup>xvi</sup> —Li4—Li2 <sup>xlili</sup>	110.8 (14)
Li2 <sup>i</sup> —Li1—O1	92.8 (16)	Li2 <sup>xlili</sup> —Li4—Li2 <sup>xlili</sup>	110.9 (14)
O1 <sup>ii</sup> —Li1—O1	174 (3)	O1 <sup>xxvii</sup> —Li4—O2 <sup>xxx</sup>	157 (2)
Li2 <sup>i</sup> —Li1—O2 <sup>iii</sup>	73.1 (14)	O1 <sup>xxviii</sup> —Li4—O2 <sup>xxx</sup>	71.5 (2)
O1 <sup>ii</sup> —Li1—O2 <sup>iii</sup>	90.8 (4)	O1 <sup>xxix</sup> —Li4—O2 <sup>xxx</sup>	66.70 (16)
O1—Li1—O2 <sup>iii</sup>	90.8 (4)	Cl2—Li4—O2 <sup>xxx</sup>	82.1 (11)
Li2 <sup>i</sup> —Li1—O2 <sup>iv</sup>	73.1 (14)	Li2 <sup>xvi</sup> —Li4—O2 <sup>xxx</sup>	44.3 (2)
O1 <sup>ii</sup> —Li1—O2 <sup>iv</sup>	90.8 (4)	Li2 <sup>xlili</sup> —Li4—O2 <sup>xxx</sup>	74.0 (4)
O1—Li1—O2 <sup>iv</sup>	90.8 (4)	Li2 <sup>xlili</sup> —Li4—O2 <sup>xxx</sup>	150 (2)
O2 <sup>iii</sup> —Li1—O2 <sup>iv</sup>	146 (3)	O1 <sup>xxvii</sup> —Li4—O2 <sup>xxxi</sup>	66.70 (16)
Li2 <sup>i</sup> —Li1—Li3 <sup>v</sup>	126.0 (15)	O1 <sup>xxviii</sup> —Li4—O2 <sup>xxxi</sup>	157 (2)
O1 <sup>ii</sup> —Li1—Li3 <sup>v</sup>	74.3 (8)	O1 <sup>xxix</sup> —Li4—O2 <sup>xxxi</sup>	71.5 (2)
O1—Li1—Li3 <sup>v</sup>	102.3 (12)	Cl2—Li4—O2 <sup>xxxi</sup>	82.1 (11)
O2 <sup>iii</sup> —Li1—Li3 <sup>v</sup>	55.4 (12)	Li2 <sup>xvi</sup> —Li4—O2 <sup>xxxi</sup>	150 (2)
O2 <sup>iv</sup> —Li1—Li3 <sup>v</sup>	155 (2)	Li2 <sup>xlili</sup> —Li4—O2 <sup>xxxi</sup>	44.3 (2)
Li2 <sup>i</sup> —Li1—Li3 <sup>vi</sup>	126.0 (15)	Li2 <sup>xlili</sup> —Li4—O2 <sup>xxxi</sup>	74.0 (4)
O1 <sup>ii</sup> —Li1—Li3 <sup>vi</sup>	102.3 (12)	O2 <sup>xxx</sup> —Li4—O2 <sup>xxxi</sup>	118.2 (5)
O1—Li1—Li3 <sup>vi</sup>	74.3 (8)	O1 <sup>xxvii</sup> —Li4—O2 <sup>xxxi</sup>	71.5 (2)
O2 <sup>iii</sup> —Li1—Li3 <sup>vi</sup>	155 (2)	O1 <sup>xxviii</sup> —Li4—O2 <sup>xxxi</sup>	66.70 (16)
O2 <sup>iv</sup> —Li1—Li3 <sup>vi</sup>	55.4 (12)	O1 <sup>xxix</sup> —Li4—O2 <sup>xxxi</sup>	157 (2)
Li3 <sup>v</sup> —Li1—Li3 <sup>vi</sup>	108 (3)	Cl2—Li4—O2 <sup>xxxi</sup>	82.1 (11)
Li2 <sup>i</sup> —Li1—Li4 <sup>vii</sup>	45.7 (13)	Li2 <sup>xvi</sup> —Li4—O2 <sup>xxxi</sup>	74.0 (4)
O1 <sup>ii</sup> —Li1—Li4 <sup>vii</sup>	136 (2)	Li2 <sup>xlili</sup> —Li4—O2 <sup>xxxi</sup>	150 (2)
O1—Li1—Li4 <sup>vii</sup>	49.6 (13)	Li2 <sup>xlili</sup> —Li4—O2 <sup>xxxi</sup>	44.3 (2)
O2 <sup>iii</sup> —Li1—Li4 <sup>vii</sup>	65.9 (10)	O2 <sup>xxx</sup> —Li4—O2 <sup>xxxi</sup>	118.2 (5)
O2 <sup>iv</sup> —Li1—Li4 <sup>vii</sup>	90.1 (14)	O2 <sup>xxxi</sup> —Li4—O2 <sup>xxxi</sup>	118.2 (5)
Li3 <sup>v</sup> —Li1—Li4 <sup>vii</sup>	114.3 (10)	O1 <sup>xxvii</sup> —Li4—Al1 <sup>xxxiii</sup>	68.7 (7)
Li3 <sup>vi</sup> —Li1—Li4 <sup>vii</sup>	114.3 (10)	O1 <sup>xxviii</sup> —Li4—Al1 <sup>xxxiii</sup>	37.0 (3)
Li2 <sup>i</sup> —Li1—Li4 <sup>viii</sup>	45.7 (13)	O1 <sup>xxix</sup> —Li4—Al1 <sup>xxxiii</sup>	122 (2)
O1 <sup>ii</sup> —Li1—Li4 <sup>viii</sup>	49.6 (13)	Cl2—Li4—Al1 <sup>xxxiii</sup>	114.3 (9)
O1—Li1—Li4 <sup>viii</sup>	136 (2)	Li2 <sup>xvi</sup> —Li4—Al1 <sup>xxxiii</sup>	72.2 (6)
O2 <sup>iii</sup> —Li1—Li4 <sup>viii</sup>	90.1 (14)	Li2 <sup>xlili</sup> —Li4—Al1 <sup>xxxiii</sup>	174 (2)
O2 <sup>iv</sup> —Li1—Li4 <sup>viii</sup>	65.9 (10)	Li2 <sup>xlili</sup> —Li4—Al1 <sup>xxxiii</sup>	72.2 (6)
Li3 <sup>v</sup> —Li1—Li4 <sup>viii</sup>	114.3 (10)	O2 <sup>xxx</sup> —Li4—Al1 <sup>xxxiii</sup>	106.3 (4)
Li3 <sup>vi</sup> —Li1—Li4 <sup>viii</sup>	114.3 (10)	O2 <sup>xxxi</sup> —Li4—Al1 <sup>xxxiii</sup>	134.6 (7)
Li4 <sup>vii</sup> —Li1—Li4 <sup>viii</sup>	91 (3)	O2 <sup>xxxi</sup> —Li4—Al1 <sup>xxxiii</sup>	35.59 (12)
Li2 <sup>i</sup> —Li1—Cl1	180.0	O1 <sup>xxvii</sup> —Li4—Al1 <sup>xxxiv</sup>	37.0 (3)
O1 <sup>ii</sup> —Li1—Cl1	87.2 (16)	O1 <sup>xxviii</sup> —Li4—Al1 <sup>xxxiv</sup>	122 (2)
O1—Li1—Cl1	87.2 (16)	O1 <sup>xxix</sup> —Li4—Al1 <sup>xxxiv</sup>	68.7 (7)
O2 <sup>iii</sup> —Li1—Cl1	106.9 (14)	Cl2—Li4—Al1 <sup>xxxiv</sup>	114.3 (9)
O2 <sup>iv</sup> —Li1—Cl1	106.9 (14)	Li2 <sup>xvi</sup> —Li4—Al1 <sup>xxxiv</sup>	174 (2)
Li3 <sup>v</sup> —Li1—Cl1	54.0 (15)	Li2 <sup>xlili</sup> —Li4—Al1 <sup>xxxiv</sup>	72.2 (6)
Li3 <sup>vi</sup> —Li1—Cl1	54.0 (15)	Li2 <sup>xlili</sup> —Li4—Al1 <sup>xxxiv</sup>	72.2 (6)
Li4 <sup>vii</sup> —Li1—Cl1	134.3 (13)	O2 <sup>xxx</sup> —Li4—Al1 <sup>xxxiv</sup>	134.6 (7)
Li4 <sup>viii</sup> —Li1—Cl1	134.3 (13)	O2 <sup>xxxi</sup> —Li4—Al1 <sup>xxxiv</sup>	35.59 (12)

Li2 <sup>i</sup> —Li1—Al1 <sup>ix</sup>	85.4 (10)	O2 <sup>xxxii</sup> —Li4—Al1 <sup>xxxiv</sup>	106.3 (4)
O1 <sup>ii</sup> —Li1—Al1 <sup>ix</sup>	152.41 (19)	Al1 <sup>xxxiii</sup> —Li4—Al1 <sup>xxxiv</sup>	104.3 (11)
O1—Li1—Al1 <sup>ix</sup>	28.56 (17)	O1—B1—O1 <sup>ix</sup>	119.972 (15)
O2 <sup>iii</sup> —Li1—Al1 <sup>ix</sup>	114.7 (7)	O1—B1—O1 <sup>x</sup>	119.972 (15)
O2 <sup>iv</sup> —Li1—Al1 <sup>ix</sup>	62.3 (2)	O1 <sup>ix</sup> —B1—O1 <sup>x</sup>	119.972 (15)
Li3 <sup>v</sup> —Li1—Al1 <sup>ix</sup>	128.1 (12)	O2 <sup>xxxv</sup> —B2—O2 <sup>xii</sup>	119.982 (12)
Li3 <sup>vi</sup> —Li1—Al1 <sup>ix</sup>	58.5 (7)	O2 <sup>xxxv</sup> —B2—O2 <sup>xxxvi</sup>	119.982 (13)
Li4 <sup>vii</sup> —Li1—Al1 <sup>ix</sup>	55.9 (7)	O2 <sup>xii</sup> —B2—O2 <sup>xxxvi</sup>	119.982 (12)
Li4 <sup>viii</sup> —Li1—Al1 <sup>ix</sup>	116.6 (14)	O1 <sup>xxxvii</sup> —Al1—O2 <sup>xxxviii</sup>	107.12 (9)
Cl1—Li1—Al1 <sup>ix</sup>	94.6 (10)	O1 <sup>xxxvii</sup> —Al1—O1 <sup>x</sup>	114.42 (15)
Li2 <sup>i</sup> —Li1—Al1 <sup>x</sup>	85.4 (10)	O2 <sup>xxxviii</sup> —Al1—O1 <sup>x</sup>	107.03 (8)
O1 <sup>ii</sup> —Li1—Al1 <sup>x</sup>	117.73 (11)	O1 <sup>xxxvii</sup> —Al1—O2 <sup>xxxix</sup>	107.03 (8)
O1—Li1—Al1 <sup>x</sup>	62.78 (10)	O2 <sup>xxxviii</sup> —Al1—O2 <sup>xxxix</sup>	114.35 (15)
O2 <sup>iii</sup> —Li1—Al1 <sup>x</sup>	29.72 (10)	O1 <sup>x</sup> —Al1—O2 <sup>xxxix</sup>	107.12 (9)
O2 <sup>iv</sup> —Li1—Al1 <sup>x</sup>	145.3 (15)	O1 <sup>xxxvii</sup> —Al1—Li4 <sup>xliv</sup>	95.5 (7)
Li3 <sup>v</sup> —Li1—Al1 <sup>x</sup>	58.5 (7)	O2 <sup>xxxviii</sup> —Al1—Li4 <sup>xliv</sup>	153.8 (2)
Li3 <sup>vi</sup> —Li1—Al1 <sup>x</sup>	128.1 (12)	O1 <sup>x</sup> —Al1—Li4 <sup>xliv</sup>	49.8 (3)
Li4 <sup>vii</sup> —Li1—Al1 <sup>x</sup>	55.9 (7)	O2 <sup>xxxix</sup> —Al1—Li4 <sup>xliv</sup>	69.7 (8)
Li4 <sup>viii</sup> —Li1—Al1 <sup>x</sup>	116.6 (14)	O1 <sup>xxxvii</sup> —Al1—Li4 <sup>xlv</sup>	49.8 (3)
Cl1—Li1—Al1 <sup>x</sup>	94.6 (10)	O2 <sup>xxxviii</sup> —Al1—Li4 <sup>xlv</sup>	69.7 (8)
Al1 <sup>ix</sup> —Li1—Al1 <sup>x</sup>	89.62 (17)	O1 <sup>x</sup> —Al1—Li4 <sup>xlv</sup>	95.5 (7)
O2 <sup>xi</sup> —Li2—O2 <sup>xii</sup>	172 (3)	O2 <sup>xxxix</sup> —Al1—Li4 <sup>xlv</sup>	153.8 (2)
O2 <sup>xi</sup> —Li2—O1 <sup>xiii</sup>	91.1 (4)	Li4 <sup>xliv</sup> —Al1—Li4 <sup>xlv</sup>	119.1 (19)
O2 <sup>xii</sup> —Li2—O1 <sup>xiii</sup>	91.1 (4)	O1 <sup>xxxvii</sup> —Al1—Li3 <sup>ii</sup>	153.8 (2)
O2 <sup>xi</sup> —Li2—O1 <sup>xiv</sup>	91.1 (4)	O2 <sup>xxxviii</sup> —Al1—Li3 <sup>ii</sup>	49.8 (3)
O2 <sup>xii</sup> —Li2—O1 <sup>xiv</sup>	91.1 (4)	O1 <sup>x</sup> —Al1—Li3 <sup>ii</sup>	69.5 (9)
O1 <sup>xiii</sup> —Li2—O1 <sup>xiv</sup>	148 (3)	O2 <sup>xxxix</sup> —Al1—Li3 <sup>ii</sup>	95.6 (7)
O2 <sup>xi</sup> —Li2—Li4 <sup>xv</sup>	101.4 (13)	Li4 <sup>xliv</sup> —Al1—Li3 <sup>ii</sup>	104.9 (7)
O2 <sup>xii</sup> —Li2—Li4 <sup>xv</sup>	73.7 (9)	Li4 <sup>xlv</sup> —Al1—Li3 <sup>ii</sup>	104.9 (7)
O1 <sup>xiii</sup> —Li2—Li4 <sup>xv</sup>	154 (2)	O1 <sup>xxxvii</sup> —Al1—Li3 <sup>xli</sup>	69.5 (9)
O1 <sup>xiv</sup> —Li2—Li4 <sup>xv</sup>	55.1 (12)	O2 <sup>xxxviii</sup> —Al1—Li3 <sup>xli</sup>	95.6 (7)
O2 <sup>xi</sup> —Li2—Li4 <sup>xvi</sup>	73.7 (9)	O1 <sup>x</sup> —Al1—Li3 <sup>xli</sup>	153.8 (2)
O2 <sup>xii</sup> —Li2—Li4 <sup>xvi</sup>	101.4 (13)	O2 <sup>xxxix</sup> —Al1—Li3 <sup>xli</sup>	49.8 (3)
O1 <sup>xiii</sup> —Li2—Li4 <sup>xvi</sup>	55.1 (12)	Li4 <sup>xliv</sup> —Al1—Li3 <sup>xli</sup>	104.9 (7)
O1 <sup>xiv</sup> —Li2—Li4 <sup>xvi</sup>	154 (2)	Li4 <sup>xlv</sup> —Al1—Li3 <sup>xli</sup>	104.9 (7)
Li4 <sup>xv</sup> —Li2—Li4 <sup>xvi</sup>	107 (3)	Li3 <sup>ii</sup> —Al1—Li3 <sup>xli</sup>	119 (2)
O2 <sup>xi</sup> —Li2—Li3 <sup>xvii</sup>	137 (2)	O1 <sup>xxxvii</sup> —Al1—Li2 <sup>xlvii</sup>	37.0 (5)
O2 <sup>xii</sup> —Li2—Li3 <sup>xvii</sup>	50.2 (14)	O2 <sup>xxxviii</sup> —Al1—Li2 <sup>xlvii</sup>	74.9 (9)
O1 <sup>xiii</sup> —Li2—Li3 <sup>xvii</sup>	66.6 (10)	O1 <sup>x</sup> —Al1—Li2 <sup>xlvii</sup>	143.0 (5)
O1 <sup>xiv</sup> —Li2—Li3 <sup>xvii</sup>	91.1 (15)	O2 <sup>xxxix</sup> —Al1—Li2 <sup>xlvii</sup>	105.1 (9)
Li4 <sup>xv</sup> —Li2—Li3 <sup>xvii</sup>	114.4 (10)	Li4 <sup>xliv</sup> —Al1—Li2 <sup>xlvii</sup>	130.5 (9)
Li4 <sup>xvi</sup> —Li2—Li3 <sup>xvii</sup>	114.4 (10)	Li4 <sup>xlv</sup> —Al1—Li2 <sup>xlvii</sup>	49.5 (9)
O2 <sup>xi</sup> —Li2—Li3 <sup>xviii</sup>	50.2 (13)	Li3 <sup>ii</sup> —Al1—Li2 <sup>xlvii</sup>	124.6 (9)
O2 <sup>xii</sup> —Li2—Li3 <sup>xviii</sup>	137 (2)	Li3 <sup>xli</sup> —Al1—Li2 <sup>xlvii</sup>	55.4 (9)
O1 <sup>xiii</sup> —Li2—Li3 <sup>xviii</sup>	91.1 (15)	O1 <sup>xxxvii</sup> —Al1—Li2 <sup>xlvii</sup>	98.7 (9)
O1 <sup>xiv</sup> —Li2—Li3 <sup>xviii</sup>	66.6 (10)	O2 <sup>xxxviii</sup> —Al1—Li2 <sup>xlvii</sup>	34.2 (3)
Li4 <sup>xv</sup> —Li2—Li3 <sup>xviii</sup>	114.4 (10)	O1 <sup>x</sup> —Al1—Li2 <sup>xlvii</sup>	81.3 (9)
Li4 <sup>xvi</sup> —Li2—Li3 <sup>xviii</sup>	114.4 (10)	O2 <sup>xxxix</sup> —Al1—Li2 <sup>xlvii</sup>	145.8 (3)

Li3 <sup>xvii</sup> —Li2—Li3 <sup>xviii</sup>	92 (3)	Li4 <sup>xliv</sup> —Al1—Li2 <sup>xlvii</sup>	130.5 (9)
O2 <sup>xi</sup> —Li2—Cl2	86.0 (17)	Li4 <sup>xlv</sup> —Al1—Li2 <sup>xlvii</sup>	49.5 (9)
O2 <sup>xii</sup> —Li2—Cl2	86.0 (17)	Li3 <sup>ii</sup> —Al1—Li2 <sup>xlvii</sup>	55.4 (9)
O1 <sup>xiii</sup> —Li2—Cl2	105.9 (15)	Li3 <sup>xli</sup> —Al1—Li2 <sup>xlvii</sup>	124.6 (9)
O1 <sup>xiv</sup> —Li2—Cl2	105.9 (15)	Li2 <sup>xlvii</sup> —Al1—Li2 <sup>xlvii</sup>	82 (2)
Li4 <sup>xv</sup> —Li2—Cl2	53.3 (15)	O1 <sup>xxxvii</sup> —Al1—Li2 <sup>xlvii</sup>	81.3 (9)
Li4 <sup>xvi</sup> —Li2—Cl2	53.3 (15)	O2 <sup>xxxviii</sup> —Al1—Li2 <sup>xlvii</sup>	145.8 (3)
Li3 <sup>xvii</sup> —Li2—Cl2	133.8 (13)	O1 <sup>x</sup> —Al1—Li2 <sup>xlvii</sup>	98.7 (9)
Li3 <sup>xviii</sup> —Li2—Cl2	133.8 (13)	O2 <sup>xxxix</sup> —Al1—Li2 <sup>xlvii</sup>	34.2 (3)
O2 <sup>xi</sup> —Li2—Al1 <sup>xix</sup>	117.76 (6)	Li4 <sup>xliv</sup> —Al1—Li2 <sup>xlvii</sup>	49.5 (9)
O2 <sup>xii</sup> —Li2—Al1 <sup>xix</sup>	62.84 (9)	Li4 <sup>xlv</sup> —Al1—Li2 <sup>xlvii</sup>	130.5 (9)
O1 <sup>xiii</sup> —Li2—Al1 <sup>xix</sup>	29.66 (11)	Li3 <sup>ii</sup> —Al1—Li2 <sup>xlvii</sup>	124.6 (9)
O1 <sup>xiv</sup> —Li2—Al1 <sup>xix</sup>	146.3 (15)	Li3 <sup>xli</sup> —Al1—Li2 <sup>xlvii</sup>	55.4 (9)
Li4 <sup>xv</sup> —Li2—Al1 <sup>xix</sup>	127.3 (13)	Li2 <sup>xlvii</sup> —Al1—Li2 <sup>xlvii</sup>	98 (2)
Li4 <sup>xvi</sup> —Li2—Al1 <sup>xix</sup>	58.3 (7)	Li2 <sup>xlvii</sup> —Al1—Li2 <sup>xlvii</sup>	179.99 (5)
Li3 <sup>xvii</sup> —Li2—Al1 <sup>xix</sup>	56.2 (7)	O1 <sup>xxxvii</sup> —Al1—Li2 <sup>xlix</sup>	143.0 (5)
Li3 <sup>xviii</sup> —Li2—Al1 <sup>xix</sup>	117.5 (15)	O2 <sup>xxxviii</sup> —Al1—Li2 <sup>xlix</sup>	105.1 (9)
Cl2—Li2—Al1 <sup>xix</sup>	93.9 (10)	O1 <sup>x</sup> —Al1—Li2 <sup>xlix</sup>	37.0 (5)
O2 <sup>xi</sup> —Li2—Al1 <sup>xx</sup>	152.45 (6)	O2 <sup>xxxix</sup> —Al1—Li2 <sup>xlix</sup>	74.9 (9)
O2 <sup>xii</sup> —Li2—Al1 <sup>xx</sup>	28.68 (17)	Li4 <sup>xliv</sup> —Al1—Li2 <sup>xlix</sup>	49.5 (9)
O1 <sup>xiii</sup> —Li2—Al1 <sup>xx</sup>	115.2 (7)	Li4 <sup>xlv</sup> —Al1—Li2 <sup>xlix</sup>	130.5 (9)
O1 <sup>xiv</sup> —Li2—Al1 <sup>xx</sup>	62.41 (19)	Li3 <sup>ii</sup> —Al1—Li2 <sup>xlix</sup>	55.4 (9)
Li4 <sup>xv</sup> —Li2—Al1 <sup>xx</sup>	58.3 (7)	Li3 <sup>xli</sup> —Al1—Li2 <sup>xlix</sup>	124.6 (9)
Li4 <sup>xvi</sup> —Li2—Al1 <sup>xx</sup>	127.3 (13)	Li2 <sup>xlvii</sup> —Al1—Li2 <sup>xlix</sup>	180.0 (17)
Li3 <sup>xvii</sup> —Li2—Al1 <sup>xx</sup>	56.2 (7)	Li2 <sup>xlvii</sup> —Al1—Li2 <sup>xlix</sup>	98 (2)
Li3 <sup>xviii</sup> —Li2—Al1 <sup>xx</sup>	117.5 (15)	Li2 <sup>xlvii</sup> —Al1—Li2 <sup>xlix</sup>	82 (2)
Cl2—Li2—Al1 <sup>xx</sup>	93.9 (10)	B1—O1—Al1 <sup>ix</sup>	119.05 (13)
Al1 <sup>xix</sup> —Li2—Al1 <sup>xx</sup>	89.75 (15)	B1—O1—Li1	112.4 (12)
O2 <sup>xi</sup> —Li2—Al1 <sup>xxi</sup>	28.68 (17)	Al1 <sup>ix</sup> —O1—Li1	117.4 (4)
O2 <sup>xii</sup> —Li2—Al1 <sup>xxi</sup>	152.45 (6)	B1—O1—Li2 <sup>i</sup>	122.3 (12)
O1 <sup>xiii</sup> —Li2—Al1 <sup>xxi</sup>	62.41 (19)	Al1 <sup>ix</sup> —O1—Li2 <sup>i</sup>	113.4 (6)
O1 <sup>xiv</sup> —Li2—Al1 <sup>xxi</sup>	115.2 (7)	Li1—O1—Li2 <sup>i</sup>	13 (3)
Li4 <sup>xv</sup> —Li2—Al1 <sup>xxi</sup>	127.3 (13)	B1—O1—Li4 <sup>vii</sup>	123.9 (9)
Li4 <sup>xvi</sup> —Li2—Al1 <sup>xxi</sup>	58.3 (7)	Al1 <sup>ix</sup> —O1—Li4 <sup>vii</sup>	93.12 (8)
Li3 <sup>xvii</sup> —Li2—Al1 <sup>xxi</sup>	117.5 (15)	Li1—O1—Li4 <sup>vii</sup>	85.7 (19)
Li3 <sup>xviii</sup> —Li2—Al1 <sup>xxi</sup>	56.2 (7)	Li2 <sup>i</sup> —O1—Li4 <sup>vii</sup>	73.2 (19)
Cl2—Li2—Al1 <sup>xxi</sup>	93.9 (10)	B1—O1—Li3 <sup>vi</sup>	102.2 (9)
Al1 <sup>xix</sup> —Li2—Al1 <sup>xxi</sup>	89.73 (15)	Al1 <sup>ix</sup> —O1—Li3 <sup>vi</sup>	74.9 (10)
Al1 <sup>xx</sup> —Li2—Al1 <sup>xxi</sup>	172 (2)	Li1—O1—Li3 <sup>vi</sup>	61.3 (10)
O2 <sup>xxii</sup> —Li3—O2 <sup>xxiii</sup>	96.4 (16)	Li2 <sup>i</sup> —O1—Li3 <sup>vi</sup>	69.5 (10)
O2 <sup>xxii</sup> —Li3—O2 <sup>xxiv</sup>	96.4 (16)	Li4 <sup>vii</sup> —O1—Li3 <sup>vi</sup>	131.5 (12)
O2 <sup>xxiii</sup> —Li3—O2 <sup>xxiv</sup>	96.4 (16)	B1—O1—Li3	75.8 (3)
O2 <sup>xxii</sup> —Li3—Cl1	120.6 (12)	Al1 <sup>ix</sup> —O1—Li3	112.35 (10)
O2 <sup>xxiii</sup> —Li3—Cl1	120.6 (12)	Li1—O1—Li3	50.3 (16)
O2 <sup>xxiv</sup> —Li3—Cl1	120.6 (12)	Li2 <sup>i</sup> —O1—Li3	63.2 (15)
O2 <sup>xxii</sup> —Li3—Li1 <sup>vi</sup>	108.9 (5)	Li4 <sup>vii</sup> —O1—Li3	135.3 (9)
O2 <sup>xxiii</sup> —Li3—Li1 <sup>vi</sup>	140.8 (8)	Li3 <sup>vi</sup> —O1—Li3	38.8 (10)
O2 <sup>xxiv</sup> —Li3—Li1 <sup>vi</sup>	52.5 (10)	B2 <sup>i</sup> —O2—Al1 <sup>xxvi</sup>	118.94 (13)

Cl1—Li3—Li1 <sup>vi</sup>	71.3 (15)	B2 <sup>l</sup> —O2—Li2 <sup>l</sup>	113.5 (13)
O2 <sup>xxii</sup> —Li3—Li1 <sup>xxvi</sup>	52.4 (10)	Al1 <sup>xxvi</sup> —O2—Li2 <sup>l</sup>	117.1 (5)
O2 <sup>xxiii</sup> —Li3—Li1 <sup>xxvi</sup>	108.9 (5)	B2 <sup>l</sup> —O2—Li1 <sup>li</sup>	123.2 (11)
O2 <sup>xxiv</sup> —Li3—Li1 <sup>xxvi</sup>	140.8 (8)	Al1 <sup>xxvi</sup> —O2—Li1 <sup>li</sup>	113.0 (5)
Cl1—Li3—Li1 <sup>xxvi</sup>	71.3 (15)	Li2 <sup>l</sup> —O2—Li1 <sup>li</sup>	13 (3)
Li1 <sup>vi</sup> —Li3—Li1 <sup>xxvi</sup>	110.2 (15)	B2 <sup>l</sup> —O2—Li3 <sup>lii</sup>	123.8 (10)
O2 <sup>xxii</sup> —Li3—Li1 <sup>xxv</sup>	140.8 (8)	Al1 <sup>xxvi</sup> —O2—Li3 <sup>lii</sup>	93.19 (8)
O2 <sup>xxiii</sup> —Li3—Li1 <sup>xxv</sup>	52.4 (10)	Li2 <sup>l</sup> —O2—Li3 <sup>lii</sup>	85 (2)
O2 <sup>xxiv</sup> —Li3—Li1 <sup>xxv</sup>	108.9 (5)	Li1 <sup>li</sup> —O2—Li3 <sup>lii</sup>	72.1 (18)
Cl1—Li3—Li1 <sup>xxv</sup>	71.3 (15)	B2 <sup>l</sup> —O2—Li4 <sup>liii</sup>	102.4 (9)
Li1 <sup>vi</sup> —Li3—Li1 <sup>xxv</sup>	110.2 (15)	Al1 <sup>xxvi</sup> —O2—Li4 <sup>liii</sup>	74.7 (10)
Li1 <sup>xxvi</sup> —Li3—Li1 <sup>xxv</sup>	110.2 (15)	Li2 <sup>l</sup> —O2—Li4 <sup>liii</sup>	62.0 (11)
O2 <sup>xxii</sup> —Li3—O1 <sup>xxv</sup>	157 (2)	Li1 <sup>li</sup> —O2—Li4 <sup>liii</sup>	70.2 (10)
O2 <sup>xxiii</sup> —Li3—O1 <sup>xxv</sup>	71.5 (2)	Li3 <sup>lii</sup> —O2—Li4 <sup>liii</sup>	131.4 (12)
O2 <sup>xxiv</sup> —Li3—O1 <sup>xxv</sup>	66.68 (17)	B2 <sup>l</sup> —O2—Li4	82.6 (3)
Cl1—Li3—O1 <sup>xxv</sup>	82.2 (11)	Al1 <sup>xxvi</sup> —O2—Li4	90.33 (9)
Li1 <sup>vi</sup> —Li3—O1 <sup>xxv</sup>	74.0 (4)	Li2 <sup>l</sup> —O2—Li4	64.2 (14)
Li1 <sup>xxvi</sup> —Li3—O1 <sup>xxv</sup>	149 (2)	Li1 <sup>li</sup> —O2—Li4	75.6 (13)
Li1 <sup>xxv</sup> —Li3—O1 <sup>xxv</sup>	44.4 (3)	Li3 <sup>lii</sup> —O2—Li4	146.2 (12)
O2 <sup>xxii</sup> —Li3—O1 <sup>xxvi</sup>	71.5 (2)	Li4 <sup>liii</sup> —O2—Li4	21.0 (10)
O2 <sup>xxiii</sup> —Li3—O1 <sup>xxvi</sup>	66.68 (17)	Li3—Cl1—Li3 <sup>ii</sup>	109.468 (7)
O2 <sup>xxiv</sup> —Li3—O1 <sup>xxvi</sup>	157 (2)	Li3—Cl1—Li3 <sup>v</sup>	109.473 (3)
Cl1—Li3—O1 <sup>xxvi</sup>	82.2 (11)	Li3 <sup>ii</sup> —Cl1—Li3 <sup>v</sup>	109.473 (1)
Li1 <sup>vi</sup> —Li3—O1 <sup>xxvi</sup>	149 (2)	Li3—Cl1—Li3 <sup>vi</sup>	109.473 (1)
Li1 <sup>xxvi</sup> —Li3—O1 <sup>xxvi</sup>	44.4 (3)	Li3 <sup>ii</sup> —Cl1—Li3 <sup>vi</sup>	109.5
Li1 <sup>xxv</sup> —Li3—O1 <sup>xxvi</sup>	73.9 (4)	Li3 <sup>v</sup> —Cl1—Li3 <sup>vi</sup>	109.468 (2)
O1 <sup>xxv</sup> —Li3—O1 <sup>xxvi</sup>	118.2 (5)	Li3—Cl1—Li1	125.266 (1)
O2 <sup>xxii</sup> —Li3—O1 <sup>vi</sup>	66.68 (17)	Li3 <sup>ii</sup> —Cl1—Li1	125.266 (4)
O2 <sup>xxiii</sup> —Li3—O1 <sup>vi</sup>	157 (2)	Li3 <sup>v</sup> —Cl1—Li1	54.734 (1)
O2 <sup>xxiv</sup> —Li3—O1 <sup>vi</sup>	71.5 (2)	Li3 <sup>vi</sup> —Cl1—Li1	54.734 (2)
Cl1—Li3—O1 <sup>vi</sup>	82.2 (11)	Li3—Cl1—Li1 <sup>xxvi</sup>	54.736 (2)
Li1 <sup>vi</sup> —Li3—O1 <sup>vi</sup>	44.4 (3)	Li3 <sup>ii</sup> —Cl1—Li1 <sup>xxvi</sup>	125.264 (3)
Li1 <sup>xxvi</sup> —Li3—O1 <sup>vi</sup>	73.9 (4)	Li3 <sup>v</sup> —Cl1—Li1 <sup>xxvi</sup>	54.736 (2)
Li1 <sup>xxv</sup> —Li3—O1 <sup>vi</sup>	149 (2)	Li3 <sup>vi</sup> —Cl1—Li1 <sup>xxvi</sup>	125.264 (2)
O1 <sup>xxv</sup> —Li3—O1 <sup>vi</sup>	118.2 (5)	Li1—Cl1—Li1 <sup>xxvi</sup>	90.000 (3)
O1 <sup>xxvi</sup> —Li3—O1 <sup>vi</sup>	118.2 (5)	Li3—Cl1—Li1 <sup>ix</sup>	125.264 (5)
O2 <sup>xxii</sup> —Li3—Li2 <sup>xl</sup>	45.2 (8)	Li3 <sup>ii</sup> —Cl1—Li1 <sup>ix</sup>	54.736 (1)
O2 <sup>xxiii</sup> —Li3—Li2 <sup>xl</sup>	105.2 (6)	Li3 <sup>v</sup> —Cl1—Li1 <sup>ix</sup>	54.736 (2)
O2 <sup>xxiv</sup> —Li3—Li2 <sup>xl</sup>	137.0 (11)	Li3 <sup>vi</sup> —Cl1—Li1 <sup>ix</sup>	125.264 (4)
Cl1—Li3—Li2 <sup>xl</sup>	79.1 (13)	Li1—Cl1—Li1 <sup>ix</sup>	90.000 (3)
Li1 <sup>vi</sup> —Li3—Li2 <sup>xl</sup>	113.8 (9)	Li1 <sup>xxvi</sup> —Cl1—Li1 <sup>ix</sup>	90.0
Li1 <sup>xxvi</sup> —Li3—Li2 <sup>xl</sup>	7.8 (17)	Li3—Cl1—Li1 <sup>xxv</sup>	54.736 (2)
Li1 <sup>xxv</sup> —Li3—Li2 <sup>xl</sup>	113.8 (9)	Li3 <sup>ii</sup> —Cl1—Li1 <sup>xxv</sup>	125.264 (1)
O1 <sup>xxv</sup> —Li3—Li2 <sup>xl</sup>	155.6 (18)	Li3 <sup>v</sup> —Cl1—Li1 <sup>xxv</sup>	125.264 (2)
O1 <sup>xxvi</sup> —Li3—Li2 <sup>xl</sup>	43.86 (15)	Li3 <sup>vi</sup> —Cl1—Li1 <sup>xxv</sup>	54.736 (2)
O1 <sup>vi</sup> —Li3—Li2 <sup>xl</sup>	74.5 (3)	Li1—Cl1—Li1 <sup>xxv</sup>	90.000 (3)
O2 <sup>xxii</sup> —Li3—Li2 <sup>xli</sup>	105.2 (6)	Li1 <sup>xxvi</sup> —Cl1—Li1 <sup>xxv</sup>	90.0
O2 <sup>xxiii</sup> —Li3—Li2 <sup>xli</sup>	137.0 (11)	Li1 <sup>ix</sup> —Cl1—Li1 <sup>xxv</sup>	180.0

O2 <sup>xxiv</sup> —Li3—Li2 <sup>xli</sup>	45.2 (8)	Li3—Cl1—Li1 <sup>x</sup>	125.264 (1)
Cl1—Li3—Li2 <sup>xli</sup>	79.1 (13)	Li3 <sup>ii</sup> —Cl1—Li1 <sup>x</sup>	54.736 (1)
Li1 <sup>vi</sup> —Li3—Li2 <sup>xli</sup>	7.8 (17)	Li3 <sup>v</sup> —Cl1—Li1 <sup>x</sup>	125.264 (4)
Li1 <sup>xxvi</sup> —Li3—Li2 <sup>xli</sup>	113.8 (9)	Li3 <sup>vi</sup> —Cl1—Li1 <sup>x</sup>	54.736 (1)
Li1 <sup>xxv</sup> —Li3—Li2 <sup>xli</sup>	113.8 (9)	Li1—Cl1—Li1 <sup>x</sup>	90.000 (4)
O1 <sup>xxv</sup> —Li3—Li2 <sup>xli</sup>	74.5 (3)	Li1 <sup>xxvi</sup> —Cl1—Li1 <sup>x</sup>	180.0
O1 <sup>xxvi</sup> —Li3—Li2 <sup>xli</sup>	155.6 (18)	Li1 <sup>ix</sup> —Cl1—Li1 <sup>x</sup>	90.000 (2)
O1 <sup>vi</sup> —Li3—Li2 <sup>xli</sup>	43.86 (15)	Li1 <sup>xxv</sup> —Cl1—Li1 <sup>x</sup>	90.0
Li2 <sup>xl</sup> —Li3—Li2 <sup>xli</sup>	116.5 (8)	Li3—Cl1—Li1 <sup>vi</sup>	54.734 (2)
O1 <sup>xxvii</sup> —Li4—O1 <sup>xxviii</sup>	96.6 (15)	Li3 <sup>ii</sup> —Cl1—Li1 <sup>vi</sup>	54.734 (3)
O1 <sup>xxvii</sup> —Li4—O1 <sup>xxix</sup>	96.6 (15)	Li3 <sup>v</sup> —Cl1—Li1 <sup>vi</sup>	125.266 (2)
O1 <sup>xxviii</sup> —Li4—O1 <sup>xxix</sup>	96.6 (15)	Li3 <sup>vi</sup> —Cl1—Li1 <sup>vi</sup>	125.266 (1)
O1 <sup>xxvii</sup> —Li4—Cl2	120.5 (12)	Li1—Cl1—Li1 <sup>vi</sup>	180.0
O1 <sup>xxviii</sup> —Li4—Cl2	120.5 (12)	Li1 <sup>xxvi</sup> —Cl1—Li1 <sup>vi</sup>	90.000 (5)
O1 <sup>xxix</sup> —Li4—Cl2	120.5 (12)	Li1 <sup>ix</sup> —Cl1—Li1 <sup>vi</sup>	90.0
O1 <sup>xxvii</sup> —Li4—Li2 <sup>xvi</sup>	140.6 (8)	Li1 <sup>xxv</sup> —Cl1—Li1 <sup>vi</sup>	90.000 (4)
O1 <sup>xxviii</sup> —Li4—Li2 <sup>xvi</sup>	51.7 (10)	Li1 <sup>x</sup> —Cl1—Li1 <sup>vi</sup>	90.000 (1)
O1 <sup>xxix</sup> —Li4—Li2 <sup>xvi</sup>	108.6 (5)	Li4—Cl2—Li4 <sup>liv</sup>	109.474 (11)
Cl2—Li4—Li2 <sup>xvi</sup>	71.9 (15)	Li4—Cl2—Li4 <sup>xvi</sup>	109.470 (2)
O1 <sup>xxvii</sup> —Li4—Li2 <sup>xlii</sup>	108.6 (5)	Li4 <sup>liv</sup> —Cl2—Li4 <sup>xvi</sup>	109.470 (3)
O1 <sup>xxviii</sup> —Li4—Li2 <sup>xlii</sup>	140.6 (8)	Li4—Cl2—Li4 <sup>xv</sup>	109.470 (6)
O1 <sup>xxix</sup> —Li4—Li2 <sup>xlii</sup>	51.7 (10)	Li4 <sup>liv</sup> —Cl2—Li4 <sup>xv</sup>	109.5
Cl2—Li4—Li2 <sup>xlii</sup>	71.9 (15)	Li4 <sup>xvi</sup> —Cl2—Li4 <sup>xv</sup>	109.474 (7)
Li2 <sup>xvi</sup> —Li4—Li2 <sup>xlii</sup>	110.8 (14)	Li4—Cl2—Li2	125.263 (4)
O1 <sup>xxvii</sup> —Li4—Li2 <sup>xliii</sup>	51.7 (10)	Li4 <sup>liv</sup> —Cl2—Li2	125.263 (12)
O1 <sup>xxviii</sup> —Li4—Li2 <sup>xliii</sup>	108.6 (5)	Li4 <sup>xvi</sup> —Cl2—Li2	54.737 (7)
O1 <sup>xxix</sup> —Li4—Li2 <sup>xliii</sup>	140.6 (8)	Li4 <sup>xv</sup> —Cl2—Li2	54.737 (6)
Cl2—Li4—Li2 <sup>xliii</sup>	71.9 (15)		

Symmetry codes: (i)  $-x+1/2, -y+1, z-1/2$ ; (ii)  $x, -y+1/2, -z+1/2$ ; (iii)  $-x, -y+1/2, z-1/2$ ; (iv)  $-x, y, -z+1$ ; (v)  $-x+1/2, y, -z+1/2$ ; (vi)  $-x+1/2, -y+1/2, z$ ; (vii)  $x-1, -y+1, -z+1$ ; (viii)  $x-1, y-1/2, z-1/2$ ; (ix)  $y, z, x$ ; (x)  $z, x, y$ ; (xi)  $x+1/2, -y+1, -z+3/2$ ; (xii)  $x+1/2, y+1/2, z$ ; (xiii)  $-x+1/2, y+1/2, -z+1$ ; (xiv)  $-x+1/2, -y+1, z+1/2$ ; (xv)  $-x+3/2, y, -z+3/2$ ; (xvi)  $-x+3/2, -y+3/2, z$ ; (xvii)  $x, -y+1, -z+1$ ; (xviii)  $x, y+1/2, z+1/2$ ; (xix)  $y+1/2, z+1/2, -x+1$ ; (xx)  $z+1/2, -x+1, -y+1/2$ ; (xxi)  $z+1/2, x+1/2, y+1$ ; (xxii)  $-z+1, x+1/2, -y+1/2$ ; (xxiii)  $-y+1/2, -z+1, x+1/2$ ; (xxiv)  $x+1/2, -y+1/2, -z+1$ ; (xxv)  $-y+1/2, z, -x+1/2$ ; (xxvi)  $z, -x+1/2, -y+1/2$ ; (xxvii)  $-z+1, x+1, -y+1$ ; (xxviii)  $x+1, -y+1, -z+1$ ; (xxix)  $-y+1, -z+1, x+1$ ; (xxx)  $-x+1, y+1/2, -z+3/2$ ; (xxxi)  $y+1/2, -z+3/2, -x+1$ ; (xxxii)  $-z+3/2, -x+1, y+1/2$ ; (xxxiii)  $-y+1, z+1, -x+1$ ; (xxxiv)  $-x+1, -y+1, z+1$ ; (xxxv)  $y+1/2, z, x+1/2$ ; (xxxvi)  $z, x+1/2, y+1/2$ ; (xxxvii)  $z, -x, -y$ ; (xxxviii)  $-y+1/2, z-1/2, -x$ ; (xxxix)  $-y+1/2, -z+1/2, x$ ; (xl)  $z-1/2, x, y-1/2$ ; (xli)  $x, y-1/2, z-1/2$ ; (xlii)  $-y+3/2, z, -x+3/2$ ; (xliii)  $z, -x+3/2, -y+3/2$ ; (xliv)  $-x+1, y-1, -z+1$ ; (xlv)  $-x+1, -y+1, z-1$ ; (xlvi)  $z-1/2, x-1/2, y-1$ ; (xlvii)  $-y+1, z-1/2, -x+1/2$ ; (xlviii)  $y-1/2, z-1, x-1/2$ ; (xl ix)  $z-1/2, -x+1/2, -y+1$ ; (l)  $x-1/2, y-1/2, z$ ; (li)  $x, -y+1/2, z+1/2$ ; (lii)  $x-1/2, -y+1/2, -z+1$ ; (liii)  $-x+1, y-1/2, -z+3/2$ ; (liv)  $x, -y+3/2, -z+3/2$ .

### Sodium aluminoboracite (kjh230804yoshinoN4\_0m\_a)

#### Crystal data

Na<sub>3.92</sub>B<sub>4</sub>Al<sub>3</sub>O<sub>12</sub>Cl<sub>0.92</sub>

$M_r = 438.91$

Cubic,  $F\bar{4}3c$

$a = 13.5904 (1) \text{ \AA}$

$V = 2510.13 (6) \text{ \AA}^3$

$Z = 8$

$F(000) = 1728$

$D_x = 2.323 \text{ Mg m}^{-3}$

Cu  $K\alpha$  radiation,  $\lambda = 1.54178 \text{ \AA}$

Cell parameters from 3423 reflections

$\theta = 4.6\text{--}74.3^\circ$

$\mu = 6.78 \text{ mm}^{-1}$

$T = 294 \text{ K}$

Plate, colorless

$0.08 \times 0.06 \times 0.04 \text{ mm}$

*Data collection*

Bruker D8 goniometer  
diffractometer  
Radiation source: sealed tube  
Detector resolution: 7.3910 pixels mm<sup>-1</sup>  
 $\omega$  scans  
Absorption correction: multi-scan  
(SADABS; Krause *et al.*, 2015)  
 $T_{\min} = 0.66$ ,  $T_{\max} = 0.75$

4504 measured reflections  
218 independent reflections  
216 reflections with  $I > 2\sigma(I)$   
 $R_{\text{int}} = 0.027$   
 $\theta_{\max} = 74.3^\circ$ ,  $\theta_{\min} = 6.5^\circ$   
 $h = -16 \rightarrow 16$   
 $k = -16 \rightarrow 16$   
 $l = -16 \rightarrow 14$

*Refinement*

Refinement on  $F^2$   
Least-squares matrix: full  
 $R[F^2 > 2\sigma(F^2)] = 0.022$   
 $wR(F^2) = 0.055$   
 $S = 1.20$   
218 reflections  
27 parameters  
1 restraint

$w = 1/[\sigma^2(F_o^2) + (0.0311P)^2 + 4.0293P]$   
where  $P = (F_o^2 + 2F_c^2)/3$   
 $(\Delta/\sigma)_{\max} < 0.001$   
 $\Delta\rho_{\max} = 0.15 \text{ e } \text{\AA}^{-3}$   
 $\Delta\rho_{\min} = -0.45 \text{ e } \text{\AA}^{-3}$   
Absolute structure: Flack  $x$  determined using 89  
quotients  $[(I^+)-(I^-)]/[(I^+)+(I^-)]$  (Parsons *et al.*,  
2013)  
Absolute structure parameter: 0.01 (3)

*Special details*

**Geometry.** All esds (except the esd in the dihedral angle between two l.s. planes) are estimated using the full covariance matrix. The cell esds are taken into account individually in the estimation of esds in distances, angles and torsion angles; correlations between esds in cell parameters are only used when they are defined by crystal symmetry. An approximate (isotropic) treatment of cell esds is used for estimating esds involving l.s. planes.

*Fractional atomic coordinates and isotropic or equivalent isotropic displacement parameters ( $\text{\AA}^2$ )*

	<i>x</i>	<i>y</i>	<i>z</i>	$U_{\text{iso}}^*/U_{\text{eq}}$	Occ. (<1)
Na1	0.0340 (3)	0.250000	0.250000	0.0422 (14)	0.499 (4)
Na2	0.3606 (4)	0.3606 (4)	0.3606 (4)	0.017 (2)	0.231 (6)
B1	0.1039 (2)	0.1039 (2)	0.1039 (2)	0.0143 (9)	
A11	0.250000	0.000000	0.000000	0.0095 (4)	
O1	0.03513 (13)	0.10047 (12)	0.17745 (12)	0.0176 (5)	
C11	0.250000	0.250000	0.250000	0.0350 (9)	0.920 (10)

*Atomic displacement parameters ( $\text{\AA}^2$ )*

	$U^{11}$	$U^{22}$	$U^{33}$	$U^{12}$	$U^{13}$	$U^{23}$
Na1	0.096 (4)	0.0127 (18)	0.0182 (19)	0.000	0.000	-0.0066 (17)
Na2	0.017 (2)	0.017 (2)	0.017 (2)	-0.0006 (18)	-0.0006 (18)	-0.0006 (18)
B1	0.0143 (9)	0.0143 (9)	0.0143 (9)	0.0015 (12)	0.0015 (12)	0.0015 (12)
A11	0.0096 (6)	0.0095 (5)	0.0095 (5)	0.000	0.000	0.000
O1	0.0189 (9)	0.0149 (8)	0.0188 (8)	0.0060 (6)	0.0102 (8)	0.0061 (7)
C11	0.0350 (9)	0.0350 (9)	0.0350 (9)	0.000	0.000	0.000

*Geometric parameters ( $\text{\AA}$ ,  $^\circ$ )*

Na1—Na1 <sup>i</sup>	0.923 (8)	Na2—O1 <sup>x</sup>	2.484 (5)
Na1—O1 <sup>ii</sup>	2.2588 (16)	Na2—Cl1	2.605 (9)

Na1—O1	2.2588 (16)	Na2—O1 <sup>xi</sup>	2.913 (2)
Na1—O1 <sup>iii</sup>	2.446 (2)	Na2—O1 <sup>v</sup>	2.913 (2)
Na1—O1 <sup>i</sup>	2.446 (2)	Na2—O1 <sup>xii</sup>	2.913 (2)
Na1—Na2 <sup>iv</sup>	2.564 (4)	Na2—Al1 <sup>xiii</sup>	3.072 (4)
Na1—Na2 <sup>v</sup>	2.564 (4)	Na2—Al1 <sup>xiv</sup>	3.072 (4)
Na1—Cl1	2.936 (4)	B1—O1 <sup>xv</sup>	1.3692 (15)
Na1—B1 <sup>ii</sup>	2.965 (3)	B1—O1 <sup>xvi</sup>	1.3692 (15)
Na1—B1	2.965 (3)	B1—O1	1.3693 (15)
Na1—Na2 <sup>vi</sup>	3.174 (3)	Al1—O1 <sup>xvii</sup>	1.7506 (16)
Na1—Na2 <sup>vii</sup>	3.174 (3)	Al1—O1 <sup>xviii</sup>	1.7506 (16)
Na2—O1 <sup>viii</sup>	2.484 (5)	Al1—O1 <sup>xvi</sup>	1.7506 (16)
Na2—O1 <sup>ix</sup>	2.484 (5)	Al1—O1 <sup>xix</sup>	1.7506 (16)
Na1 <sup>i</sup> —Na1—O1 <sup>ii</sup>	90.40 (11)	O1—B1—Na1	46.75 (14)
Na1 <sup>i</sup> —Na1—O1	90.40 (11)	O1 <sup>xv</sup> —B1—Na1 <sup>xv</sup>	46.75 (14)
O1 <sup>ii</sup> —Na1—O1	179.2 (2)	O1 <sup>xvi</sup> —B1—Na1 <sup>xv</sup>	87.53 (15)
Na1 <sup>i</sup> —Na1—O1 <sup>iii</sup>	67.42 (9)	O1—B1—Na1 <sup>xv</sup>	135.5 (3)
O1 <sup>ii</sup> —Na1—O1 <sup>iii</sup>	90.15 (4)	Na1—B1—Na1 <sup>xv</sup>	88.88 (15)
O1—Na1—O1 <sup>iii</sup>	90.15 (4)	O1 <sup>xv</sup> —B1—Na1 <sup>xvi</sup>	135.5 (3)
Na1 <sup>i</sup> —Na1—O1 <sup>i</sup>	67.42 (9)	O1 <sup>xvi</sup> —B1—Na1 <sup>xvi</sup>	46.75 (14)
O1 <sup>ii</sup> —Na1—O1 <sup>i</sup>	90.15 (4)	O1—B1—Na1 <sup>xvi</sup>	87.53 (15)
O1—Na1—O1 <sup>i</sup>	90.15 (4)	Na1—B1—Na1 <sup>xvi</sup>	88.88 (15)
O1 <sup>iii</sup> —Na1—O1 <sup>i</sup>	134.84 (18)	Na1 <sup>xv</sup> —B1—Na1 <sup>xvi</sup>	88.88 (15)
Na1 <sup>i</sup> —Na1—Na2 <sup>iv</sup>	124.0 (2)	O1 <sup>xvii</sup> —Al1—O1 <sup>xviii</sup>	108.49 (6)
O1 <sup>ii</sup> —Na1—Na2 <sup>iv</sup>	74.01 (7)	O1 <sup>xvii</sup> —Al1—O1 <sup>xvi</sup>	111.44 (11)
O1—Na1—Na2 <sup>iv</sup>	105.53 (9)	O1 <sup>xviii</sup> —Al1—O1 <sup>xvi</sup>	108.49 (6)
O1 <sup>iii</sup> —Na1—Na2 <sup>iv</sup>	59.39 (18)	O1 <sup>xvii</sup> —Al1—O1 <sup>xix</sup>	108.49 (6)
O1 <sup>i</sup> —Na1—Na2 <sup>iv</sup>	159.73 (13)	O1 <sup>xviii</sup> —Al1—O1 <sup>xix</sup>	111.44 (11)
Na1 <sup>i</sup> —Na1—Na2 <sup>v</sup>	124.0 (2)	O1 <sup>xvi</sup> —Al1—O1 <sup>xix</sup>	108.49 (6)
O1 <sup>ii</sup> —Na1—Na2 <sup>v</sup>	105.53 (9)	O1 <sup>xvii</sup> —Al1—Na2 <sup>ii</sup>	157.64 (7)
O1—Na1—Na2 <sup>v</sup>	74.01 (7)	O1 <sup>xviii</sup> —Al1—Na2 <sup>ii</sup>	53.95 (9)
O1 <sup>iii</sup> —Na1—Na2 <sup>v</sup>	159.73 (13)	O1 <sup>xvi</sup> —Al1—Na2 <sup>ii</sup>	68.08 (15)
O1 <sup>i</sup> —Na1—Na2 <sup>v</sup>	59.39 (18)	O1 <sup>xix</sup> —Al1—Na2 <sup>ii</sup>	92.12 (11)
Na2 <sup>iv</sup> —Na1—Na2 <sup>v</sup>	112.1 (4)	O1 <sup>xvii</sup> —Al1—Na2 <sup>xx</sup>	68.08 (15)
Na1 <sup>i</sup> —Na1—Cl1	180.0	O1 <sup>xviii</sup> —Al1—Na2 <sup>xx</sup>	92.12 (11)
O1 <sup>ii</sup> —Na1—Cl1	89.60 (11)	O1 <sup>xvi</sup> —Al1—Na2 <sup>xx</sup>	157.64 (7)
O1—Na1—Cl1	89.60 (11)	O1 <sup>xix</sup> —Al1—Na2 <sup>xx</sup>	53.95 (9)
O1 <sup>iii</sup> —Na1—Cl1	112.58 (9)	Na2 <sup>ii</sup> —Al1—Na2 <sup>xx</sup>	121.4 (3)
O1 <sup>i</sup> —Na1—Cl1	112.58 (9)	O1 <sup>xvii</sup> —Al1—Na2 <sup>xxi</sup>	92.12 (11)
Na2 <sup>iv</sup> —Na1—Cl1	56.0 (2)	O1 <sup>xviii</sup> —Al1—Na2 <sup>xxi</sup>	157.64 (7)
Na2 <sup>v</sup> —Na1—Cl1	56.0 (2)	O1 <sup>xvi</sup> —Al1—Na2 <sup>xxi</sup>	53.95 (9)
Na1 <sup>i</sup> —Na1—B1 <sup>ii</sup>	108.69 (11)	O1 <sup>xix</sup> —Al1—Na2 <sup>xxi</sup>	68.08 (15)
O1 <sup>ii</sup> —Na1—B1 <sup>ii</sup>	26.20 (7)	Na2 <sup>ii</sup> —Al1—Na2 <sup>xxi</sup>	103.87 (13)
O1—Na1—B1 <sup>ii</sup>	153.23 (14)	Na2 <sup>xx</sup> —Al1—Na2 <sup>xxi</sup>	103.87 (13)
O1 <sup>iii</sup> —Na1—B1 <sup>ii</sup>	114.17 (5)	O1 <sup>xvii</sup> —Al1—Na2 <sup>xxii</sup>	53.95 (9)
O1 <sup>i</sup> —Na1—B1 <sup>ii</sup>	80.59 (6)	O1 <sup>xviii</sup> —Al1—Na2 <sup>xxii</sup>	68.08 (15)
Na2 <sup>iv</sup> —Na1—B1 <sup>ii</sup>	79.69 (9)	O1 <sup>xvi</sup> —Al1—Na2 <sup>xxii</sup>	92.12 (11)
Na2 <sup>v</sup> —Na1—B1 <sup>ii</sup>	79.69 (9)	O1 <sup>xix</sup> —Al1—Na2 <sup>xxii</sup>	157.64 (7)

Cl1—Na1—B1 <sup>ii</sup>	71.31 (11)	Na2 <sup>ii</sup> —Al1—Na2 <sup>xxii</sup>	103.87 (13)
Na1 <sup>i</sup> —Na1—B1	108.68 (11)	Na2 <sup>xx</sup> —Al1—Na2 <sup>xxii</sup>	103.87 (13)
O1 <sup>ii</sup> —Na1—B1	153.23 (14)	Na2 <sup>xxi</sup> —Al1—Na2 <sup>xxii</sup>	121.4 (3)
O1—Na1—B1	26.20 (7)	O1 <sup>xvii</sup> —Al1—Na1 <sup>xxiii</sup>	67.96 (7)
O1 <sup>iii</sup> —Na1—B1	80.59 (6)	O1 <sup>xviii</sup> —Al1—Na1 <sup>xxiii</sup>	137.41 (6)
O1 <sup>i</sup> —Na1—B1	114.17 (5)	O1 <sup>xvi</sup> —Al1—Na1 <sup>xxiii</sup>	112.04 (7)
Na2 <sup>iv</sup> —Na1—B1	79.69 (9)	O1 <sup>xix</sup> —Al1—Na1 <sup>xxiii</sup>	42.59 (6)
Na2 <sup>v</sup> —Na1—B1	79.69 (9)	Na2 <sup>ii</sup> —Al1—Na1 <sup>xxiii</sup>	133.95 (9)
Cl1—Na1—B1	71.32 (11)	Na2 <sup>xx</sup> —Al1—Na1 <sup>xxiii</sup>	46.05 (9)
B1 <sup>ii</sup> —Na1—B1	142.6 (2)	Na2 <sup>xxi</sup> —Al1—Na1 <sup>xxiii</sup>	58.13 (7)
Na1 <sup>i</sup> —Na1—Na2 <sup>vi</sup>	42.07 (17)	Na2 <sup>xxii</sup> —Al1—Na1 <sup>xxiii</sup>	121.87 (7)
O1 <sup>ii</sup> —Na1—Na2 <sup>vi</sup>	129.7 (2)	O1 <sup>xvii</sup> —Al1—Na1 <sup>xvii</sup>	35.94 (5)
O1—Na1—Na2 <sup>vi</sup>	51.10 (16)	O1 <sup>xviii</sup> —Al1—Na1 <sup>xvii</sup>	80.49 (8)
O1 <sup>iii</sup> —Na1—Na2 <sup>vi</sup>	60.81 (7)	O1 <sup>xvi</sup> —Al1—Na1 <sup>xvii</sup>	144.06 (5)
O1 <sup>i</sup> —Na1—Na2 <sup>vi</sup>	85.28 (12)	O1 <sup>xix</sup> —Al1—Na1 <sup>xvii</sup>	99.51 (8)
Na2 <sup>iv</sup> —Na1—Na2 <sup>vi</sup>	114.50 (19)	Na2 <sup>ii</sup> —Al1—Na1 <sup>xvii</sup>	133.95 (9)
Na2 <sup>v</sup> —Na1—Na2 <sup>vi</sup>	114.50 (19)	Na2 <sup>xx</sup> —Al1—Na1 <sup>xvii</sup>	46.05 (9)
Cl1—Na1—Na2 <sup>vi</sup>	137.93 (17)	Na2 <sup>xxi</sup> —Al1—Na1 <sup>xvii</sup>	121.87 (7)
B1 <sup>ii</sup> —Na1—Na2 <sup>vi</sup>	150.8 (2)	Na2 <sup>xxii</sup> —Al1—Na1 <sup>xvii</sup>	58.13 (7)
B1—Na1—Na2 <sup>vi</sup>	66.6 (2)	Na1 <sup>xxiii</sup> —Al1—Na1 <sup>xvii</sup>	74.52 (12)
Na1 <sup>i</sup> —Na1—Na2 <sup>vii</sup>	42.07 (17)	O1 <sup>xvii</sup> —Al1—Na1 <sup>xvi</sup>	144.06 (5)
O1 <sup>ii</sup> —Na1—Na2 <sup>vii</sup>	51.10 (16)	O1 <sup>xviii</sup> —Al1—Na1 <sup>xvi</sup>	99.51 (8)
O1—Na1—Na2 <sup>vii</sup>	129.7 (2)	O1 <sup>xvi</sup> —Al1—Na1 <sup>xvi</sup>	35.94 (5)
O1 <sup>iii</sup> —Na1—Na2 <sup>vii</sup>	85.28 (12)	O1 <sup>xix</sup> —Al1—Na1 <sup>xvi</sup>	80.49 (8)
O1 <sup>i</sup> —Na1—Na2 <sup>vii</sup>	60.81 (7)	Na2 <sup>ii</sup> —Al1—Na1 <sup>xvi</sup>	46.05 (9)
Na2 <sup>iv</sup> —Na1—Na2 <sup>vii</sup>	114.50 (19)	Na2 <sup>xx</sup> —Al1—Na1 <sup>xvi</sup>	133.95 (9)
Na2 <sup>v</sup> —Na1—Na2 <sup>vii</sup>	114.50 (19)	Na2 <sup>xxi</sup> —Al1—Na1 <sup>xvi</sup>	58.13 (7)
Cl1—Na1—Na2 <sup>vii</sup>	137.93 (17)	Na2 <sup>xxii</sup> —Al1—Na1 <sup>xvi</sup>	121.87 (7)
B1 <sup>ii</sup> —Na1—Na2 <sup>vii</sup>	66.6 (2)	Na1 <sup>xxiii</sup> —Al1—Na1 <sup>xvi</sup>	105.48 (12)
B1—Na1—Na2 <sup>vii</sup>	150.8 (2)	Na1 <sup>xvii</sup> —Al1—Na1 <sup>xvi</sup>	180.00 (12)
Na2 <sup>vi</sup> —Na1—Na2 <sup>vii</sup>	84.1 (3)	O1 <sup>xvii</sup> —Al1—Na1 <sup>xv</sup>	112.04 (7)
O1 <sup>viii</sup> —Na2—O1 <sup>ix</sup>	92.3 (2)	O1 <sup>xviii</sup> —Al1—Na1 <sup>xv</sup>	42.59 (6)
O1 <sup>viii</sup> —Na2—O1 <sup>x</sup>	92.3 (2)	O1 <sup>xvi</sup> —Al1—Na1 <sup>xv</sup>	67.96 (7)
O1 <sup>ix</sup> —Na2—O1 <sup>x</sup>	92.3 (2)	O1 <sup>xix</sup> —Al1—Na1 <sup>xv</sup>	137.41 (6)
O1 <sup>viii</sup> —Na2—Na1 <sup>xi</sup>	108.59 (7)	Na2 <sup>ii</sup> —Al1—Na1 <sup>xv</sup>	46.05 (9)
O1 <sup>ix</sup> —Na2—Na1 <sup>xi</sup>	143.23 (13)	Na2 <sup>xx</sup> —Al1—Na1 <sup>xv</sup>	133.95 (9)
O1 <sup>x</sup> —Na2—Na1 <sup>xi</sup>	57.95 (8)	Na2 <sup>xxi</sup> —Al1—Na1 <sup>xv</sup>	121.87 (7)
O1 <sup>viii</sup> —Na2—Na1 <sup>xii</sup>	57.95 (8)	Na2 <sup>xxii</sup> —Al1—Na1 <sup>xv</sup>	58.13 (7)
O1 <sup>ix</sup> —Na2—Na1 <sup>xii</sup>	108.59 (7)	Na1 <sup>xxiii</sup> —Al1—Na1 <sup>xv</sup>	180.0
O1 <sup>x</sup> —Na2—Na1 <sup>xii</sup>	143.23 (13)	Na1 <sup>xvii</sup> —Al1—Na1 <sup>xv</sup>	105.48 (12)
Na1 <sup>xi</sup> —Na2—Na1 <sup>xii</sup>	108.1 (2)	Na1 <sup>xvi</sup> —Al1—Na1 <sup>xv</sup>	74.52 (12)
O1 <sup>viii</sup> —Na2—Na1 <sup>v</sup>	143.23 (13)	B1—O1—Al1 <sup>xv</sup>	128.59 (12)
O1 <sup>ix</sup> —Na2—Na1 <sup>v</sup>	57.95 (8)	B1—O1—Na1	107.1 (2)
O1 <sup>x</sup> —Na2—Na1 <sup>v</sup>	108.59 (7)	Al1 <sup>xv</sup> —O1—Na1	117.00 (8)
Na1 <sup>xi</sup> —Na2—Na1 <sup>v</sup>	108.1 (2)	B1—O1—Na1 <sup>i</sup>	121.89 (16)
Na1 <sup>xii</sup> —Na2—Na1 <sup>v</sup>	108.1 (2)	Al1 <sup>xv</sup> —O1—Na1 <sup>i</sup>	108.44 (8)
O1 <sup>viii</sup> —Na2—Cl1	123.62 (17)	Na1—O1—Na1 <sup>i</sup>	22.18 (18)
O1 <sup>ix</sup> —Na2—Cl1	123.62 (17)	B1—O1—Na2 <sup>vi</sup>	119.5 (2)

O1 <sup>x</sup> —Na2—Cl1	123.62 (17)	Al1 <sup>xv</sup> —O1—Na2 <sup>vi</sup>	91.32 (7)
Na1 <sup>xi</sup> —Na2—Cl1	69.2 (2)	Na1—O1—Na2 <sup>vi</sup>	83.85 (18)
Na1 <sup>xii</sup> —Na2—Cl1	69.2 (2)	Na1 <sup>i</sup> —O1—Na2 <sup>vi</sup>	62.66 (18)
Na1 <sup>v</sup> —Na2—Cl1	69.2 (2)	B1—O1—Na2 <sup>v</sup>	106.6 (3)
O1 <sup>viii</sup> —Na2—O1 <sup>xi</sup>	62.95 (7)	Al1 <sup>xv</sup> —O1—Na2 <sup>v</sup>	78.04 (18)
O1 <sup>ix</sup> —Na2—O1 <sup>xi</sup>	151.5 (3)	Na1—O1—Na2 <sup>v</sup>	57.80 (10)
O1 <sup>x</sup> —Na2—O1 <sup>xi</sup>	75.84 (7)	Na1 <sup>i</sup> —O1—Na2 <sup>v</sup>	72.03 (7)
Na1 <sup>xi</sup> —Na2—O1 <sup>xi</sup>	48.20 (5)	Na2 <sup>vi</sup> —O1—Na2 <sup>v</sup>	127.14 (10)
Na1 <sup>xii</sup> —Na2—O1 <sup>xi</sup>	71.49 (6)	Na2 <sup>ii</sup> —Cl1—Na2 <sup>iv</sup>	109.5
Na1 <sup>v</sup> —Na2—O1 <sup>xi</sup>	150.4 (3)	Na2 <sup>ii</sup> —Cl1—Na2 <sup>v</sup>	109.5
Cl1—Na2—O1 <sup>xi</sup>	83.80 (18)	Na2 <sup>iv</sup> —Cl1—Na2 <sup>v</sup>	109.5
O1 <sup>viii</sup> —Na2—O1 <sup>v</sup>	151.5 (3)	Na2 <sup>ii</sup> —Cl1—Na2	109.471 (1)
O1 <sup>ix</sup> —Na2—O1 <sup>v</sup>	75.84 (7)	Na2 <sup>iv</sup> —Cl1—Na2	109.471 (1)
O1 <sup>x</sup> —Na2—O1 <sup>v</sup>	62.95 (7)	Na2 <sup>v</sup> —Cl1—Na2	109.5
Na1 <sup>xi</sup> —Na2—O1 <sup>v</sup>	71.49 (6)	Na2 <sup>ii</sup> —Cl1—Na1	125.3
Na1 <sup>xii</sup> —Na2—O1 <sup>v</sup>	150.4 (3)	Na2 <sup>iv</sup> —Cl1—Na1	54.7
Na1 <sup>v</sup> —Na2—O1 <sup>v</sup>	48.20 (5)	Na2 <sup>v</sup> —Cl1—Na1	54.7
Cl1—Na2—O1 <sup>v</sup>	83.80 (18)	Na2—Cl1—Na1	125.3
O1 <sup>xi</sup> —Na2—O1 <sup>v</sup>	118.85 (6)	Na2 <sup>ii</sup> —Cl1—Na1 <sup>xi</sup>	125.3
O1 <sup>viii</sup> —Na2—O1 <sup>xii</sup>	75.84 (7)	Na2 <sup>iv</sup> —Cl1—Na1 <sup>xi</sup>	54.7
O1 <sup>ix</sup> —Na2—O1 <sup>xii</sup>	62.95 (7)	Na2 <sup>v</sup> —Cl1—Na1 <sup>xi</sup>	125.3
O1 <sup>x</sup> —Na2—O1 <sup>xii</sup>	151.5 (3)	Na2—Cl1—Na1 <sup>xi</sup>	54.7
Na1 <sup>xi</sup> —Na2—O1 <sup>xii</sup>	150.4 (3)	Na1—Cl1—Na1 <sup>xi</sup>	90.0
Na1 <sup>xii</sup> —Na2—O1 <sup>xii</sup>	48.20 (5)	Na2 <sup>ii</sup> —Cl1—Na1 <sup>xv</sup>	54.7
Na1 <sup>v</sup> —Na2—O1 <sup>xii</sup>	71.49 (6)	Na2 <sup>iv</sup> —Cl1—Na1 <sup>xv</sup>	54.7
Cl1—Na2—O1 <sup>xii</sup>	83.80 (18)	Na2 <sup>v</sup> —Cl1—Na1 <sup>xv</sup>	125.3
O1 <sup>xi</sup> —Na2—O1 <sup>xii</sup>	118.85 (6)	Na2—Cl1—Na1 <sup>xv</sup>	125.3
O1 <sup>v</sup> —Na2—O1 <sup>xii</sup>	118.85 (6)	Na1—Cl1—Na1 <sup>xv</sup>	90.0
O1 <sup>viii</sup> —Na2—Al1 <sup>xiii</sup>	117.7 (3)	Na1 <sup>xi</sup> —Cl1—Na1 <sup>xv</sup>	90.0
O1 <sup>ix</sup> —Na2—Al1 <sup>xiii</sup>	69.15 (13)	Na2 <sup>ii</sup> —Cl1—Na1 <sup>xii</sup>	125.3
O1 <sup>x</sup> —Na2—Al1 <sup>xiii</sup>	34.73 (6)	Na2 <sup>iv</sup> —Cl1—Na1 <sup>xii</sup>	125.3
Na1 <sup>xi</sup> —Na2—Al1 <sup>xiii</sup>	74.34 (5)	Na2 <sup>v</sup> —Cl1—Na1 <sup>xii</sup>	54.7
Na1 <sup>xii</sup> —Na2—Al1 <sup>xiii</sup>	175.4 (3)	Na2—Cl1—Na1 <sup>xii</sup>	54.7
Na1 <sup>v</sup> —Na2—Al1 <sup>xiii</sup>	74.34 (5)	Na1—Cl1—Na1 <sup>xii</sup>	90.0
Cl1—Na2—Al1 <sup>xiii</sup>	115.42 (15)	Na1 <sup>xi</sup> —Cl1—Na1 <sup>xii</sup>	90.0
O1 <sup>xi</sup> —Na2—Al1 <sup>xiii</sup>	108.42 (8)	Na1 <sup>xv</sup> —Cl1—Na1 <sup>xii</sup>	180.0
O1 <sup>v</sup> —Na2—Al1 <sup>xiii</sup>	33.89 (4)	Na2 <sup>ii</sup> —Cl1—Na1 <sup>v</sup>	54.7
O1 <sup>xii</sup> —Na2—Al1 <sup>xiii</sup>	130.79 (12)	Na2 <sup>iv</sup> —Cl1—Na1 <sup>v</sup>	125.3
O1 <sup>viii</sup> —Na2—Al1 <sup>xiv</sup>	69.15 (13)	Na2 <sup>v</sup> —Cl1—Na1 <sup>v</sup>	125.3
O1 <sup>ix</sup> —Na2—Al1 <sup>xiv</sup>	34.73 (6)	Na2—Cl1—Na1 <sup>v</sup>	54.7
O1 <sup>x</sup> —Na2—Al1 <sup>xiv</sup>	117.7 (3)	Na1—Cl1—Na1 <sup>v</sup>	180.0
Na1 <sup>xi</sup> —Na2—Al1 <sup>xiv</sup>	175.4 (3)	Na1 <sup>xi</sup> —Cl1—Na1 <sup>v</sup>	90.0
Na1 <sup>xii</sup> —Na2—Al1 <sup>xiv</sup>	74.34 (5)	Na1 <sup>xv</sup> —Cl1—Na1 <sup>v</sup>	90.0
Na1 <sup>v</sup> —Na2—Al1 <sup>xiv</sup>	74.34 (5)	Na1 <sup>xii</sup> —Cl1—Na1 <sup>v</sup>	90.0
Cl1—Na2—Al1 <sup>xiv</sup>	115.42 (15)	Na2 <sup>ii</sup> —Cl1—Na1 <sup>xvi</sup>	54.7
O1 <sup>xi</sup> —Na2—Al1 <sup>xiv</sup>	130.79 (12)	Na2 <sup>iv</sup> —Cl1—Na1 <sup>xvi</sup>	125.3
O1 <sup>v</sup> —Na2—Al1 <sup>xiv</sup>	108.42 (8)	Na2 <sup>v</sup> —Cl1—Na1 <sup>xvi</sup>	54.7
O1 <sup>xii</sup> —Na2—Al1 <sup>xiv</sup>	33.89 (4)	Na2—Cl1—Na1 <sup>xvi</sup>	125.3

Al <sup>xiii</sup> —Na2—Al <sup>xiv</sup>	102.92 (18)	Na1—Cl1—Na1 <sup>xvi</sup>	90.0
O1 <sup>xv</sup> —B1—O1 <sup>xvi</sup>	119.993 (7)	Na1 <sup>xi</sup> —Cl1—Na1 <sup>xvi</sup>	180.0
O1 <sup>xv</sup> —B1—O1	119.993 (7)	Na1 <sup>xv</sup> —Cl1—Na1 <sup>xvi</sup>	90.0
O1 <sup>xvi</sup> —B1—O1	119.993 (7)	Na1 <sup>xii</sup> —Cl1—Na1 <sup>xvi</sup>	90.0
O1 <sup>xv</sup> —B1—Na1	87.53 (15)	Na1 <sup>v</sup> —Cl1—Na1 <sup>xvi</sup>	90.0
O1 <sup>xvi</sup> —B1—Na1	135.5 (3)		

Symmetry codes: (i)  $-x, z, -y+1/2$ ; (ii)  $x, -y+1/2, -z+1/2$ ; (iii)  $-x, -z+1/2, y$ ; (iv)  $-x+1/2, y, -z+1/2$ ; (v)  $-x+1/2, -y+1/2, z$ ; (vi)  $y-1/2, -x+1/2, -z+1/2$ ; (vii)  $y-1/2, x, z$ ; (viii)  $-z+1/2, -y+1/2, x+1/2$ ; (ix)  $x+1/2, -z+1/2, -y+1/2$ ; (x)  $-y+1/2, x+1/2, -z+1/2$ ; (xi)  $z, -x+1/2, -y+1/2$ ; (xii)  $-y+1/2, z, -x+1/2$ ; (xiii)  $y+1/2, z+1/2, x$ ; (xiv)  $z+1/2, x, y+1/2$ ; (xv)  $y, z, x$ ; (xvi)  $z, x, y$ ; (xvii)  $z, -x, -y$ ; (xviii)  $-z+1/2, y, -x$ ; (xix)  $-z+1/2, -y, x$ ; (xx)  $x, y-1/2, z-1/2$ ; (xxi)  $-y+1/2, x-1/2, -z+1/2$ ; (xxii)  $-y+1/2, -x+1/2, z-1/2$ ; (xxiii)  $-y+1/2, z-1/2, -x$ .

### Sodium aluminoboracite (kjh230804yoshinoN4\_0m\_a\_1)

#### Crystal data



$M_r = 438.91$

Cubic,  $F\bar{2}3$

$a = 13.5904 (1) \text{ \AA}$

$V = 2510.13 (6) \text{ \AA}^3$

$Z = 8$

$F(000) = 1728$

$D_x = 2.323 \text{ Mg m}^{-3}$

$\text{Cu } K\alpha$  radiation,  $\lambda = 1.54178 \text{ \AA}$

Cell parameters from 3423 reflections

$\theta = 4.6\text{--}74.3^\circ$

$\mu = 6.78 \text{ mm}^{-1}$

$T = 294 \text{ K}$

Plate, colorless

$0.08 \times 0.06 \times 0.04 \text{ mm}$

#### Data collection

Bruker D8 goniometer  
diffractometer

Radiation source: sealed tube

Detector resolution: 7.3910 pixels  $\text{mm}^{-1}$

$\omega$  scans

Absorption correction: multi-scan  
(*SADABS*; Krause *et al.*, 2015)

$T_{\min} = 0.66$ ,  $T_{\max} = 0.75$

5514 measured reflections

437 independent reflections

355 reflections with  $I > 2\sigma(I)$

$R_{\text{int}} = 0.028$

$\theta_{\max} = 74.3^\circ$ ,  $\theta_{\min} = 5.6^\circ$

$h = -16 \rightarrow 16$

$k = -16 \rightarrow 16$

$l = -16 \rightarrow 14$

#### Refinement

Refinement on  $F^2$

Least-squares matrix: full

$R[F^2 > 2\sigma(F^2)] = 0.024$

$wR(F^2) = 0.066$

$S = 1.12$

437 reflections

52 parameters

1 restraint

$$w = 1/[\sigma^2(F_o^2) + (0.0396P)^2 + 2.0455P]$$

$$\text{where } P = (F_o^2 + 2F_c^2)/3$$

$$(\Delta/\sigma)_{\max} = 0.006$$

$$\Delta\rho_{\max} = 0.17 \text{ e \AA}^{-3}$$

$$\Delta\rho_{\min} = -0.58 \text{ e \AA}^{-3}$$

Absolute structure: Flack  $x$  determined using

142 quotients  $[(\text{I}^+)-(\text{I}^-)]/[(\text{I}^+)+(\text{I}^-)]$  (Parsons *et al.*, 2013).

Absolute structure parameter: 0.01 (2)

#### Special details

**Geometry.** All esds (except the esd in the dihedral angle between two l.s. planes) are estimated using the full covariance matrix. The cell esds are taken into account individually in the estimation of esds in distances, angles and torsion angles; correlations between esds in cell parameters are only used when they are defined by crystal symmetry. An approximate (isotropic) treatment of cell esds is used for estimating esds involving l.s. planes.

#### Fractional atomic coordinates and isotropic or equivalent isotropic displacement parameters ( $\text{\AA}^2$ )

	$x$	$y$	$z$	$U_{\text{iso}}^*/U_{\text{eq}}$	Occ. (<1)
Na1	0.0348 (5)	0.250000	0.250000	0.0429 (12)	0.5

Na2	0.5331 (5)	0.750000	0.750000	0.0430 (12)	0.5
Na3	0.3604 (4)	0.3604 (4)	0.3604 (4)	0.015 (2)	0.226 (7)
Na4	0.8610 (4)	0.8610 (4)	0.8610 (4)	0.020 (2)	0.235 (7)
B1	0.1039 (3)	0.1039 (3)	0.1039 (3)	0.0149 (10)	
B2	0.6039 (3)	0.6039 (3)	0.6039 (3)	0.0138 (10)	
Al1	0.25008 (10)	0.000000	0.000000	0.0099 (3)	
O1	0.03517 (13)	0.10051 (12)	0.17740 (13)	0.0181 (5)	
O2	0.03517 (13)	0.17741 (13)	0.60039 (12)	0.0182 (5)	
Cl1	0.250000	0.250000	0.250000	0.0359 (9)	0.921 (9)
Cl2	0.750000	0.750000	0.750000	0.0350 (9)	0.921 (9)

*Atomic displacement parameters ( $\text{\AA}^2$ )*

	$U^{11}$	$U^{22}$	$U^{33}$	$U^{12}$	$U^{13}$	$U^{23}$
Na1	0.092 (4)	0.0156 (18)	0.0210 (19)	0.000	0.000	-0.0062 (17)
Na2	0.100 (4)	0.0169 (18)	0.0118 (17)	0.000	0.000	-0.0067 (16)
Na3	0.015 (2)	0.015 (2)	0.015 (2)	-0.0008 (19)	-0.0008 (19)	-0.0008 (19)
Na4	0.020 (2)	0.020 (2)	0.020 (2)	-0.002 (2)	-0.002 (2)	-0.002 (2)
B1	0.0149 (10)	0.0149 (10)	0.0149 (10)	0.0013 (13)	0.0013 (13)	0.0013 (13)
B2	0.0138 (10)	0.0138 (10)	0.0138 (10)	0.0030 (13)	0.0030 (13)	0.0030 (13)
Al1	0.0100 (5)	0.0099 (5)	0.0099 (5)	0.000	0.000	-0.0001 (4)
O1	0.0192 (9)	0.0153 (8)	0.0198 (10)	0.0061 (7)	0.0107 (8)	0.0059 (8)
O2	0.0194 (9)	0.0196 (10)	0.0156 (8)	0.0105 (8)	0.0056 (7)	0.0070 (8)
Cl1	0.0359 (9)	0.0359 (9)	0.0359 (9)	0.000	0.000	0.000
Cl2	0.0350 (9)	0.0350 (9)	0.0350 (9)	0.000	0.000	0.000

*Geometric parameters ( $\text{\AA}$ ,  $^\circ$ )*

Na1—Na2 <sup>i</sup>	0.922 (6)	Na3—Cl1	2.599 (10)
Na1—O1 <sup>ii</sup>	2.2585 (18)	Na3—O1 <sup>xxi</sup>	2.912 (2)
Na1—O1	2.2585 (18)	Na3—O1 <sup>xxii</sup>	2.912 (2)
Na1—O2 <sup>iii</sup>	2.452 (3)	Na3—O1 <sup>vi</sup>	2.912 (2)
Na1—O2 <sup>iv</sup>	2.452 (3)	Na3—Al1 <sup>xvii</sup>	3.074 (4)
Na1—Na3 <sup>v</sup>	2.556 (5)	Na3—Al1 <sup>xxiii</sup>	3.074 (4)
Na1—Na3 <sup>vi</sup>	2.556 (5)	Na4—O1 <sup>xxiv</sup>	2.480 (6)
Na1—C11	2.925 (6)	Na4—O1 <sup>xxv</sup>	2.480 (6)
Na1—B1 <sup>ii</sup>	2.961 (4)	Na4—O1 <sup>xxvi</sup>	2.480 (6)
Na1—B1	2.961 (4)	Na4—Cl2	2.612 (10)
Na1—Na4 <sup>vii</sup>	3.182 (5)	Na4—O2 <sup>xxvii</sup>	2.914 (2)
Na1—Na4 <sup>viii</sup>	3.182 (5)	Na4—O2 <sup>xxviii</sup>	2.914 (2)
Na2—O2 <sup>ix</sup>	2.2602 (18)	Na4—O2 <sup>xxix</sup>	2.914 (2)
Na2—O2 <sup>x</sup>	2.2602 (18)	Na4—Al1 <sup>xxx</sup>	3.069 (4)
Na2—O1 <sup>xi</sup>	2.442 (3)	Na4—Al1 <sup>xxxi</sup>	3.069 (4)
Na2—O1 <sup>xii</sup>	2.442 (3)	B1—O1 <sup>xxxii</sup>	1.3684 (16)
Na2—Na4 <sup>xiii</sup>	2.573 (5)	B1—O1 <sup>xxxiii</sup>	1.3684 (16)
Na2—Na4 <sup>xiv</sup>	2.573 (5)	B1—O1	1.3684 (16)
Na2—Cl2	2.948 (6)	B2—O2 <sup>xxxiv</sup>	1.3685 (16)
Na2—B2 <sup>xv</sup>	2.969 (4)	B2—O2 <sup>xxxv</sup>	1.3684 (16)

Na2—B2	2.969 (4)	B2—O2 <sup>x</sup>	1.3684 (16)
Na2—Na3 <sup>xvi</sup>	3.164 (5)	Al1—O2 <sup>xxxvi</sup>	1.7495 (18)
Na2—Na3 <sup>xvii</sup>	3.164 (5)	Al1—O2 <sup>xxxvii</sup>	1.7495 (18)
Na3—O2 <sup>xviii</sup>	2.488 (6)	Al1—O1 <sup>xxxviii</sup>	1.7522 (18)
Na3—O2 <sup>xix</sup>	2.488 (6)	Al1—O1 <sup>xxxix</sup>	1.7522 (18)
Na3—O2 <sup>xx</sup>	2.488 (6)		
Na2 <sup>i</sup> —Na1—O1 <sup>ii</sup>	90.14 (17)	Cl2—Na4—O2 <sup>xxix</sup>	83.7 (2)
Na2 <sup>i</sup> —Na1—O1	90.14 (17)	O2 <sup>xxvii</sup> —Na4—O2 <sup>xxix</sup>	118.80 (8)
O1 <sup>ii</sup> —Na1—O1	179.7 (3)	O2 <sup>xxviii</sup> —Na4—O2 <sup>xxix</sup>	118.80 (8)
Na2 <sup>i</sup> —Na1—O2 <sup>iii</sup>	67.19 (14)	O1 <sup>xxiv</sup> —Na4—Al1 <sup>xxx</sup>	118.0 (4)
O1 <sup>ii</sup> —Na1—O2 <sup>iii</sup>	90.07 (9)	O1 <sup>xxv</sup> —Na4—Al1 <sup>xxx</sup>	69.23 (15)
O1—Na1—O2 <sup>iii</sup>	90.04 (9)	O1 <sup>xxvi</sup> —Na4—Al1 <sup>xxx</sup>	34.80 (7)
Na2 <sup>i</sup> —Na1—O2 <sup>iv</sup>	67.19 (14)	Na2 <sup>xxxix</sup> —Na4—Al1 <sup>xxx</sup>	74.23 (8)
O1 <sup>ii</sup> —Na1—O2 <sup>iv</sup>	90.04 (9)	Na2 <sup>xiv</sup> —Na4—Al1 <sup>xxx</sup>	74.23 (8)
O1—Na1—O2 <sup>iv</sup>	90.07 (9)	Na2 <sup>xl</sup> —Na4—Al1 <sup>xxx</sup>	175.4 (4)
O2 <sup>iii</sup> —Na1—O2 <sup>iv</sup>	134.4 (3)	Cl2—Na4—Al1 <sup>xxx</sup>	115.28 (18)
Na2 <sup>i</sup> —Na1—Na3 <sup>v</sup>	123.9 (3)	O2 <sup>xxvii</sup> —Na4—Al1 <sup>xxx</sup>	33.88 (5)
O1 <sup>ii</sup> —Na1—Na3 <sup>v</sup>	74.16 (9)	O2 <sup>xxviii</sup> —Na4—Al1 <sup>xxx</sup>	130.86 (15)
O1—Na1—Na3 <sup>v</sup>	105.68 (13)	O2 <sup>xxix</sup> —Na4—Al1 <sup>xxx</sup>	108.51 (9)
O2 <sup>iii</sup> —Na1—Na3 <sup>v</sup>	59.5 (2)	O1 <sup>xxiv</sup> —Na4—Al1 <sup>xxxi</sup>	34.80 (7)
O2 <sup>iv</sup> —Na1—Na3 <sup>v</sup>	159.92 (19)	O1 <sup>xxv</sup> —Na4—Al1 <sup>xxxi</sup>	118.0 (4)
Na2 <sup>i</sup> —Na1—Na3 <sup>vi</sup>	123.9 (3)	O1 <sup>xxvi</sup> —Na4—Al1 <sup>xxxi</sup>	69.23 (15)
O1 <sup>ii</sup> —Na1—Na3 <sup>vi</sup>	105.68 (13)	Na2 <sup>xxxix</sup> —Na4—Al1 <sup>xxxi</sup>	175.4 (4)
O1—Na1—Na3 <sup>vi</sup>	74.16 (9)	Na2 <sup>xiv</sup> —Na4—Al1 <sup>xxxi</sup>	74.23 (8)
O2 <sup>iii</sup> —Na1—Na3 <sup>vi</sup>	159.92 (19)	Na2 <sup>xl</sup> —Na4—Al1 <sup>xxxi</sup>	74.23 (8)
O2 <sup>iv</sup> —Na1—Na3 <sup>vi</sup>	59.5 (2)	Cl2—Na4—Al1 <sup>xxxi</sup>	115.28 (18)
Na3 <sup>v</sup> —Na1—Na3 <sup>vi</sup>	112.2 (5)	O2 <sup>xxvii</sup> —Na4—Al1 <sup>xxxi</sup>	130.86 (15)
Na2 <sup>i</sup> —Na1—Cl1	180.0	O2 <sup>xxviii</sup> —Na4—Al1 <sup>xxxi</sup>	108.51 (9)
O1 <sup>ii</sup> —Na1—Cl1	89.86 (17)	O2 <sup>xxix</sup> —Na4—Al1 <sup>xxxi</sup>	33.88 (5)
O1—Na1—Cl1	89.86 (17)	Al1 <sup>xxx</sup> —Na4—Al1 <sup>xxx</sup>	103.1 (2)
O2 <sup>iii</sup> —Na1—Cl1	112.81 (14)	O1 <sup>xxxii</sup> —B1—O1 <sup>xxxxiii</sup>	119.995 (7)
O2 <sup>iv</sup> —Na1—Cl1	112.81 (14)	O1 <sup>xxxii</sup> —B1—O1	119.995 (7)
Na3 <sup>v</sup> —Na1—Cl1	56.1 (3)	O1 <sup>xxxiii</sup> —B1—O1	119.992 (7)
Na3 <sup>vi</sup> —Na1—Cl1	56.1 (3)	O1 <sup>xxxii</sup> —B1—Na1 <sup>xxxxii</sup>	46.89 (18)
Na2 <sup>i</sup> —Na1—B1 <sup>ii</sup>	108.51 (15)	O1 <sup>xxxiii</sup> —B1—Na1 <sup>xxxxii</sup>	135.4 (3)
O1 <sup>ii</sup> —Na1—B1 <sup>ii</sup>	26.25 (9)	O1—B1—Na1 <sup>xxxxii</sup>	87.58 (17)
O1—Na1—B1 <sup>ii</sup>	153.5 (2)	O1 <sup>xxxii</sup> —B1—Na1 <sup>xxxxii</sup>	87.58 (17)
O2 <sup>iii</sup> —Na1—B1 <sup>ii</sup>	114.16 (5)	O1 <sup>xxxiii</sup> —B1—Na1 <sup>xxxxii</sup>	46.89 (18)
O2 <sup>iv</sup> —Na1—B1 <sup>ii</sup>	80.61 (6)	O1—B1—Na1 <sup>xxxxii</sup>	135.4 (3)
Na3 <sup>v</sup> —Na1—B1 <sup>ii</sup>	79.81 (13)	Na1 <sup>xxxxii</sup> —B1—Na1 <sup>xxxxii</sup>	88.6 (2)
Na3 <sup>vi</sup> —Na1—B1 <sup>ii</sup>	79.81 (13)	O1 <sup>xxxii</sup> —B1—Na1	135.4 (3)
Cl1—Na1—B1 <sup>ii</sup>	71.49 (15)	O1 <sup>xxxiii</sup> —B1—Na1	87.58 (17)
Na2 <sup>i</sup> —Na1—B1	108.51 (15)	O1—B1—Na1	46.89 (18)
O1 <sup>ii</sup> —Na1—B1	153.5 (2)	Na1 <sup>xxxxii</sup> —B1—Na1	88.6 (2)
O1—Na1—B1	26.25 (9)	Na1 <sup>xxxxiii</sup> —B1—Na1	88.6 (2)
O2 <sup>iii</sup> —Na1—B1	80.61 (6)	O2 <sup>xxxxiv</sup> —B2—O2 <sup>xxxxv</sup>	119.993 (8)
O2 <sup>iv</sup> —Na1—B1	114.16 (5)	O2 <sup>xxxxiv</sup> —B2—O2 <sup>x</sup>	119.994 (8)

Na3 <sup>v</sup> —Na1—B1	79.81 (13)	O2 <sup>xxxv</sup> —B2—O2 <sup>x</sup>	119.995 (8)
Na3 <sup>vi</sup> —Na1—B1	79.81 (13)	O2 <sup>xxxiv</sup> —B2—Na2	135.7 (3)
Cl1—Na1—B1	71.49 (15)	O2 <sup>xxxv</sup> —B2—Na2	87.51 (17)
B1 <sup>ii</sup> —Na1—B1	143.0 (3)	O2 <sup>x</sup> —B2—Na2	46.65 (18)
Na2 <sup>i</sup> —Na1—Na4 <sup>vii</sup>	42.1 (2)	O2 <sup>xxxiv</sup> —B2—Na2 <sup>xxxiii</sup>	46.65 (18)
O1 <sup>ii</sup> —Na1—Na4 <sup>vii</sup>	129.4 (3)	O2 <sup>xxxv</sup> —B2—Na2 <sup>xxxiii</sup>	135.7 (3)
O1—Na1—Na4 <sup>vii</sup>	50.85 (19)	O2 <sup>x</sup> —B2—Na2 <sup>xxxiii</sup>	87.51 (17)
O2 <sup>iii</sup> —Na1—Na4 <sup>vii</sup>	60.65 (11)	Na2—B2—Na2 <sup>xxxiii</sup>	89.2 (2)
O2 <sup>iv</sup> —Na1—Na4 <sup>vii</sup>	85.09 (18)	O2 <sup>xxxiv</sup> —B2—Na2 <sup>xxxii</sup>	87.51 (17)
Na3 <sup>v</sup> —Na1—Na4 <sup>vii</sup>	114.45 (17)	O2 <sup>xxxv</sup> —B2—Na2 <sup>xxxii</sup>	46.65 (18)
Na3 <sup>vi</sup> —Na1—Na4 <sup>vii</sup>	114.45 (17)	O2 <sup>x</sup> —B2—Na2 <sup>xxxii</sup>	135.7 (3)
Cl1—Na1—Na4 <sup>vii</sup>	137.9 (2)	Na2—B2—Na2 <sup>xxxii</sup>	89.2 (2)
B1 <sup>ii</sup> —Na1—Na4 <sup>vii</sup>	150.6 (3)	Na2 <sup>xxxiii</sup> —B2—Na2 <sup>xxxii</sup>	89.2 (2)
B1—Na1—Na4 <sup>vii</sup>	66.4 (2)	O2 <sup>xxxvi</sup> —Al1—O2 <sup>xxxvii</sup>	111.44 (14)
Na2 <sup>i</sup> —Na1—Na4 <sup>viii</sup>	42.1 (2)	O2 <sup>xxxvi</sup> —Al1—O1 <sup>xxxviii</sup>	108.50 (8)
O1 <sup>ii</sup> —Na1—Na4 <sup>viii</sup>	50.85 (19)	O2 <sup>xxxvii</sup> —Al1—O1 <sup>xxxviii</sup>	108.53 (8)
O1—Na1—Na4 <sup>viii</sup>	129.4 (3)	O2 <sup>xxxvi</sup> —Al1—O1 <sup>xxxii</sup>	108.53 (8)
O2 <sup>iii</sup> —Na1—Na4 <sup>viii</sup>	85.09 (18)	O2 <sup>xxxvii</sup> —Al1—O1 <sup>xxxii</sup>	108.50 (8)
O2 <sup>iv</sup> —Na1—Na4 <sup>viii</sup>	60.65 (11)	O1 <sup>xxxviii</sup> —Al1—O1 <sup>xxxii</sup>	111.37 (14)
Na3 <sup>v</sup> —Na1—Na4 <sup>viii</sup>	114.45 (17)	O2 <sup>xxxvi</sup> —Al1—Na4 <sup>xli</sup>	157.72 (8)
Na3 <sup>vi</sup> —Na1—Na4 <sup>viii</sup>	114.45 (17)	O2 <sup>xxxvii</sup> —Al1—Na4 <sup>xli</sup>	68.19 (18)
Cl1—Na1—Na4 <sup>viii</sup>	137.9 (2)	O1 <sup>xxxviii</sup> —Al1—Na4 <sup>xli</sup>	92.00 (14)
B1 <sup>ii</sup> —Na1—Na4 <sup>viii</sup>	66.4 (2)	O1 <sup>xxxii</sup> —Al1—Na4 <sup>xli</sup>	53.90 (9)
B1—Na1—Na4 <sup>viii</sup>	150.6 (3)	O2 <sup>xxxvi</sup> —Al1—Na4 <sup>xlii</sup>	68.19 (18)
Na4 <sup>vii</sup> —Na1—Na4 <sup>viii</sup>	84.1 (4)	O2 <sup>xxxvii</sup> —Al1—Na4 <sup>xlii</sup>	157.72 (8)
Na1 <sup>xii</sup> —Na2—O2 <sup>ix</sup>	90.71 (17)	O1 <sup>xxxviii</sup> —Al1—Na4 <sup>xlii</sup>	53.90 (9)
Na1 <sup>xii</sup> —Na2—O2 <sup>x</sup>	90.71 (17)	O1 <sup>xxxii</sup> —Al1—Na4 <sup>xlii</sup>	92.00 (14)
O2 <sup>ix</sup> —Na2—O2 <sup>x</sup>	178.6 (3)	Na4 <sup>xlii</sup> —Al1—Na4 <sup>xlii</sup>	121.1 (4)
Na1 <sup>xii</sup> —Na2—O1 <sup>xi</sup>	67.66 (14)	O2 <sup>xxxvi</sup> —Al1—Na3 <sup>ii</sup>	54.03 (9)
O2 <sup>ix</sup> —Na2—O1 <sup>xi</sup>	90.25 (9)	O2 <sup>xxxvii</sup> —Al1—Na3 <sup>ii</sup>	92.18 (13)
O2 <sup>x</sup> —Na2—O1 <sup>xi</sup>	90.29 (9)	O1 <sup>xxxviii</sup> —Al1—Na3 <sup>ii</sup>	157.61 (8)
Na1 <sup>xii</sup> —Na2—O1 <sup>xii</sup>	67.66 (15)	O1 <sup>xxxii</sup> —Al1—Na3 <sup>ii</sup>	67.99 (17)
O2 <sup>ix</sup> —Na2—O1 <sup>xii</sup>	90.29 (9)	Na4 <sup>xlii</sup> —Al1—Na3 <sup>ii</sup>	103.88 (11)
O2 <sup>x</sup> —Na2—O1 <sup>xii</sup>	90.25 (9)	Na4 <sup>xlii</sup> —Al1—Na3 <sup>xliii</sup>	103.88 (11)
O1 <sup>xi</sup> —Na2—O1 <sup>xii</sup>	135.3 (3)	O2 <sup>xxxvi</sup> —Al1—Na3 <sup>xliii</sup>	92.18 (13)
Na1 <sup>xii</sup> —Na2—Na4 <sup>xiii</sup>	124.0 (3)	O2 <sup>xxxvii</sup> —Al1—Na3 <sup>xliii</sup>	54.03 (9)
O2 <sup>ix</sup> —Na2—Na4 <sup>xiii</sup>	105.33 (14)	O1 <sup>xxxviii</sup> —Al1—Na3 <sup>xliii</sup>	67.99 (17)
O2 <sup>x</sup> —Na2—Na4 <sup>xiii</sup>	73.84 (9)	O1 <sup>xxxii</sup> —Al1—Na3 <sup>xliii</sup>	157.61 (8)
O1 <sup>xi</sup> —Na2—Na4 <sup>xiii</sup>	159.6 (2)	Na4 <sup>xlii</sup> —Al1—Na3 <sup>xliii</sup>	103.88 (11)
O1 <sup>xii</sup> —Na2—Na4 <sup>xiii</sup>	59.2 (2)	Na4 <sup>xlii</sup> —Al1—Na3 <sup>xliii</sup>	103.88 (11)
Na1 <sup>xii</sup> —Na2—Na4 <sup>xiv</sup>	124.0 (3)	Na3 <sup>ii</sup> —Al1—Na3 <sup>xliii</sup>	121.6 (4)
O2 <sup>ix</sup> —Na2—Na4 <sup>xiv</sup>	73.84 (9)	O2 <sup>xxxvi</sup> —Al1—Na2 <sup>xliv</sup>	68.10 (10)
O2 <sup>x</sup> —Na2—Na4 <sup>xiv</sup>	105.33 (14)	O2 <sup>xxxvii</sup> —Al1—Na2 <sup>xliv</sup>	111.93 (11)
O1 <sup>xi</sup> —Na2—Na4 <sup>xiv</sup>	59.2 (2)	O1 <sup>xxxviii</sup> —Al1—Na2 <sup>xliv</sup>	42.50 (8)
O1 <sup>xii</sup> —Na2—Na4 <sup>xiv</sup>	159.6 (2)	O1 <sup>xxxii</sup> —Al1—Na2 <sup>xliv</sup>	137.46 (9)
Na4 <sup>xiii</sup> —Na2—Na4 <sup>xiv</sup>	111.9 (5)	Na4 <sup>xlii</sup> —Al1—Na2 <sup>xliv</sup>	133.72 (12)
Na1 <sup>xii</sup> —Na2—Cl2	180.0	Na4 <sup>xlii</sup> —Al1—Na2 <sup>xliv</sup>	46.26 (12)
O2 <sup>ix</sup> —Na2—Cl2	89.29 (17)	Na3 <sup>ii</sup> —Al1—Na2 <sup>xliv</sup>	122.08 (10)

O2 <sup>x</sup> —Na2—Cl2	89.29 (17)	Na3 <sup>xliii</sup> —Al1—Na2 <sup>xliv</sup>	57.94 (10)
O1 <sup>xi</sup> —Na2—Cl2	112.34 (14)	O2 <sup>xxxvi</sup> —Al1—Na2 <sup>xlv</sup>	36.03 (6)
O1 <sup>xii</sup> —Na2—Cl2	112.34 (14)	O2 <sup>xxxvii</sup> —Al1—Na2 <sup>xlv</sup>	144.01 (8)
Na4 <sup>xiii</sup> —Na2—Cl2	56.0 (3)	O1 <sup>xxxviii</sup> —Al1—Na2 <sup>xlv</sup>	99.67 (11)
Na4 <sup>xiv</sup> —Na2—Cl2	56.0 (3)	O1 <sup>xxxix</sup> —Al1—Na2 <sup>xlv</sup>	80.31 (10)
Na1 <sup>xii</sup> —Na2—B2 <sup>xv</sup>	108.90 (15)	Na4 <sup>xli</sup> —Al1—Na2 <sup>xlv</sup>	133.72 (12)
O2 <sup>ix</sup> —Na2—B2 <sup>xv</sup>	26.12 (9)	Na4 <sup>xlii</sup> —Al1—Na2 <sup>xlv</sup>	46.26 (12)
O2 <sup>x</sup> —Na2—B2 <sup>xv</sup>	152.8 (2)	Na3 <sup>ii</sup> —Al1—Na2 <sup>xlv</sup>	57.94 (10)
O1 <sup>xi</sup> —Na2—B2 <sup>xv</sup>	114.17 (5)	Na3 <sup>xliii</sup> —Al1—Na2 <sup>xlv</sup>	122.08 (10)
O1 <sup>xii</sup> —Na2—B2 <sup>xv</sup>	80.61 (6)	Na2 <sup>xliv</sup> —Al1—Na2 <sup>xlv</sup>	74.9 (2)
Na4 <sup>xiii</sup> —Na2—B2 <sup>xv</sup>	79.56 (13)	O2 <sup>xxxvi</sup> —Al1—Na2 <sup>xlv</sup>	144.01 (8)
Na4 <sup>xiv</sup> —Na2—B2 <sup>xv</sup>	79.56 (13)	O2 <sup>xxxvii</sup> —Al1—Na2 <sup>xlv</sup>	36.03 (6)
Cl2—Na2—B2 <sup>xv</sup>	71.10 (15)	O1 <sup>xxxviii</sup> —Al1—Na2 <sup>xlv</sup>	80.31 (10)
Na1 <sup>xii</sup> —Na2—B2	108.90 (15)	O1 <sup>xxxix</sup> —Al1—Na2 <sup>xlv</sup>	99.67 (11)
O2 <sup>ix</sup> —Na2—B2	152.9 (2)	Na4 <sup>xli</sup> —Al1—Na2 <sup>xlv</sup>	46.26 (12)
O2 <sup>x</sup> —Na2—B2	26.12 (9)	Na4 <sup>xlii</sup> —Al1—Na2 <sup>xlv</sup>	133.72 (12)
O1 <sup>xi</sup> —Na2—B2	80.61 (6)	Na3 <sup>ii</sup> —Al1—Na2 <sup>xlv</sup>	122.08 (10)
O1 <sup>xii</sup> —Na2—B2	114.17 (5)	Na3 <sup>xliii</sup> —Al1—Na2 <sup>xlv</sup>	57.94 (10)
Na4 <sup>xiii</sup> —Na2—B2	79.56 (13)	Na2 <sup>xliv</sup> —Al1—Na2 <sup>xlv</sup>	105.1 (2)
Na4 <sup>xiv</sup> —Na2—B2	79.56 (13)	Na2 <sup>xlv</sup> —Al1—Na2 <sup>xlv</sup>	179.96 (4)
Cl2—Na2—B2	71.10 (15)	O2 <sup>xxxvi</sup> —Al1—Na2 <sup>xlvii</sup>	111.93 (11)
B2 <sup>xv</sup> —Na2—B2	142.2 (3)	O2 <sup>xxxvii</sup> —Al1—Na2 <sup>xlvii</sup>	68.10 (10)
Na1 <sup>xii</sup> —Na2—Na3 <sup>xvi</sup>	42.1 (2)	O1 <sup>xxxviii</sup> —Al1—Na2 <sup>xlvii</sup>	137.46 (9)
O2 <sup>ix</sup> —Na2—Na3 <sup>xvi</sup>	130.0 (3)	O1 <sup>xxxix</sup> —Al1—Na2 <sup>xlvii</sup>	42.50 (8)
O2 <sup>x</sup> —Na2—Na3 <sup>xvi</sup>	51.37 (19)	Na4 <sup>xli</sup> —Al1—Na2 <sup>xlvii</sup>	46.26 (12)
O1 <sup>xi</sup> —Na2—Na3 <sup>xvi</sup>	61.00 (11)	Na4 <sup>xlii</sup> —Al1—Na2 <sup>xlvii</sup>	133.72 (12)
O1 <sup>xii</sup> —Na2—Na3 <sup>xvi</sup>	85.47 (18)	Na3 <sup>ii</sup> —Al1—Na2 <sup>xlvii</sup>	57.94 (10)
Na4 <sup>xiii</sup> —Na2—Na3 <sup>xvi</sup>	114.53 (18)	Na3 <sup>xliii</sup> —Al1—Na2 <sup>xlvii</sup>	122.08 (10)
Na4 <sup>xiv</sup> —Na2—Na3 <sup>xvi</sup>	114.53 (18)	Na2 <sup>xliv</sup> —Al1—Na2 <sup>xlvii</sup>	179.96 (12)
Cl2—Na2—Na3 <sup>xvi</sup>	137.9 (2)	Na2 <sup>xlv</sup> —Al1—Na2 <sup>xlvii</sup>	105.1 (2)
B2 <sup>xv</sup> —Na2—Na3 <sup>xvi</sup>	151.0 (3)	Na2 <sup>xlvi</sup> —Al1—Na2 <sup>xlvii</sup>	74.9 (2)
B2—Na2—Na3 <sup>xvi</sup>	66.8 (2)	B1—O1—Al1 <sup>xxxiii</sup>	128.62 (14)
Na1 <sup>xii</sup> —Na2—Na3 <sup>xvii</sup>	42.1 (2)	B1—O1—Na1	106.9 (3)
O2 <sup>ix</sup> —Na2—Na3 <sup>xvii</sup>	51.37 (18)	Al1 <sup>xxxiii</sup> —O1—Na1	117.02 (10)
O2 <sup>x</sup> —Na2—Na3 <sup>xvii</sup>	130.0 (3)	B1—O1—Na2 <sup>i</sup>	121.75 (19)
O1 <sup>xi</sup> —Na2—Na3 <sup>xvii</sup>	85.47 (18)	Al1 <sup>xxxiii</sup> —O1—Na2 <sup>i</sup>	108.49 (10)
O1 <sup>xii</sup> —Na2—Na3 <sup>xvii</sup>	61.00 (11)	Na1—O1—Na2 <sup>i</sup>	22.20 (14)
Na4 <sup>xiii</sup> —Na2—Na3 <sup>xvii</sup>	114.53 (18)	B1—O1—Na4 <sup>ii</sup>	119.4 (2)
Na4 <sup>xiv</sup> —Na2—Na3 <sup>xvii</sup>	114.53 (18)	Al1 <sup>xxxiii</sup> —O1—Na4 <sup>vii</sup>	91.30 (7)
Cl2—Na2—Na3 <sup>xvii</sup>	137.9 (2)	Na1—O1—Na4 <sup>vii</sup>	84.2 (2)
B2 <sup>xv</sup> —Na2—Na3 <sup>xvii</sup>	66.8 (2)	Na2 <sup>i</sup> —O1—Na4 <sup>vii</sup>	63.0 (2)
B2—Na2—Na3 <sup>xvii</sup>	151.0 (3)	B1—O1—Na3 <sup>vii</sup>	106.5 (3)
Na3 <sup>xvi</sup> —Na2—Na3 <sup>xvii</sup>	84.2 (4)	Al1 <sup>xxxiii</sup> —O1—Na3 <sup>vi</sup>	78.1 (2)
O2 <sup>xviii</sup> —Na3—O2 <sup>xix</sup>	92.1 (3)	Na1—O1—Na3 <sup>vi</sup>	57.59 (12)
O2 <sup>xviii</sup> —Na3—O2 <sup>xx</sup>	92.1 (3)	Na2 <sup>i</sup> —O1—Na3 <sup>vi</sup>	71.84 (11)
O2 <sup>xix</sup> —Na3—O2 <sup>xx</sup>	92.1 (3)	Na4 <sup>vii</sup> —O1—Na3 <sup>vi</sup>	127.3 (2)
O2 <sup>xviii</sup> —Na3—Na1 <sup>vi</sup>	143.25 (16)	B2 <sup>xlviii</sup> —O2—Al1 <sup>xxii</sup>	128.66 (14)
O2 <sup>xix</sup> —Na3—Na1 <sup>vi</sup>	108.65 (10)	B2 <sup>xlviii</sup> —O2—Na2 <sup>xlviii</sup>	107.2 (3)

O2 <sup>xx</sup> —Na3—Na1 <sup>vi</sup>	58.15 (12)	Al1 <sup>xxii</sup> —O2—Na2 <sup>xlviii</sup>	116.89 (10)
O2 <sup>xviii</sup> —Na3—Na1 <sup>xxi</sup>	58.15 (12)	B2 <sup>xlviii</sup> —O2—Na1 <sup>xlix</sup>	121.99 (19)
O2 <sup>xix</sup> —Na3—Na1 <sup>xxi</sup>	143.26 (16)	Al1 <sup>xxii</sup> —O2—Na1 <sup>xlix</sup>	108.31 (10)
O2 <sup>xx</sup> —Na3—Na1 <sup>xxi</sup>	108.65 (10)	Na2 <sup>xlviii</sup> —O2—Na1 <sup>xlix</sup>	22.10 (14)
Na1 <sup>vi</sup> —Na3—Na1 <sup>xxi</sup>	108.1 (3)	B2 <sup>xlviii</sup> —O2—Na3 <sup>l</sup>	119.5 (2)
O2 <sup>xviii</sup> —Na3—Na1 <sup>xxii</sup>	108.65 (10)	Al1 <sup>xxii</sup> —O2—Na3 <sup>l</sup>	91.29 (7)
O2 <sup>xix</sup> —Na3—Na1 <sup>xxii</sup>	58.15 (12)	Na2 <sup>xlviii</sup> —O2—Na3 <sup>l</sup>	83.4 (2)
O2 <sup>xx</sup> —Na3—Na1 <sup>xxii</sup>	143.25 (16)	Na1 <sup>xlix</sup> —O2—Na3 <sup>l</sup>	62.3 (2)
Na1 <sup>vi</sup> —Na3—Na1 <sup>xxii</sup>	108.1 (3)	B2 <sup>xlviii</sup> —O2—Na4 <sup>li</sup>	106.8 (3)
Na1 <sup>xxi</sup> —Na3—Na1 <sup>xxii</sup>	108.1 (3)	Al1 <sup>xxii</sup> —O2—Na4 <sup>li</sup>	77.9 (2)
O2 <sup>xviii</sup> —Na3—Cl1	123.8 (2)	Na2 <sup>xlviii</sup> —O2—Na4 <sup>li</sup>	58.00 (12)
O2 <sup>xix</sup> —Na3—Cl1	123.8 (2)	Na1 <sup>xlix</sup> —O2—Na4 <sup>li</sup>	72.17 (10)
O2 <sup>xx</sup> —Na3—Cl1	123.8 (2)	Na3 <sup>l</sup> —O2—Na4 <sup>li</sup>	126.9 (2)
Na1 <sup>vi</sup> —Na3—Cl1	69.1 (3)	Na3—Cl1—Na3 <sup>ii</sup>	109.472 (1)
Na1 <sup>xxi</sup> —Na3—Cl1	69.1 (3)	Na3—Cl1—Na3 <sup>v</sup>	109.5
Na1 <sup>xxii</sup> —Na3—Cl1	69.1 (3)	Na3 <sup>ii</sup> —Cl1—Na3 <sup>v</sup>	109.5
O2 <sup>xviii</sup> —Na3—O1 <sup>xxi</sup>	75.84 (8)	Na3—Cl1—Na3 <sup>vi</sup>	109.5
O2 <sup>xix</sup> —Na3—O1 <sup>xxi</sup>	151.3 (4)	Na3 <sup>ii</sup> —Cl1—Na3 <sup>vi</sup>	109.5
O2 <sup>xx</sup> —Na3—O1 <sup>xxi</sup>	62.94 (6)	Na3 <sup>v</sup> —Cl1—Na3 <sup>vi</sup>	109.5
Na1 <sup>vi</sup> —Na3—O1 <sup>xxi</sup>	71.52 (7)	Na3—Cl1—Na1 <sup>vi</sup>	54.7
Na1 <sup>xxi</sup> —Na3—O1 <sup>xxi</sup>	48.25 (5)	Na3 <sup>ii</sup> —Cl1—Na1 <sup>vi</sup>	54.736 (1)
Na1 <sup>xxii</sup> —Na3—O1 <sup>xxi</sup>	150.4 (4)	Na3 <sup>v</sup> —Cl1—Na1 <sup>vi</sup>	125.3
Cl1—Na3—O1 <sup>xxi</sup>	83.9 (2)	Na3 <sup>vi</sup> —Cl1—Na1 <sup>vi</sup>	125.3
O2 <sup>xviii</sup> —Na3—O1 <sup>xxii</sup>	62.94 (6)	Na3—Cl1—Na1 <sup>xxii</sup>	54.7
O2 <sup>xix</sup> —Na3—O1 <sup>xxii</sup>	75.84 (8)	Na3 <sup>ii</sup> —Cl1—Na1 <sup>xxii</sup>	125.3
O2 <sup>xx</sup> —Na3—O1 <sup>xxii</sup>	151.3 (4)	Na3 <sup>v</sup> —Cl1—Na1 <sup>xxii</sup>	54.7
Na1 <sup>vi</sup> —Na3—O1 <sup>xxii</sup>	150.4 (4)	Na3 <sup>vi</sup> —Cl1—Na1 <sup>xxii</sup>	125.3
Na1 <sup>xxi</sup> —Na3—O1 <sup>xxii</sup>	71.53 (7)	Na1 <sup>vi</sup> —Cl1—Na1 <sup>xxii</sup>	90.0
Na1 <sup>xxii</sup> —Na3—O1 <sup>xxii</sup>	48.25 (5)	Na3—Cl1—Na1 <sup>xxxiii</sup>	125.3
Cl1—Na3—O1 <sup>xxii</sup>	83.9 (2)	Na3 <sup>ii</sup> —Cl1—Na1 <sup>xxxiii</sup>	54.7
O1 <sup>xxi</sup> —Na3—O1 <sup>xxii</sup>	118.89 (7)	Na3 <sup>v</sup> —Cl1—Na1 <sup>xxxiii</sup>	54.7
O2 <sup>xviii</sup> —Na3—O1 <sup>vi</sup>	151.3 (4)	Na3 <sup>vi</sup> —Cl1—Na1 <sup>xxxiii</sup>	125.3
O2 <sup>xix</sup> —Na3—O1 <sup>vi</sup>	62.94 (6)	Na1 <sup>vi</sup> —Cl1—Na1 <sup>xxxiii</sup>	90.0
O2 <sup>xx</sup> —Na3—O1 <sup>vi</sup>	75.84 (8)	Na1 <sup>xxii</sup> —Cl1—Na1 <sup>xxxiii</sup>	90.0
Na1 <sup>vi</sup> —Na3—O1 <sup>vi</sup>	48.25 (5)	Na3—Cl1—Na1 <sup>xxi</sup>	54.7
Na1 <sup>xxi</sup> —Na3—O1 <sup>vi</sup>	150.4 (4)	Na3 <sup>ii</sup> —Cl1—Na1 <sup>xxi</sup>	125.3
Na1 <sup>xxii</sup> —Na3—O1 <sup>vi</sup>	71.52 (7)	Na3 <sup>v</sup> —Cl1—Na1 <sup>xxi</sup>	125.3
Cl1—Na3—O1 <sup>vi</sup>	83.9 (2)	Na3 <sup>vi</sup> —Cl1—Na1 <sup>xxi</sup>	54.7
O1 <sup>xxi</sup> —Na3—O1 <sup>vi</sup>	118.88 (7)	Na1 <sup>vi</sup> —Cl1—Na1 <sup>xxi</sup>	90.0
O1 <sup>xxii</sup> —Na3—O1 <sup>vi</sup>	118.88 (7)	Na1 <sup>xxii</sup> —Cl1—Na1 <sup>xxi</sup>	90.0
O2 <sup>xviii</sup> —Na3—Al1 <sup>xvii</sup>	34.68 (7)	Na1 <sup>xxxiii</sup> —Cl1—Na1 <sup>xxi</sup>	180.0
O2 <sup>xix</sup> —Na3—Al1 <sup>xvii</sup>	69.06 (15)	Na3—Cl1—Na1 <sup>xxxii</sup>	125.3
O2 <sup>xx</sup> —Na3—Al1 <sup>xvii</sup>	117.4 (4)	Na3 <sup>ii</sup> —Cl1—Na1 <sup>xxxii</sup>	54.7
Na1 <sup>vi</sup> —Na3—Al1 <sup>xvii</sup>	175.3 (4)	Na3 <sup>v</sup> —Cl1—Na1 <sup>xxxii</sup>	125.3
Na1 <sup>xxi</sup> —Na3—Al1 <sup>xvii</sup>	74.45 (8)	Na3 <sup>vi</sup> —Cl1—Na1 <sup>xxxii</sup>	54.7
Na1 <sup>xxii</sup> —Na3—Al1 <sup>xvii</sup>	74.45 (8)	Na1 <sup>vi</sup> —Cl1—Na1 <sup>xxxii</sup>	90.0
Cl1—Na3—Al1 <sup>xvii</sup>	115.54 (18)	Na1 <sup>xxii</sup> —Cl1—Na1 <sup>xxxii</sup>	180.0
O1 <sup>xxi</sup> —Na3—Al1 <sup>xvii</sup>	108.38 (9)	Na1 <sup>xxxiii</sup> —Cl1—Na1 <sup>xxxii</sup>	90.0

O1 <sup>xxii</sup> —Na3—Al1 <sup>xvii</sup>	33.91 (5)	Na1 <sup>xxi</sup> —Cl1—Na1 <sup>xxxii</sup>	90.0
O1 <sup>vi</sup> —Na3—Al1 <sup>xvii</sup>	130.71 (15)	Na3—Cl1—Na1	125.3
O2 <sup>xviii</sup> —Na3—Al1 <sup>xxiii</sup>	117.4 (4)	Na3 <sup>ii</sup> —Cl1—Na1	125.264 (1)
O2 <sup>xix</sup> —Na3—Al1 <sup>xxiii</sup>	34.68 (7)	Na3 <sup>v</sup> —Cl1—Na1	54.7
O2 <sup>xx</sup> —Na3—Al1 <sup>xxiii</sup>	69.06 (15)	Na3 <sup>vi</sup> —Cl1—Na1	54.7
Na1 <sup>vi</sup> —Na3—Al1 <sup>xxiii</sup>	74.45 (8)	Na1 <sup>vi</sup> —Cl1—Na1	180.0
Na1 <sup>xxi</sup> —Na3—Al1 <sup>xxiii</sup>	175.3 (4)	Na1 <sup>xxii</sup> —Cl1—Na1	90.0
Na1 <sup>xxii</sup> —Na3—Al1 <sup>xxiii</sup>	74.45 (8)	Na1 <sup>xxxiii</sup> —Cl1—Na1	90.0
Cl1—Na3—Al1 <sup>xxiii</sup>	115.54 (18)	Na1 <sup>xxi</sup> —Cl1—Na1	90.0
O1 <sup>xxi</sup> —Na3—Al1 <sup>xxiii</sup>	130.71 (14)	Na1 <sup>xxxii</sup> —Cl1—Na1	90.0
O1 <sup>xxii</sup> —Na3—Al1 <sup>xxiii</sup>	108.38 (10)	Na4 <sup>xiv</sup> —Cl2—Na4 <sup>xv</sup>	109.472 (1)
O1 <sup>vi</sup> —Na3—Al1 <sup>xxiii</sup>	33.91 (5)	Na4 <sup>xiv</sup> —Cl2—Na4 <sup>xiii</sup>	109.470 (1)
Al1 <sup>xvii</sup> —Na3—Al1 <sup>xxiii</sup>	102.8 (2)	Na4 <sup>xv</sup> —Cl2—Na4 <sup>xiii</sup>	109.472 (1)
O1 <sup>xxiv</sup> —Na4—O1 <sup>xxv</sup>	92.5 (3)	Na4 <sup>xiv</sup> —Cl2—Na4	109.5
O1 <sup>xxiv</sup> —Na4—O1 <sup>xxvi</sup>	92.5 (3)	Na4 <sup>xv</sup> —Cl2—Na4	109.470 (2)
O1 <sup>xxv</sup> —Na4—O1 <sup>xxvi</sup>	92.5 (3)	Na4 <sup>xiii</sup> —Cl2—Na4	109.472 (1)
O1 <sup>xxiv</sup> —Na4—Na2 <sup>xxxix</sup>	143.20 (16)	Na4 <sup>xiv</sup> —Cl2—Na2 <sup>xxxii</sup>	54.7
O1 <sup>xxv</sup> —Na4—Na2 <sup>xxxix</sup>	57.75 (12)	Na4 <sup>xv</sup> —Cl2—Na2 <sup>xxxii</sup>	54.7
O1 <sup>xxvi</sup> —Na4—Na2 <sup>xxxix</sup>	108.55 (10)	Na4 <sup>xiii</sup> —Cl2—Na2 <sup>xxxii</sup>	125.264 (2)
O1 <sup>xxiv</sup> —Na4—Na2 <sup>xiv</sup>	108.55 (10)	Na4—Cl2—Na2 <sup>xxxii</sup>	125.3
O1 <sup>xxv</sup> —Na4—Na2 <sup>xiv</sup>	143.20 (16)	Na4 <sup>xiv</sup> —Cl2—Na2 <sup>xxxix</sup>	125.3
O1 <sup>xxvi</sup> —Na4—Na2 <sup>xiv</sup>	57.75 (12)	Na4 <sup>xv</sup> —Cl2—Na2 <sup>xxxix</sup>	125.264 (1)
Na2 <sup>xxxix</sup> —Na4—Na2 <sup>xiv</sup>	108.2 (3)	Na4 <sup>xiii</sup> —Cl2—Na2 <sup>xxxix</sup>	54.736 (1)
O1 <sup>xxiv</sup> —Na4—Na2 <sup>xl</sup>	57.75 (12)	Na4—Cl2—Na2 <sup>xxxix</sup>	54.7
O1 <sup>xxv</sup> —Na4—Na2 <sup>xl</sup>	108.55 (10)	Na2 <sup>xxxii</sup> —Cl2—Na2 <sup>xxxix</sup>	180.0
O1 <sup>xxvi</sup> —Na4—Na2 <sup>xl</sup>	143.20 (16)	Na4 <sup>xiv</sup> —Cl2—Na2 <sup>xxxix</sup>	125.264 (1)
Na2 <sup>xxxix</sup> —Na4—Na2 <sup>xl</sup>	108.2 (3)	Na4 <sup>xv</sup> —Cl2—Na2 <sup>xxxix</sup>	54.736 (1)
Na2 <sup>xiv</sup> —Na4—Na2 <sup>xl</sup>	108.2 (3)	Na4 <sup>xiii</sup> —Cl2—Na2 <sup>xxxix</sup>	54.7
O1 <sup>xxiv</sup> —Na4—Cl2	123.5 (2)	Na4—Cl2—Na2 <sup>xxxix</sup>	125.264 (1)
O1 <sup>xxv</sup> —Na4—Cl2	123.5 (2)	Na2 <sup>xxxii</sup> —Cl2—Na2 <sup>xxxix</sup>	90.0
O1 <sup>xxvi</sup> —Na4—Cl2	123.5 (2)	Na2 <sup>xxxix</sup> —Cl2—Na2 <sup>xxxix</sup>	90.0
Na2 <sup>xxxix</sup> —Na4—Cl2	69.3 (3)	Na4 <sup>xiv</sup> —Cl2—Na2 <sup>xl</sup>	54.736 (1)
Na2 <sup>xiv</sup> —Na4—Cl2	69.3 (3)	Na4 <sup>xv</sup> —Cl2—Na2 <sup>xl</sup>	125.3
Na2 <sup>xl</sup> —Na4—Cl2	69.3 (3)	Na4 <sup>xiii</sup> —Cl2—Na2 <sup>xl</sup>	125.264 (1)
O1 <sup>xxiv</sup> —Na4—O2 <sup>xxvii</sup>	151.8 (4)	Na4—Cl2—Na2 <sup>xl</sup>	54.736 (1)
O1 <sup>xxv</sup> —Na4—O2 <sup>xxvii</sup>	75.89 (8)	Na2 <sup>xxxii</sup> —Cl2—Na2 <sup>xl</sup>	90.0
O1 <sup>xxvi</sup> —Na4—O2 <sup>xxvii</sup>	62.98 (6)	Na2 <sup>xxxix</sup> —Cl2—Na2 <sup>xl</sup>	90.0
Na2 <sup>xxxix</sup> —Na4—O2 <sup>xxvii</sup>	48.16 (5)	Na2 <sup>xxxiii</sup> —Cl2—Na2 <sup>xl</sup>	180.0
Na2 <sup>xiv</sup> —Na4—O2 <sup>xxvii</sup>	71.42 (7)	Na4 <sup>xiv</sup> —Cl2—Na2	54.735 (1)
Na2 <sup>xl</sup> —Na4—O2 <sup>xxvii</sup>	150.3 (4)	Na4 <sup>xv</sup> —Cl2—Na2	125.265 (1)
Cl2—Na4—O2 <sup>xxvii</sup>	83.7 (2)	Na4 <sup>xiii</sup> —Cl2—Na2	54.735 (1)
O1 <sup>xxiv</sup> —Na4—O2 <sup>xxviii</sup>	75.89 (8)	Na4—Cl2—Na2	125.3
O1 <sup>xxv</sup> —Na4—O2 <sup>xxviii</sup>	62.98 (6)	Na2 <sup>xxxii</sup> —Cl2—Na2	90.000 (2)
O1 <sup>xxvi</sup> —Na4—O2 <sup>xxviii</sup>	151.8 (4)	Na2 <sup>xxxix</sup> —Cl2—Na2	90.0
Na2 <sup>xxxix</sup> —Na4—O2 <sup>xxviii</sup>	71.42 (7)	Na2 <sup>xxxiii</sup> —Cl2—Na2	90.000 (1)
Na2 <sup>xiv</sup> —Na4—O2 <sup>xxviii</sup>	150.3 (4)	Na2 <sup>xl</sup> —Cl2—Na2	90.0
Na2 <sup>xl</sup> —Na4—O2 <sup>xxviii</sup>	48.16 (5)	Na4 <sup>xiv</sup> —Cl2—Na2 <sup>xiv</sup>	125.3
Cl2—Na4—O2 <sup>xxviii</sup>	83.7 (2)	Na4 <sup>xv</sup> —Cl2—Na2 <sup>xiv</sup>	54.735 (1)

O2 <sup>xxvii</sup> —Na4—O2 <sup>xxviii</sup>	118.80 (8)	Na4 <sup>xiii</sup> —Cl2—Na2 <sup>xiv</sup>	125.265 (1)
O1 <sup>xxiv</sup> —Na4—O2 <sup>xxix</sup>	62.98 (6)	Na4—Cl2—Na2 <sup>xiv</sup>	54.735 (1)
O1 <sup>xxv</sup> —Na4—O2 <sup>xxix</sup>	151.8 (4)	Na2 <sup>xxxii</sup> —Cl2—Na2 <sup>xiv</sup>	90.0
O1 <sup>xxvi</sup> —Na4—O2 <sup>xxix</sup>	75.89 (8)	Na2 <sup>xxxix</sup> —Cl2—Na2 <sup>xiv</sup>	90.000 (2)
Na2 <sup>xxxix</sup> —Na4—O2 <sup>xxix</sup>	150.3 (4)	Na2 <sup>xxxiii</sup> —Cl2—Na2 <sup>xiv</sup>	90.0
Na2 <sup>xiv</sup> —Na4—O2 <sup>xxix</sup>	48.16 (5)	Na2 <sup>xl</sup> —Cl2—Na2 <sup>xiv</sup>	90.000 (1)
Na2 <sup>xl</sup> —Na4—O2 <sup>xxix</sup>	71.42 (7)	Na2—Cl2—Na2 <sup>xiv</sup>	180.0

Symmetry codes: (i)  $-x+1/2, -y+1, z-1/2$ ; (ii)  $x, -y+1/2, -z+1/2$ ; (iii)  $-x, -y+1/2, z-1/2$ ; (iv)  $-x, y, -z+1$ ; (v)  $-x+1/2, y, -z+1/2$ ; (vi)  $-x+1/2, -y+1/2, z$ ; (vii)  $x-1, -y+1, -z+1$ ; (viii)  $x-1, y-1/2, z-1/2$ ; (ix)  $x+1/2, -y+1, -z+3/2$ ; (x)  $x+1/2, y+1/2, z$ ; (xi)  $-x+1/2, y+1/2, -z+1$ ; (xii)  $-x+1/2, -y+1, z+1/2$ ; (xiii)  $-x+3/2, y, -z+3/2$ ; (xiv)  $-x+3/2, -y+3/2, z$ ; (xv)  $x, -y+3/2, -z+3/2$ ; (xvi)  $x, -y+1, -z+1$ ; (xvii)  $x, y+1/2, z+1/2$ ; (xviii)  $-y+1/2, -z+1, x+1/2$ ; (xix)  $-z+1, x+1/2, -y+1/2$ ; (xx)  $x+1/2, -y+1/2, -z+1$ ; (xxi)  $-y+1/2, z, -x+1/2$ ; (xxii)  $z, -x+1/2, -y+1/2$ ; (xxiii)  $y+1/2, z+1/2, x$ ; (xxiv)  $-y+1, -z+1, x+1$ ; (xxv)  $-z+1, x+1, -y+1$ ; (xxvi)  $x+1, -y+1, -z+1$ ; (xxvii)  $-z+3/2, -x+1, y+1/2$ ; (xxviii)  $y+1/2, -z+3/2, -x+1$ ; (xxix)  $-x+1, y+1/2, -z+3/2$ ; (xxx)  $-y+1, z+1, -x+1$ ; (xxxi)  $z+1, -x+1, -y+1$ ; (xxxii)  $z, x, y$ ; (xxxiii)  $y, z, x$ ; (xxxiv)  $y+1/2, z, x+1/2$ ; (xxxv)  $z, x+1/2, y+1/2$ ; (xxxvi)  $-y+1/2, z-1/2, -x$ ; (xxxvii)  $-y+1/2, -z+1/2, x$ ; (xxxviii)  $z, -x, -y$ ; (xxxix)  $z, -x+3/2, -y+3/2$ ; (xl)  $-y+3/2, z, -x+3/2$ ; (xli)  $-x+1, y-1, -z+1$ ; (xlii)  $-x+1, -y+1, z-1$ ; (xliii)  $x, y-1/2, z-1/2$ ; (xliv)  $z-1/2, x-1/2, y-1$ ; (xlv)  $-y+1, z-1/2, -x+1/2$ ; (xlvi)  $y-1/2, z-1, x-1/2$ ; (xlvii)  $z-1/2, -x+1/2, -y+1$ ; (xlviii)  $x-1/2, y-1/2, z$ ; (xlix)  $-x, -y+1/2, z+1/2$ ; (l)  $x-1/2, -y+1/2, -z+1$ ; (li)  $-x+1, y-1/2, -z+3/2$ .